

Ocean a klimat:

wczoraj, dziś i jutro

Wykład 8:

Gazy o znaczeniu klimatycznym
(cykl węgla, CO_2 , metan, DMS)

Jacek Piskozub

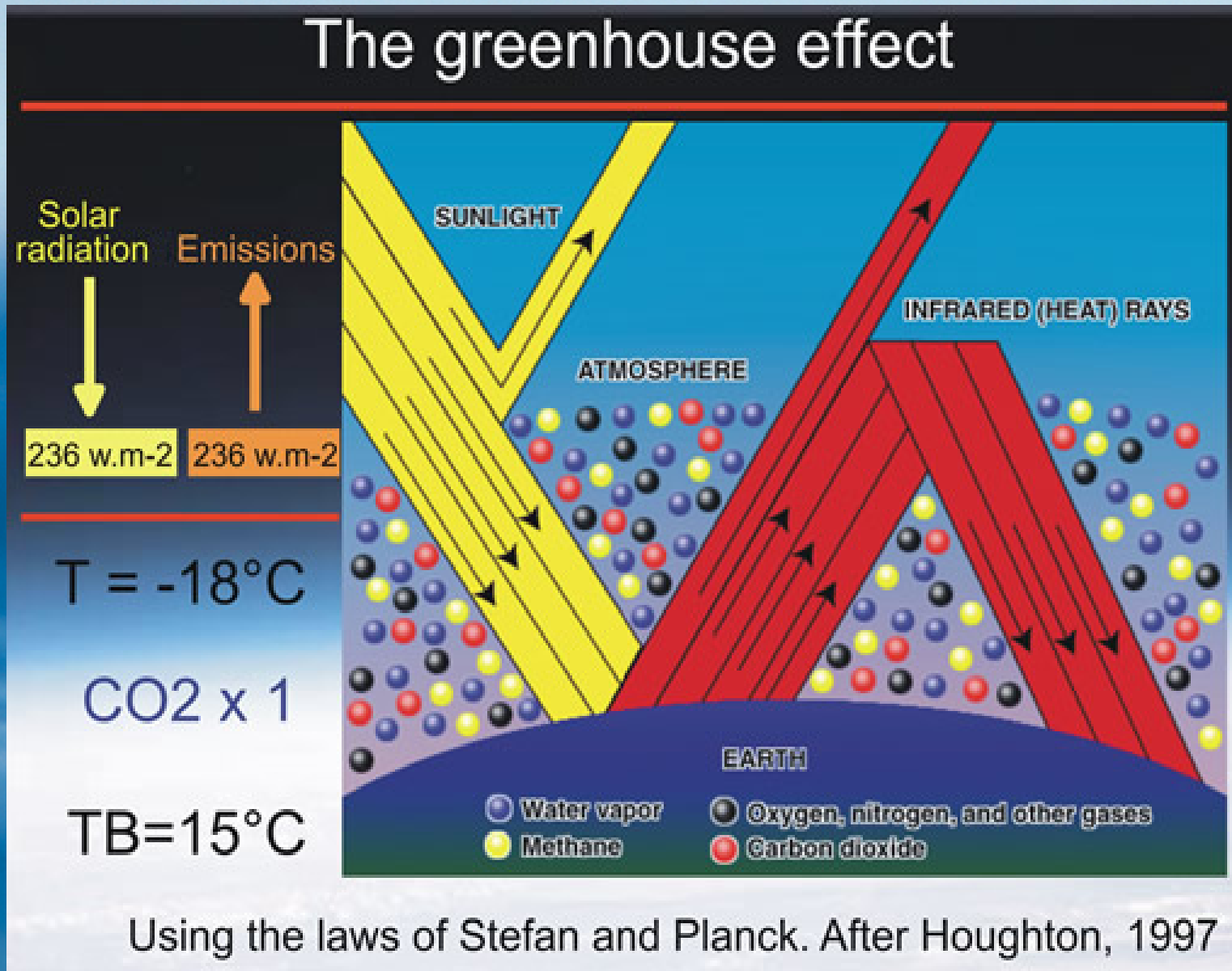
Studium Doktoranckie IOPAN, semestr zimowy 2010/11 r.

<http://www.iopan.gda.pl/~piskozub/klimat/>

Jacek Piskożub “Klimat a ocean: wczoraj, dziś i jutro”, kurs wykładów dla doktorantów 11.10.2010-24.01.2011

- ✓ Maszyna klimatyczna Ziemia (*zmienność w skali geologicznej*)
- ✓ Epoka lodowa w której żyjemy (*zmienność w skali astronomicznej*)
- ✓ Gwałtowne zmiany klimatu (*deglacjacja, zmienność “suborbitalna”*)
- ✓ Holocen: klimat, ocean a cywilizacja, (*stała słoneczna i wulkanizm*)
- ✓ Północny Atlantyk – kuźnia klimatu (*cyrkulacja termohalinowa*)
- ✓ Zmienność klimatu w skali dekadalnej (AMO, NAO, PDO)
- ✓ Tropiki a zmienność klimatu (*ENSO, huragany, monsuny*)
- ✓ Aerosol: wielka niewiadoma klimatyczna
- ✓ **Gazy o znaczeniu klimatycznym (cykl węgla, CO₂, metan, DMS)**
- ✓ Globalne ocieplenie a ocean (*zmienność antropogeniczna*)
- ✓ Zmiany klimatyczne w rejonach polarnych

Jak działają gazy cieplarniane?



Proste użycie podstawowych praw fizyki i geometrii pozwala wyliczyć, że Ziemia byłaby 33 stopnie zimniejsza gdyby nie „gazy cieplarniane” H_2O , CO_2 , CH_4 .

Radiative Balance:

$$**S (1 - \alpha) = 4 f \sigma T^4**$$

S = received Solar radiation (UV)

α = planetary albedo (the fraction of **S** that is reflected)

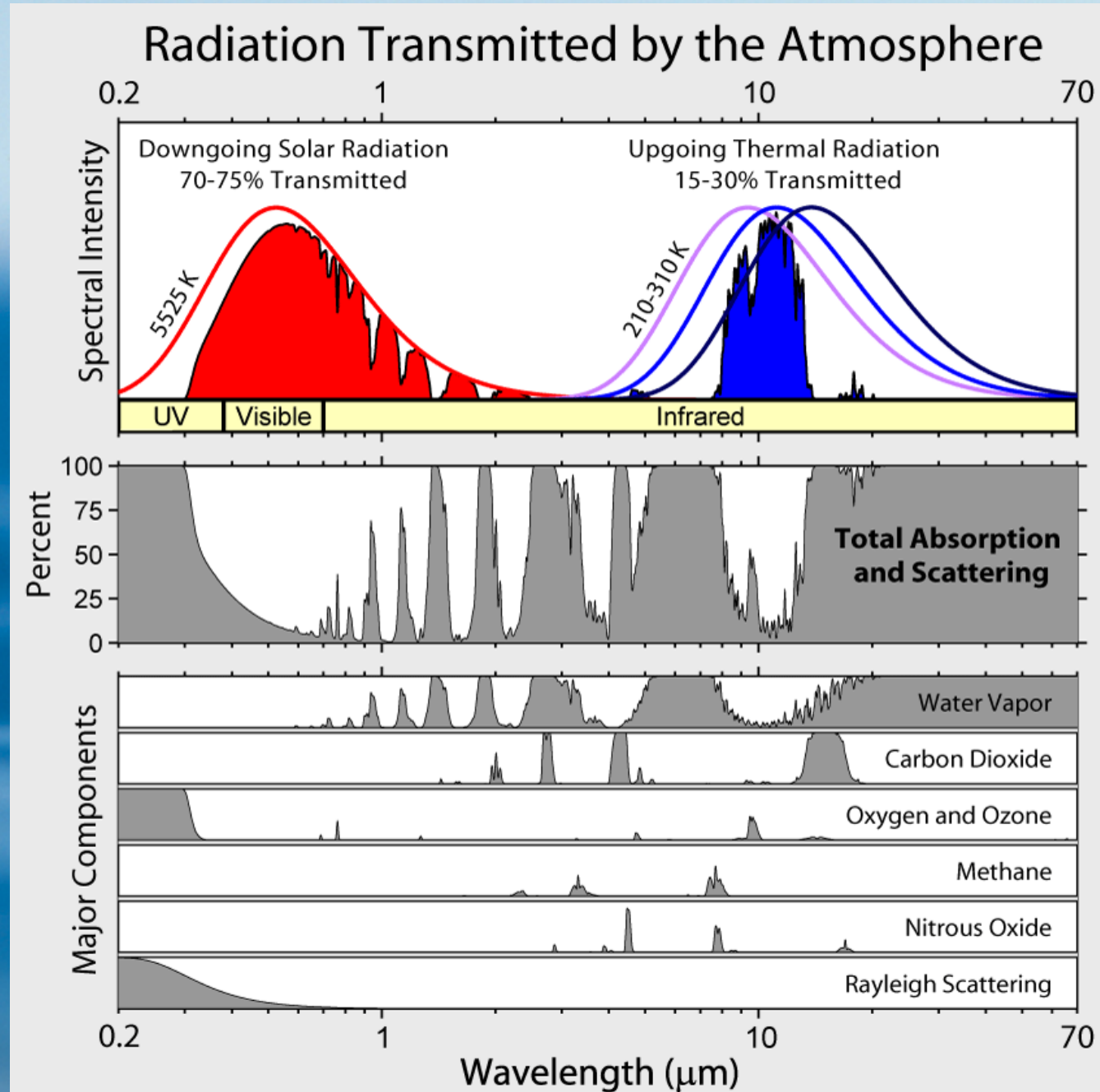
f = 'greenhouse' IR transmission factor

σ = Stefan-Boltzman constant
(5.67×10^{-8} watts / (m²K⁴))

T = radiating temperature

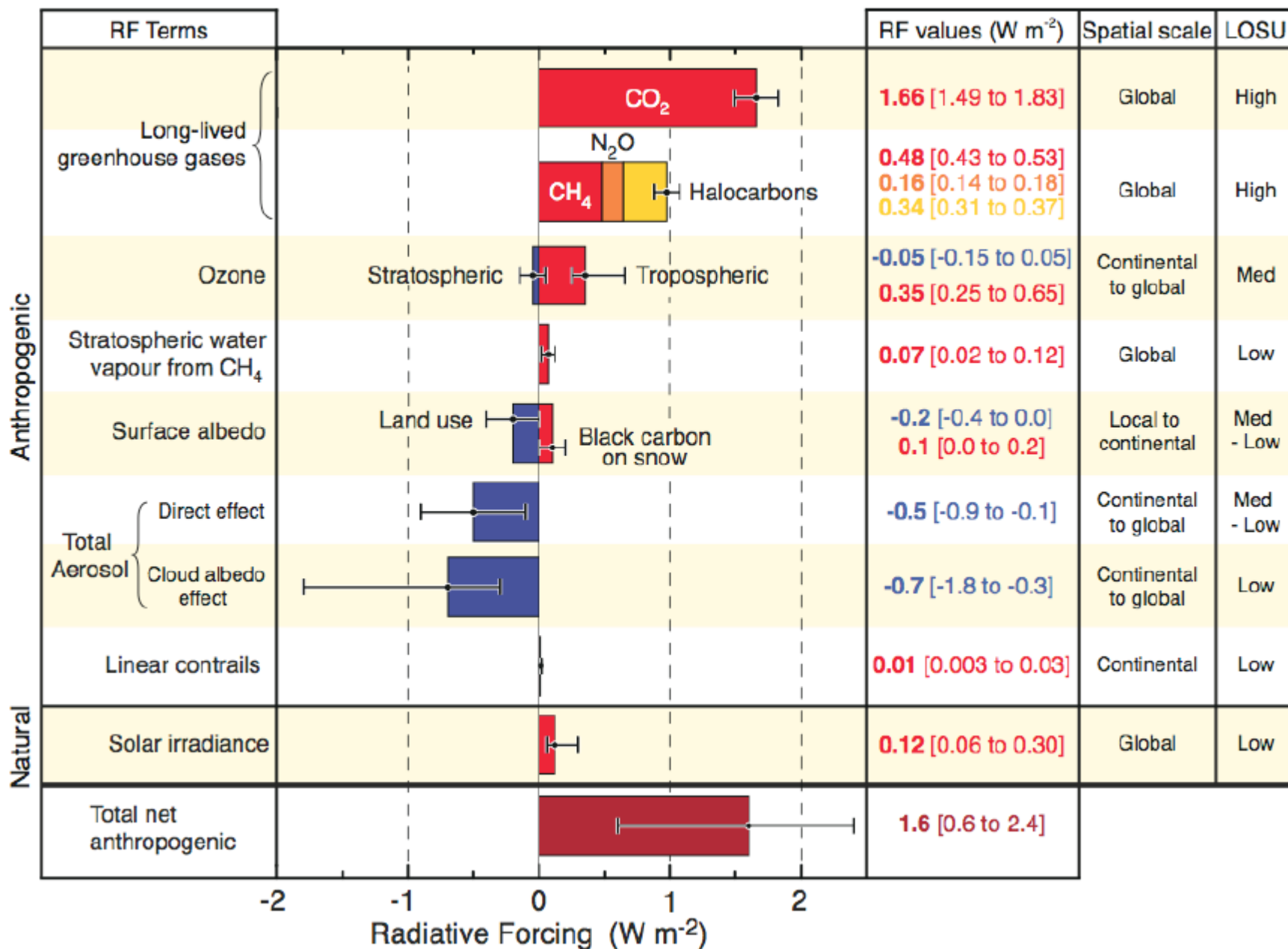
Efekt cieplarniany: co absorbuje w podczerwieni?

Gazy cieplarniane absorbują promieniowanie podczerwone, utrudniając jego ucieczkę w przestrzeń kosmiczną. Ze względu na różne długości fali ich pasm absorpcyjnych są one w stanie łącznie absorbować w prawie całym zakresie podczerwonym. Zakres widzialny jest jednym z nielicznych pasm promieniowania elektromagnetycznego dla którego atmosfera ziemska jest przezroczysta.



Raport IPCC: stan wiedzy na rok 2007

Radiative Forcing Components



©IPCC 2007: WG1-AR4

Co oznaczają: wymuszenie radiacyjne, sprzężenia zwrotne i czułość klimatu?

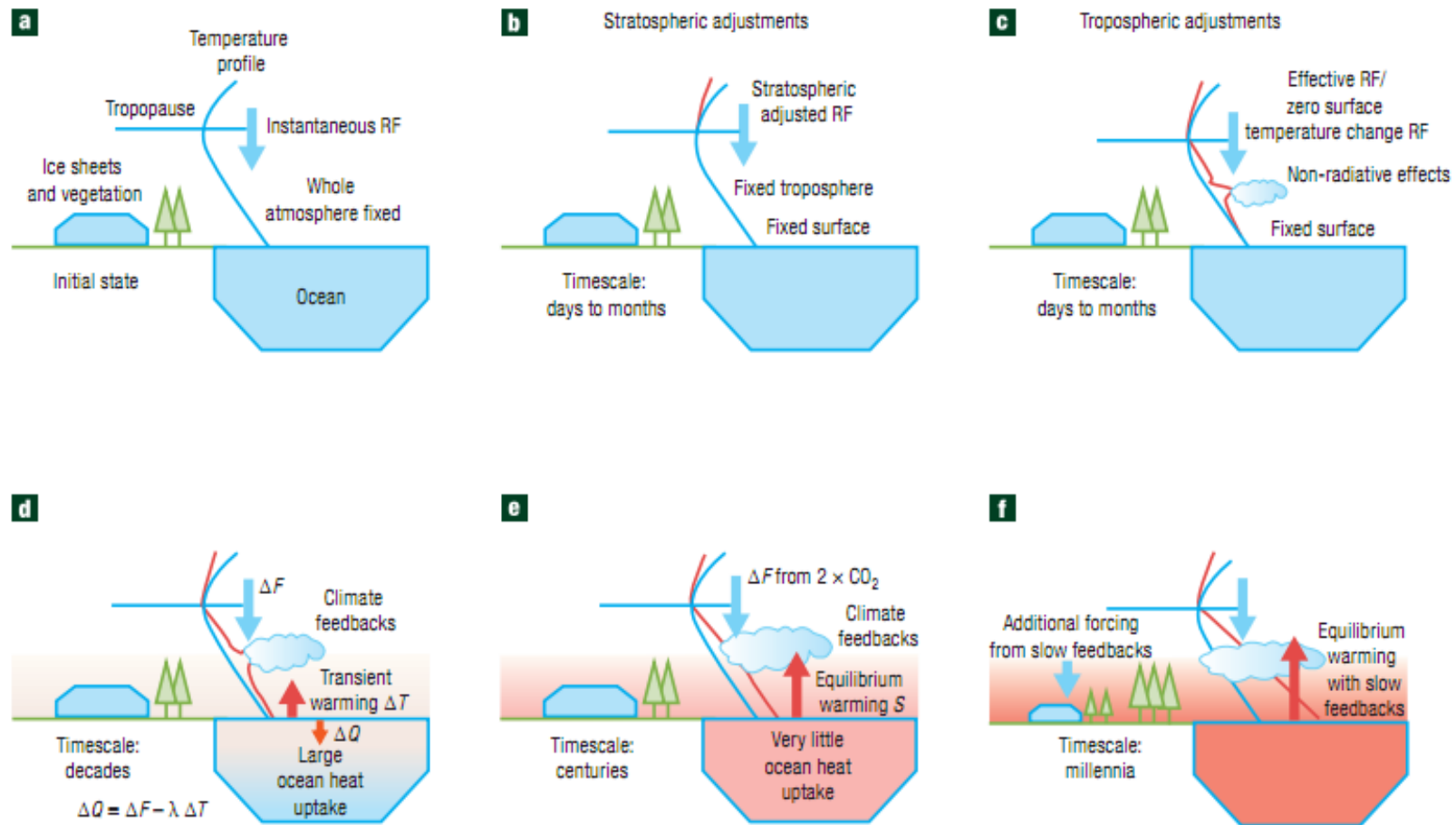


Figure 1 The concept of radiative forcing, feedbacks and climate sensitivity. **a**, A change in a radiatively active agent causes an instantaneous radiative forcing (RF). **b**, The standard definition of RF includes the relatively fast stratospheric adjustments, with the troposphere kept fixed. **c**, Non-radiative effects in the troposphere (for example of CO_2 heating rates on clouds and aerosol semi-direct and indirect effects) occurring on similar timescales can be considered as fast feedbacks or as a forcing. **d–f**, During the transient climate change phase (**d**), the forcing is balanced by ocean heat uptake and increased long-wave radiation emitted from a warmer surface, with feedbacks determining the temperature response until equilibrium is reached with a constant forcing (**e**, **f**). The equilibrium depends on whether additional slow feedbacks (for example ice sheets or vegetation) with their own intrinsic timescale are kept fixed (**e**) or are allowed to change (**f**).

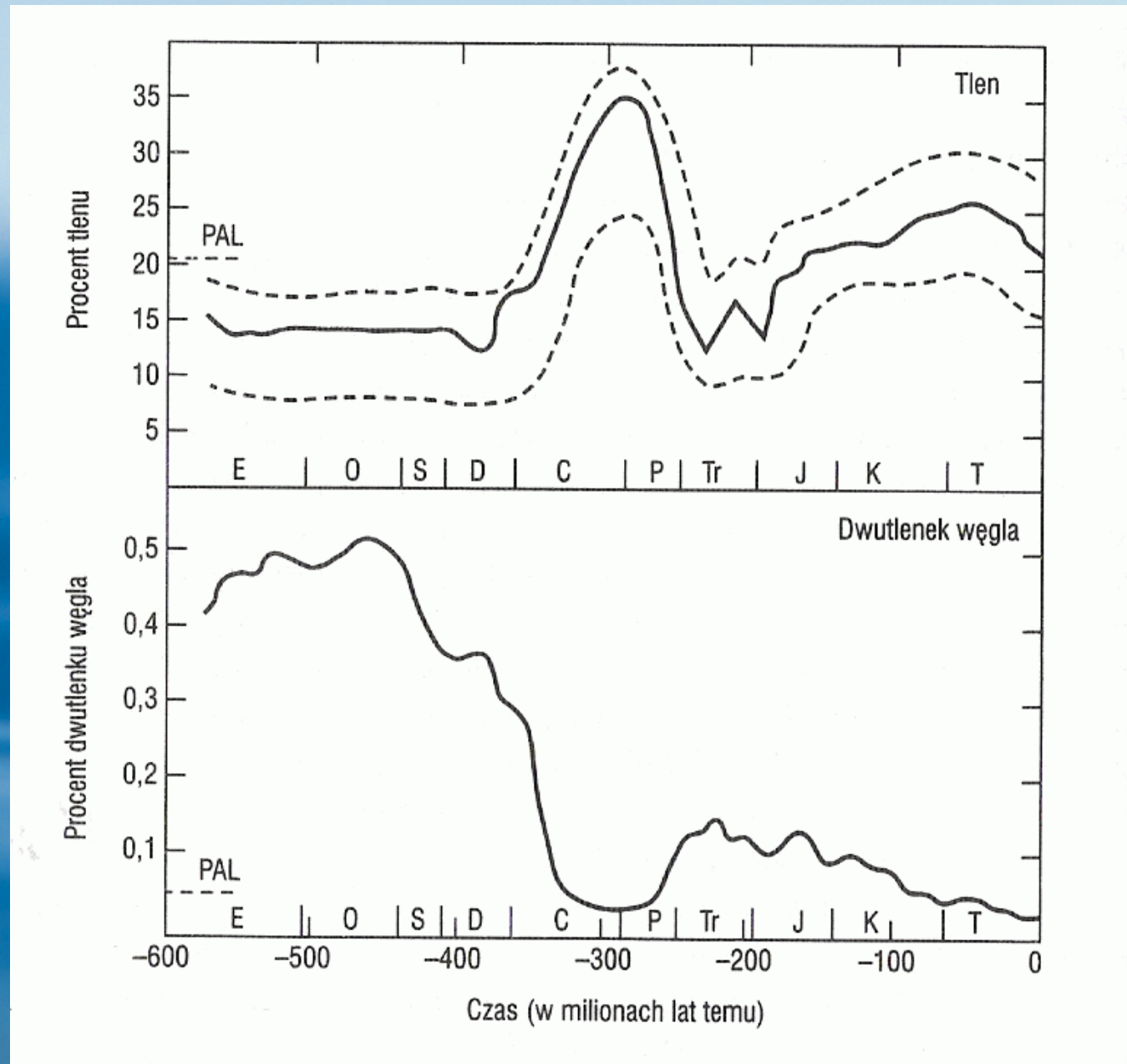
O₂ i CO₂ : szersze spojrzenie

Metoda:

Model z zastosowaniem względnej koncentracji C¹³ w osadach, oraz danych o cyklu węgla (wulkanizm, subdukcja, metabolizm, erozja itd.)

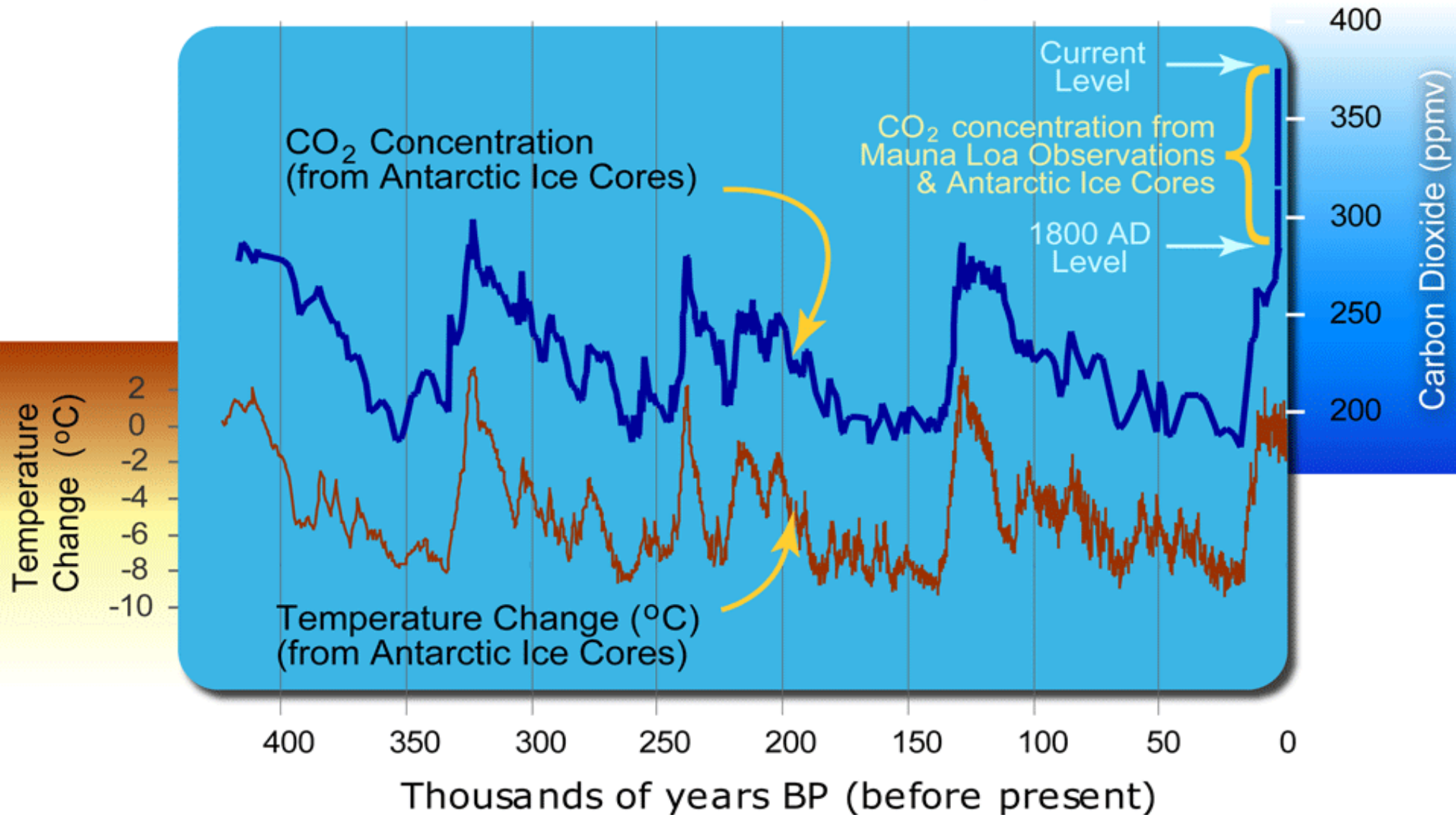
Wnioski:

Koncentracja CO₂ spada stopniowo w skali geologicznej – jednak z dużymi oscylacjami!



Zmiany koncentracji O₂ i CO₂ w fanerozoiku (N. Lane "Tlen" 2005 za Berner & Canfield 1989 oraz Berner 1994)

400 Thousand Years of Atmospheric Carbon Dioxide Concentration and Temperature Change

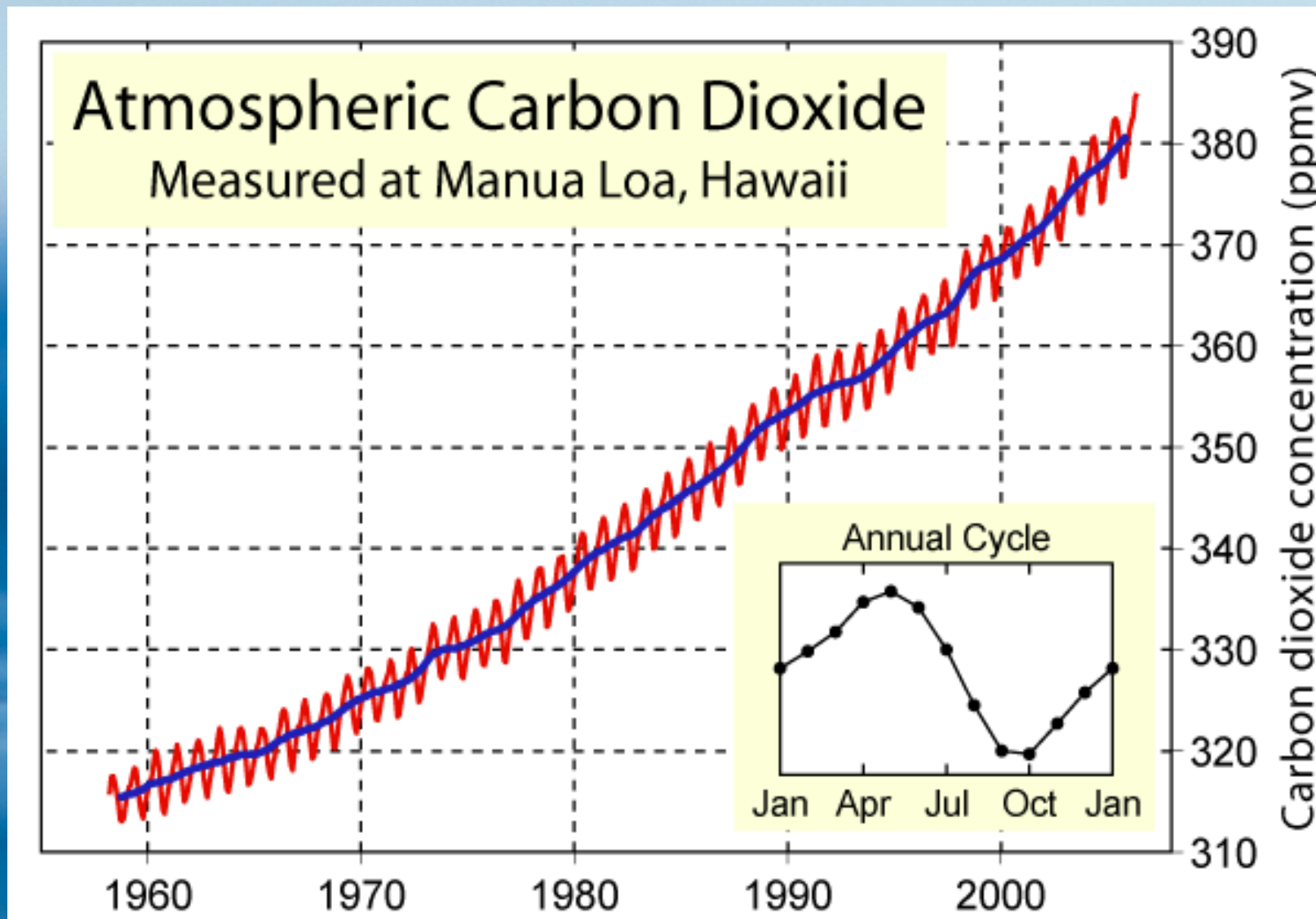


Data Source CO₂: <ftp://cdiac.ornl.gov/pub/trends/co2/vostok.icecore.co2>
Data Source Temp: <http://cdiac.esd.ornl.gov/ftp/trends/temp/vostok/vostok.1999.temp.dat>

Graphic: Michael Ernst, The Woods Hole Research Center



Wzrost CO₂ : wynik naszych starań

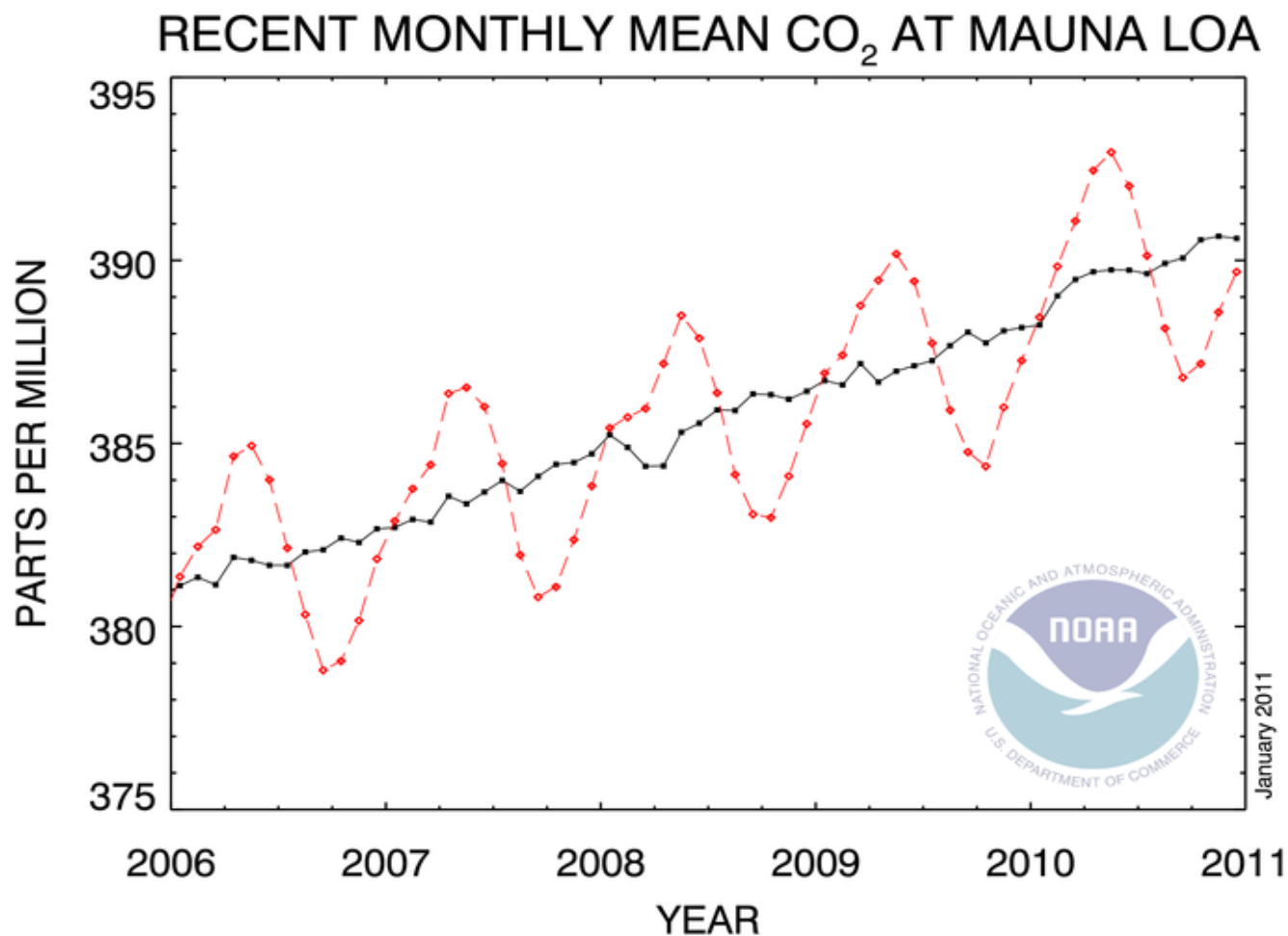


Koncentracja CO₂ mierzona na Mauna Loa (Hawaje) 1958-2006

(Keeling & Whorf, <http://cdiac.esd.ornl.gov/trends/co2/sio-mlo.htm>)

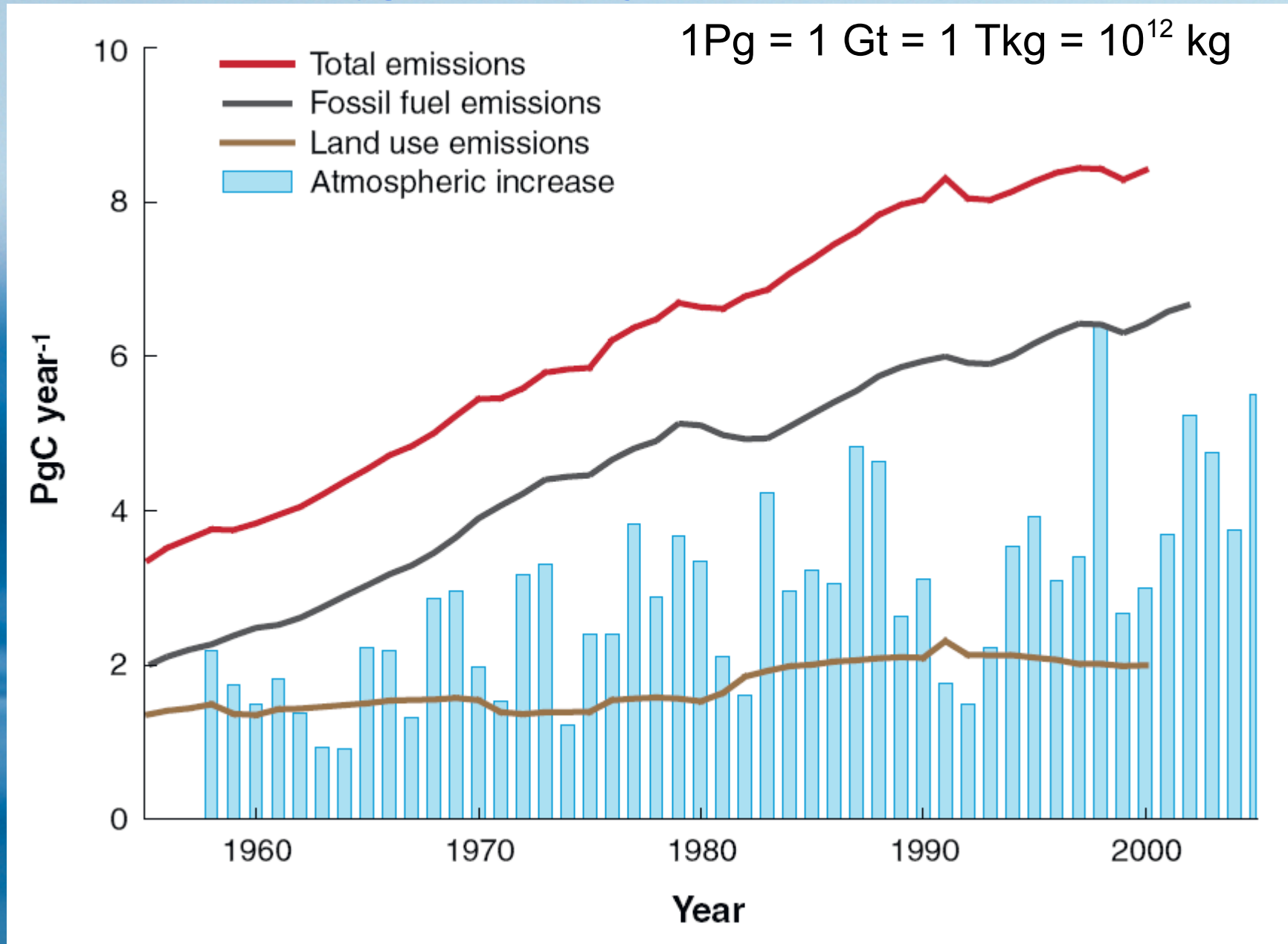
Charles D. Keeling 1928-2005

Ostatnie pięć lat zmian koncentracji CO₂



Trend rosnący koncentracji CO₂ nie ulega zmianie. Od początku pomiarów na Mauna Loa (1958) w każdym roku jest więcej dwutlenku węgla. Ostatnio przybywa ponad 2 ppm na rok.

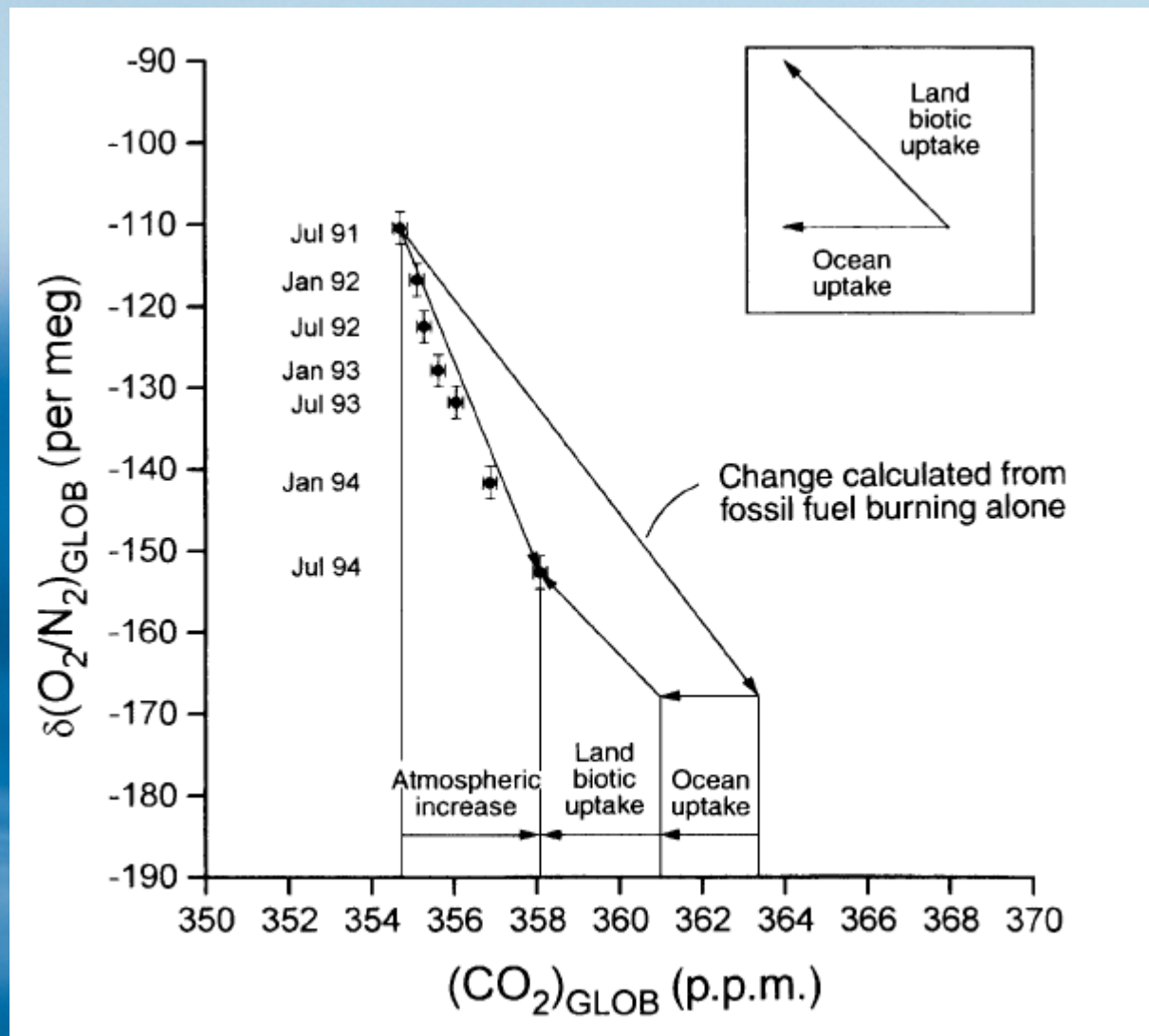
Ile węgla zostaje w atmosferze?



Produkujemy rocznie ok. 6 PgC spalając paliwa kopalne i być może 2 PgC wycinając lasy. Gdzie to się podziewa (nie wszystko w atmosferze).

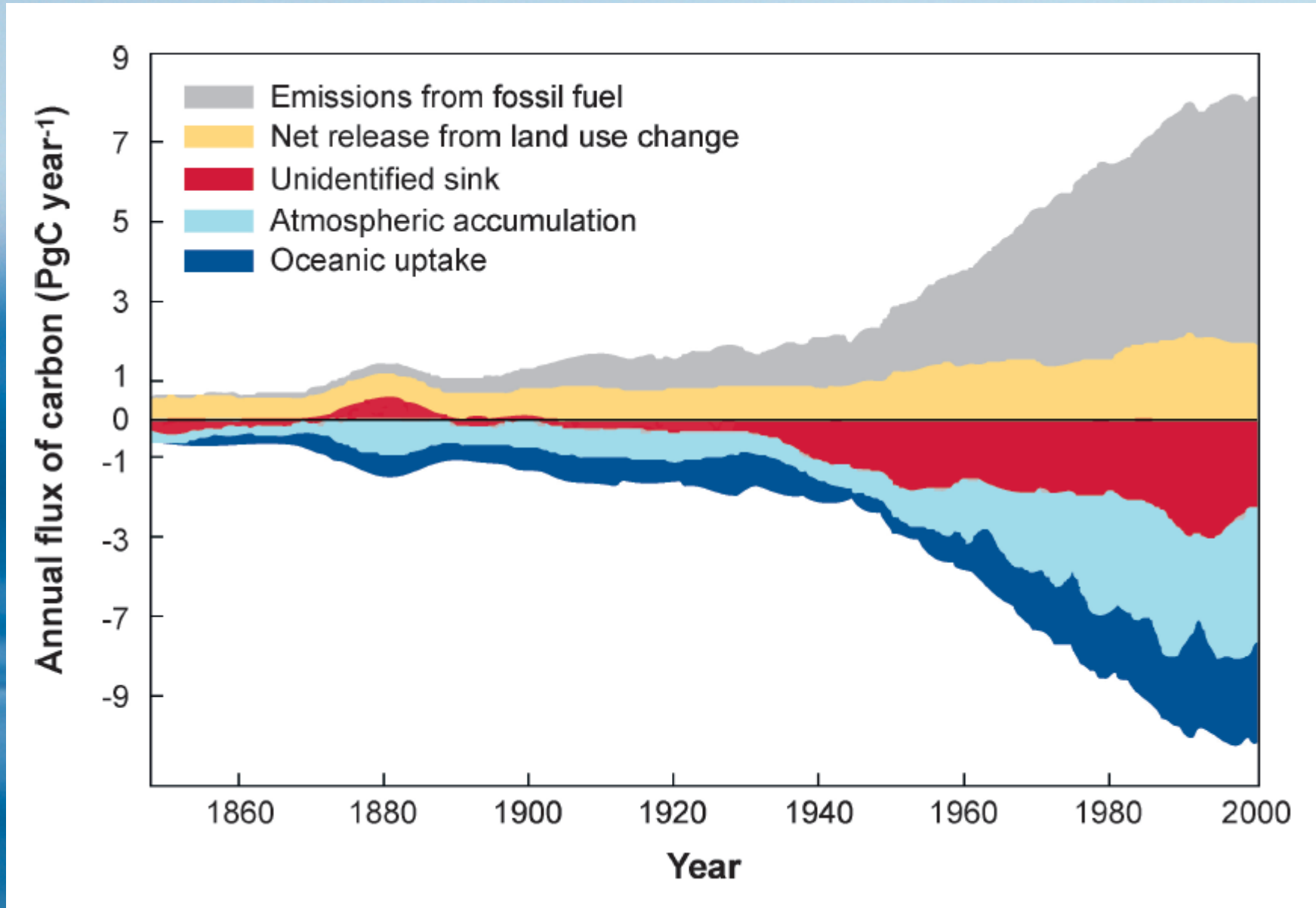
Houghton 2007 (Annu. Rev. Earth Planet.)

Jak odróżnić pochłanianie CO₂ przez ocean i ląd?



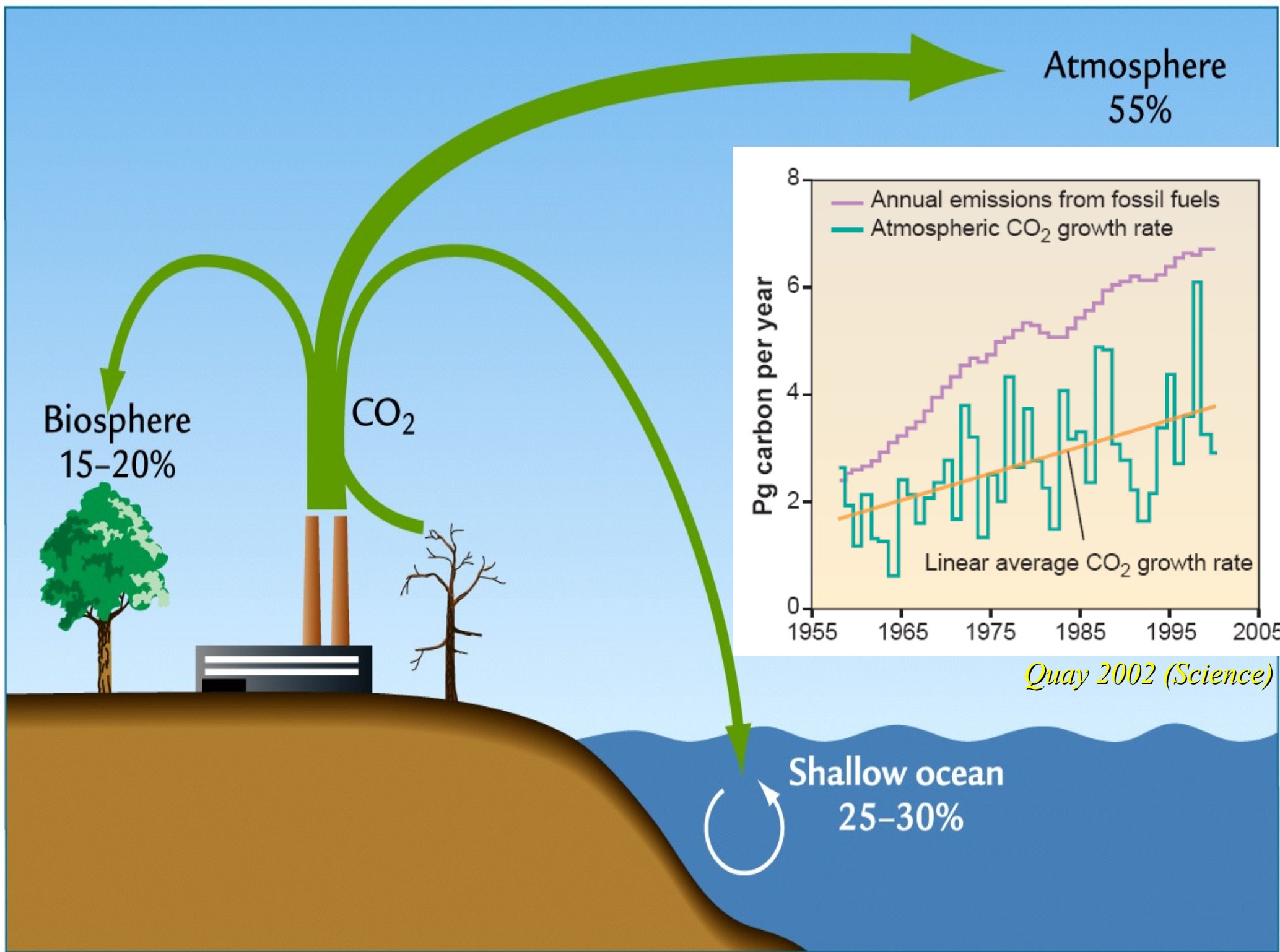
Zmiany atmosferycznego stosunku O₂/N₂ pozwalają rozróżnić co dzieje się z “brakującym” w atmosferze CO₂. Zakłada się, że biosfera lądowa oddaje 1.1 mola O₂ na mol pochłoniętego CO₂, natomiast ocean nie oddaje tlenu.

Gdzie się podziewa ten węgiel?

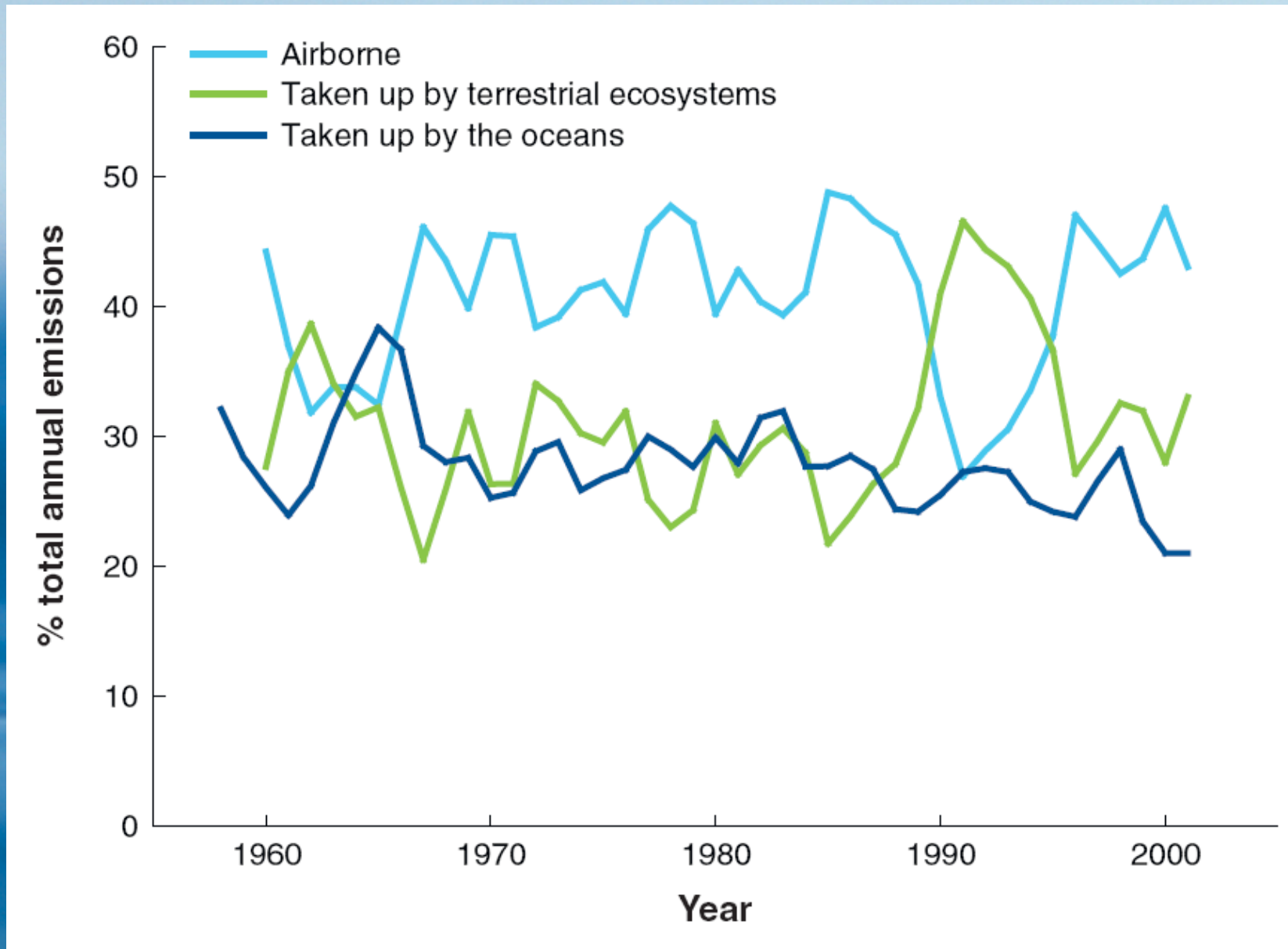


Tylko część wyprodukowanego przez nas CO₂ pozostaje w atmosferze. Reszta przepływa do oceanu lub pochłaniana jest przez rośliny lądowe (tu: “Unidentified sink”).

Houghton 2007 (Annu. Rev. Earth Planet.)



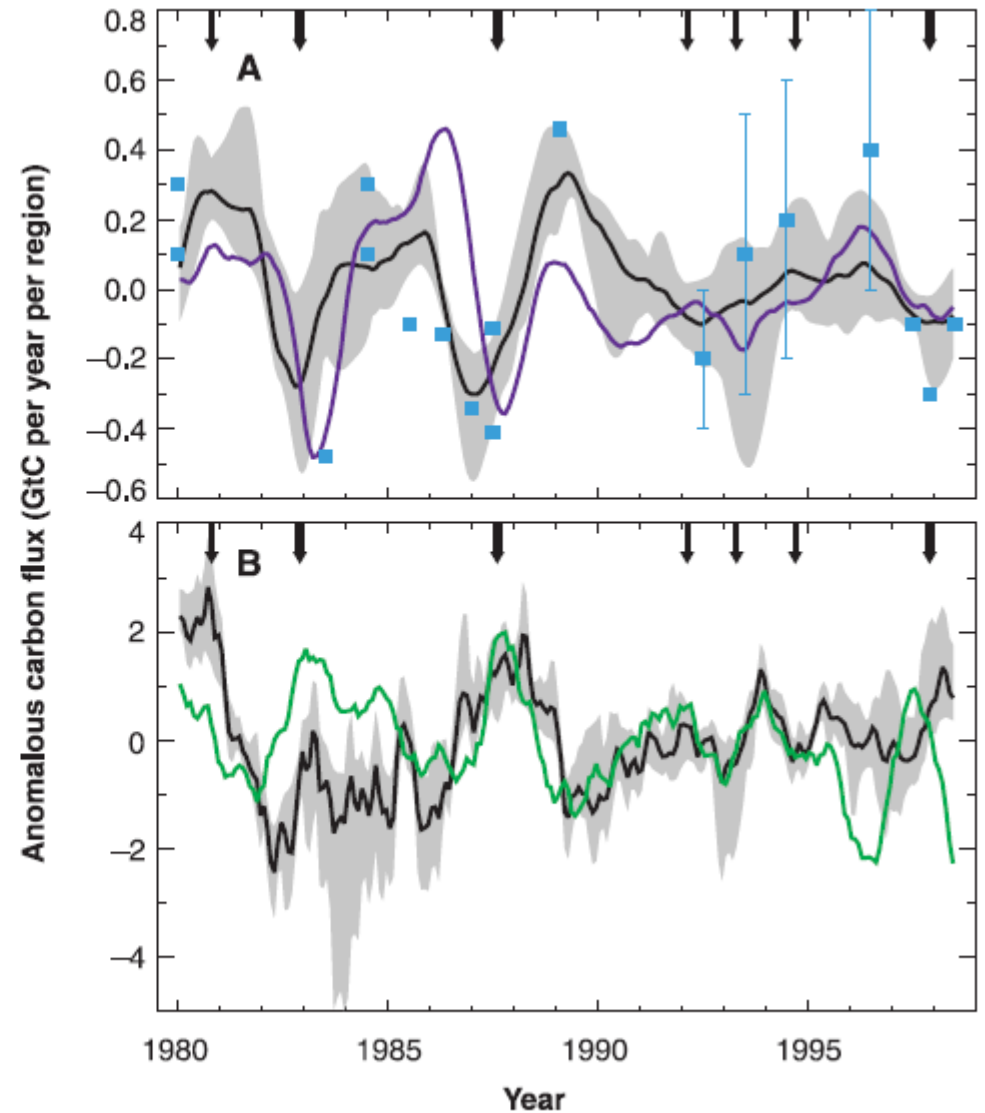
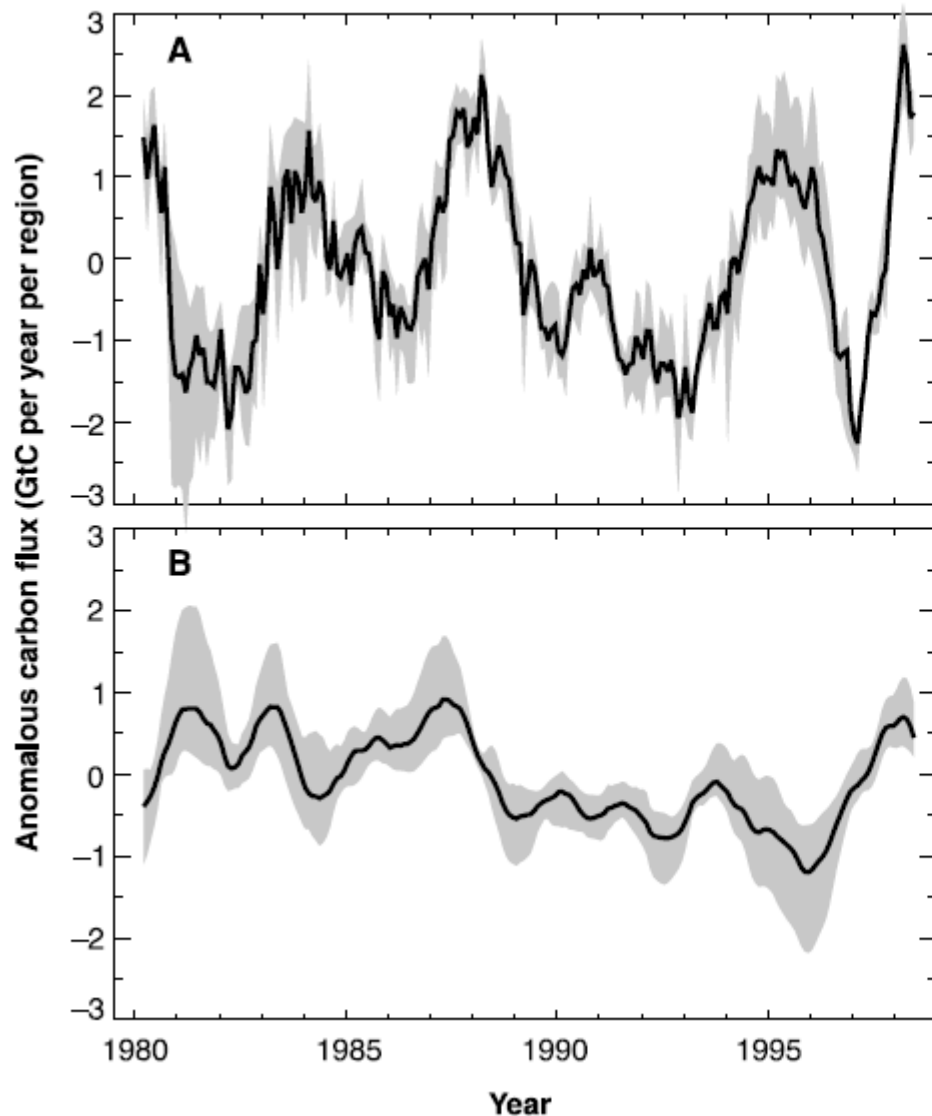
Ile do oceanu a ile pochłania życie na lądzie?



Ocean pochłania ok 30% produkowanego CO₂, ląd podobnie (maksimum ok 1990 może być związana z wybuchem wulkanu Pinatubo). Pozostałe 60% pozostaje w atmosferze.

Houghton 2007 (Annu. Rev. Earth Planet.)

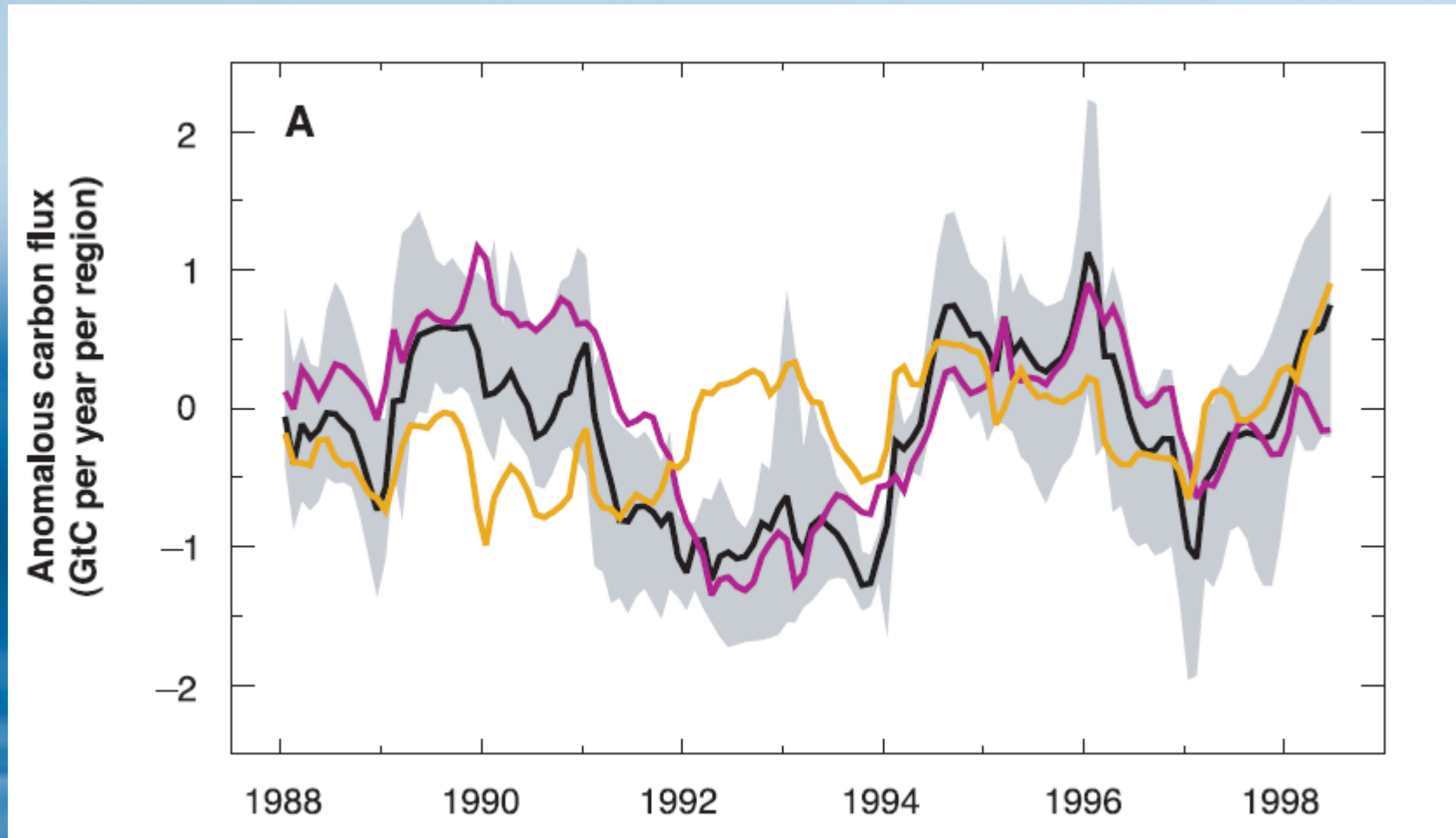
Ile do oceanu a ile pochłania życie na lądzie?



Po lewej: zmienność strumienia CO₂ na lądzie (A) jest większa niż dla oceanu (B). Po prawej: bilans tropikalnego Pacyfiku (A) i tropików lądowych (B). Strzałkami zaznaczone zdarzenia El Niño (grubymi silne).

Bousquet et al. 2000 (Science)

Gdzie na lądzie?

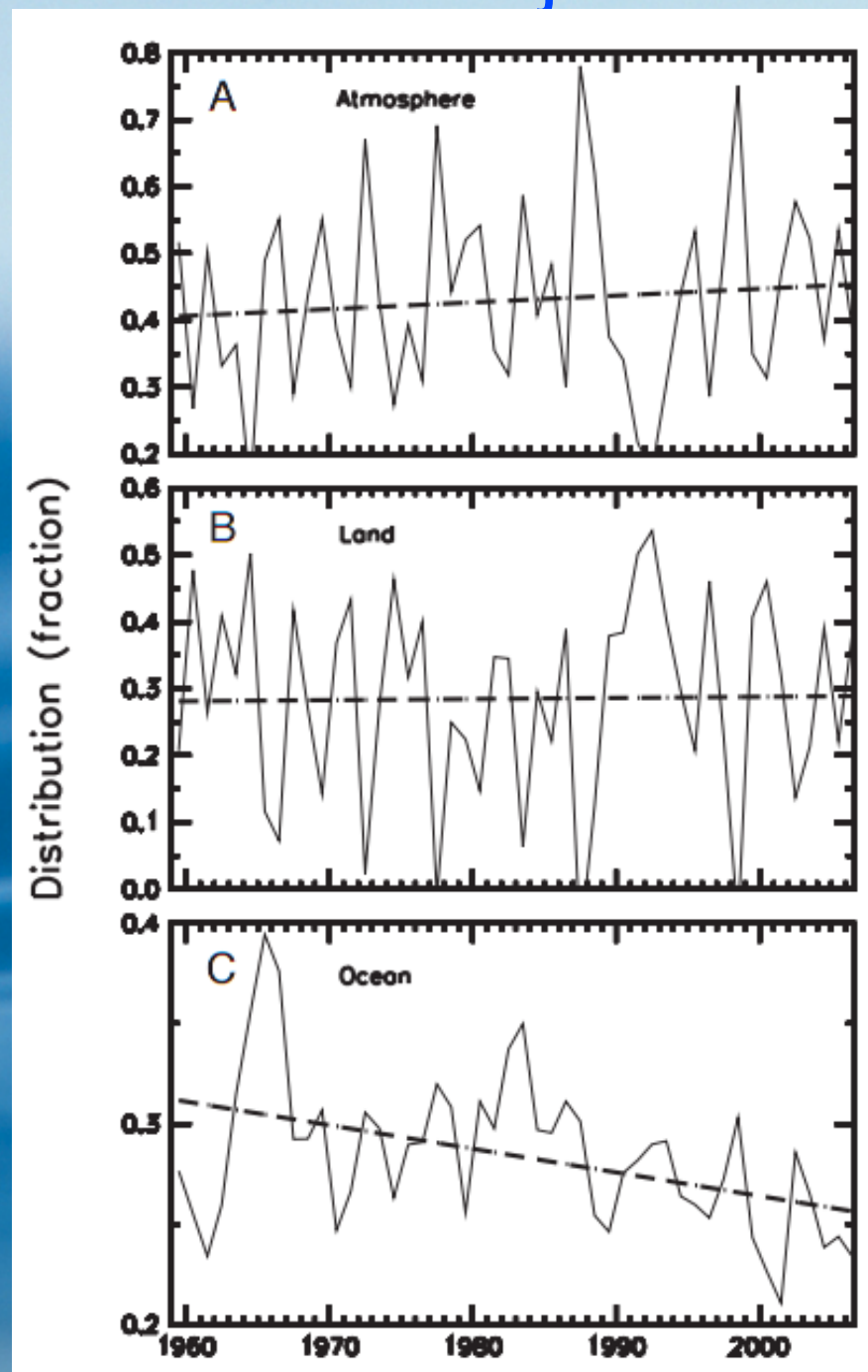


Anomalie strumienia CO₂ na podstawie gradientów poziomych koncentracji dla półkuli północnej, Ameryki Pn. oraz Eurazji (kierunek w pionie zgodny z kierunkiem strumienia).

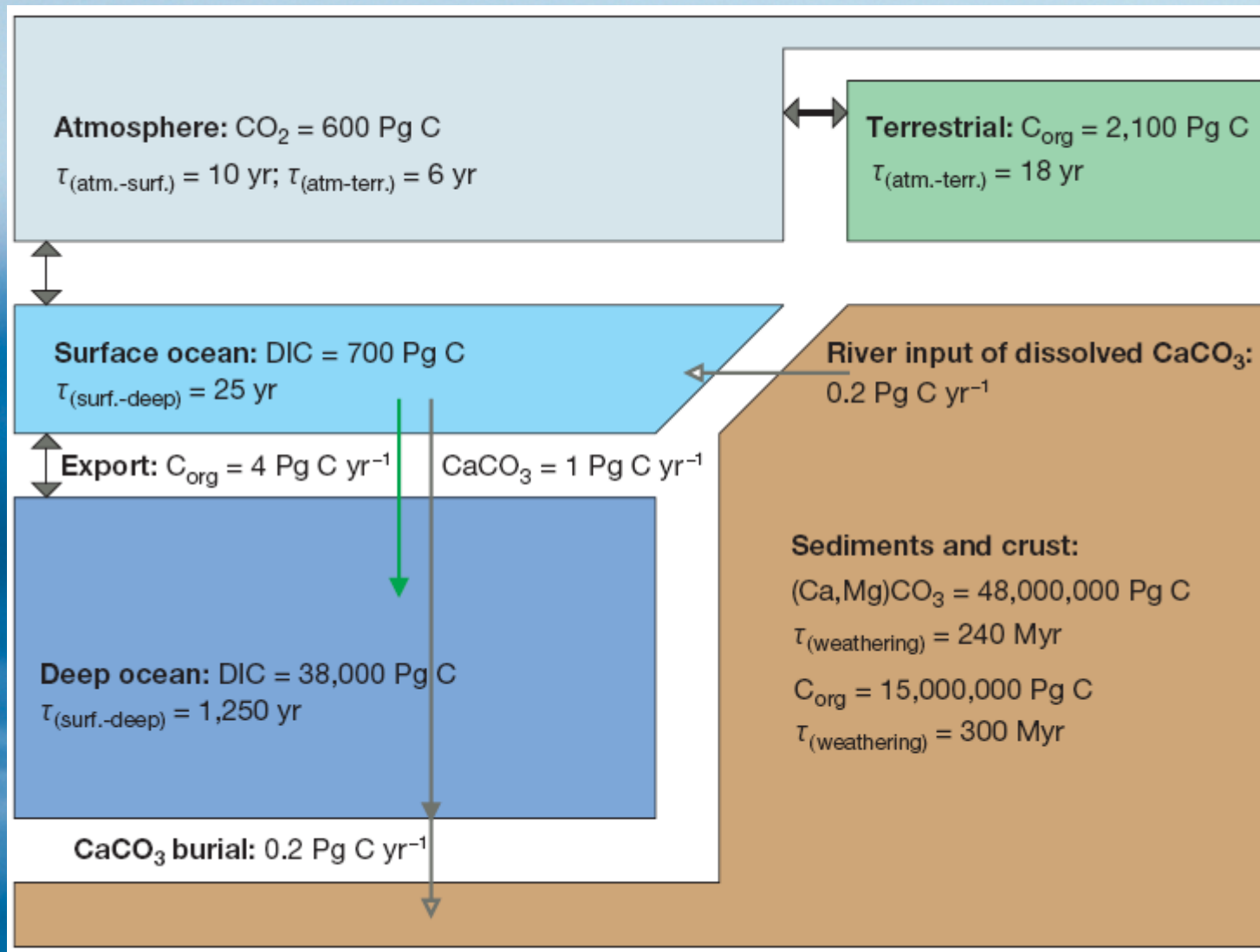
Czy ocean zaczyna absorbować coraz mniej C?

Czy ocean przestaje nadarzać z pochłanianiem “swojej części” produkowanego przez nas CO₂?

Na razie tak wygląda, ale czy można wyciągać pewne wnioski z tak krótkiej serii czasowej?

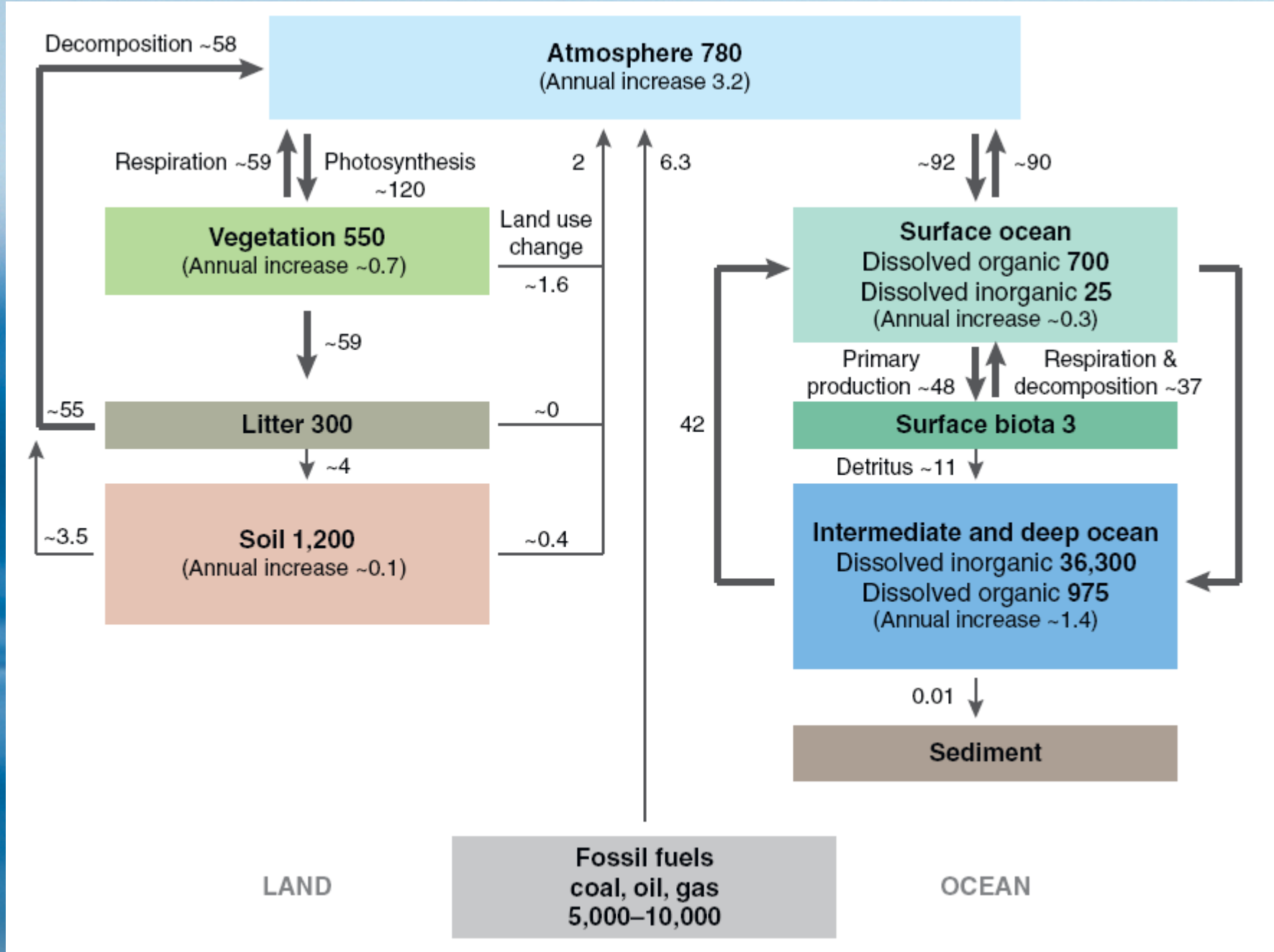


Cykl węgla

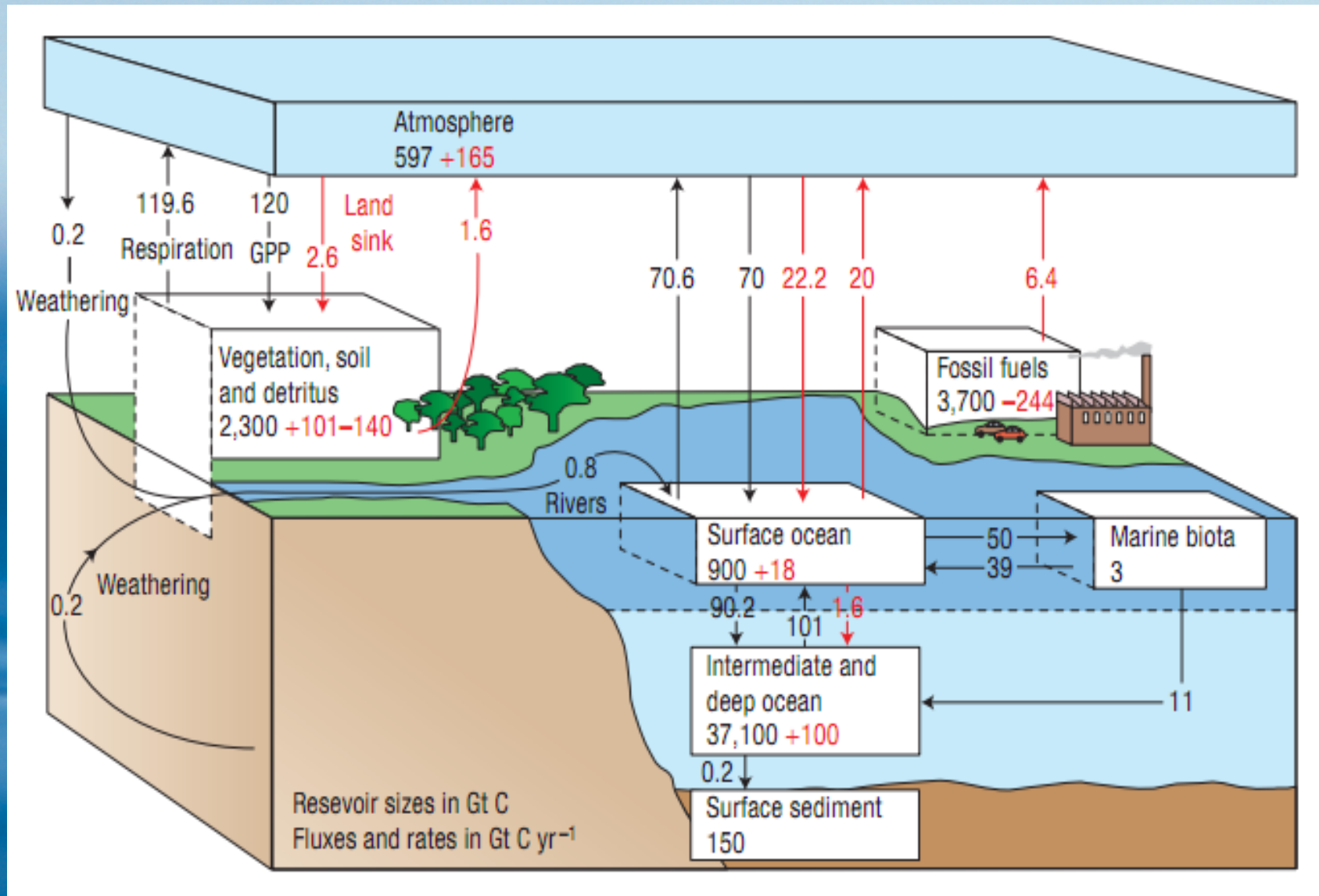


Głęboki ocean jest głównym rezerwuarem węgla organicznego (jeśli nie liczyć skorupy ziemskiej). Dlatego ocean kontroluje koncentrację atmosferyczną CO_2 w skali setek i tysięcy lat (w dłuższej skali dominuje geologia).

Cykl węgla

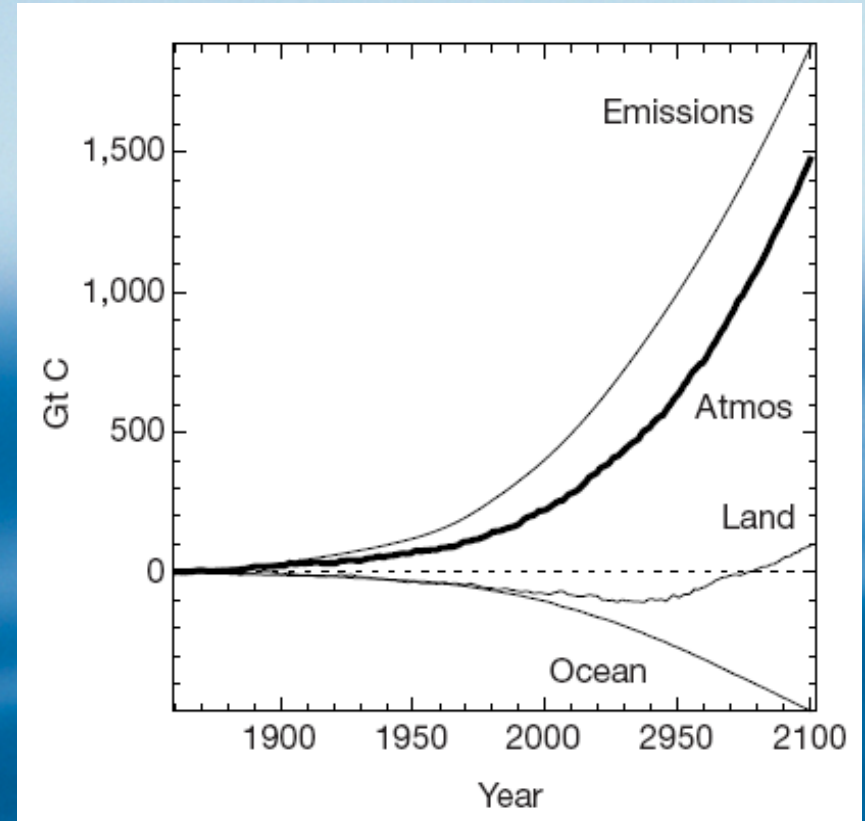
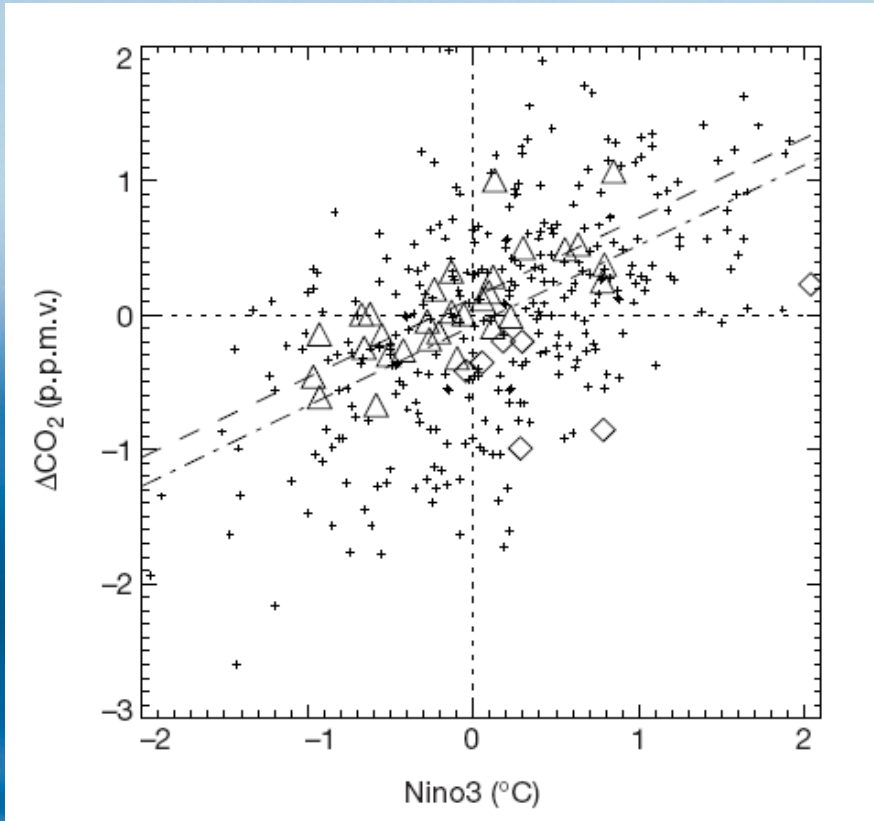


Cykl węgla i nasz w nim udział



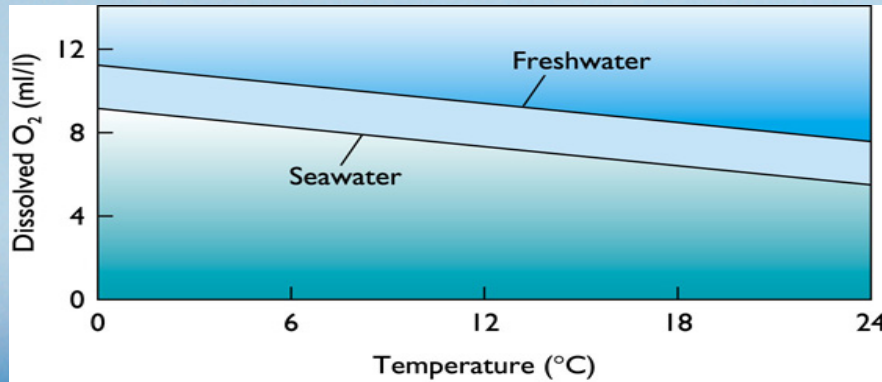
Strumienie [Gt C/rok] i zawartość węgla w poszczególnych zbiornikach [Gt C] 'przed-przemysłowe' oznaczono na czarno a spowodowane przez człowieka (antropogeniczne) na czerwono.

Jak będzie w przyszłości?



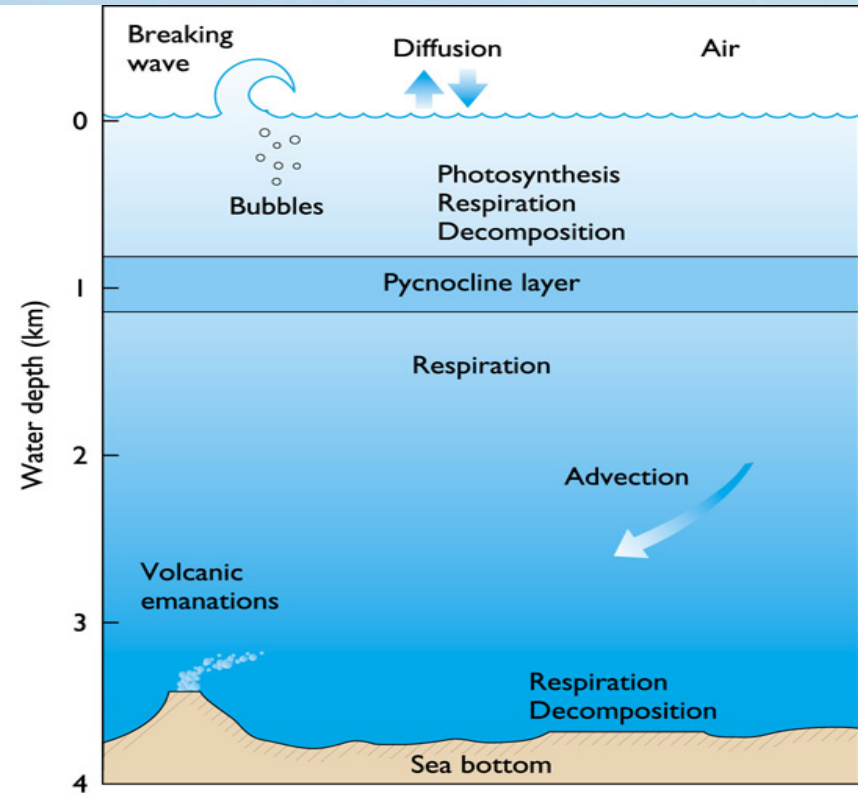
Biosfera lądowa przyjmuje mniej CO₂ w miarę wzrostu temperatury (wzrost “oddychania gleby”) dlatego podczas El Niño wzrasta szybciej atmosferyczny CO₂ pomimo większej jego absorpcji przez ocean (brak upwellingu nasyconej CO₂ wody na Wschodnim Pacyfiku). Dlatego w miarę globalnego ocieplania biosfera lądowa może stać się źródłem CO₂.

Rozpuszczalność gazów w wodzie



(a) SOLUBILITY OF OXYGEN

$$F = k \cdot \alpha \cdot (\Delta p\text{CO}_2)_{\text{sea-air}}$$

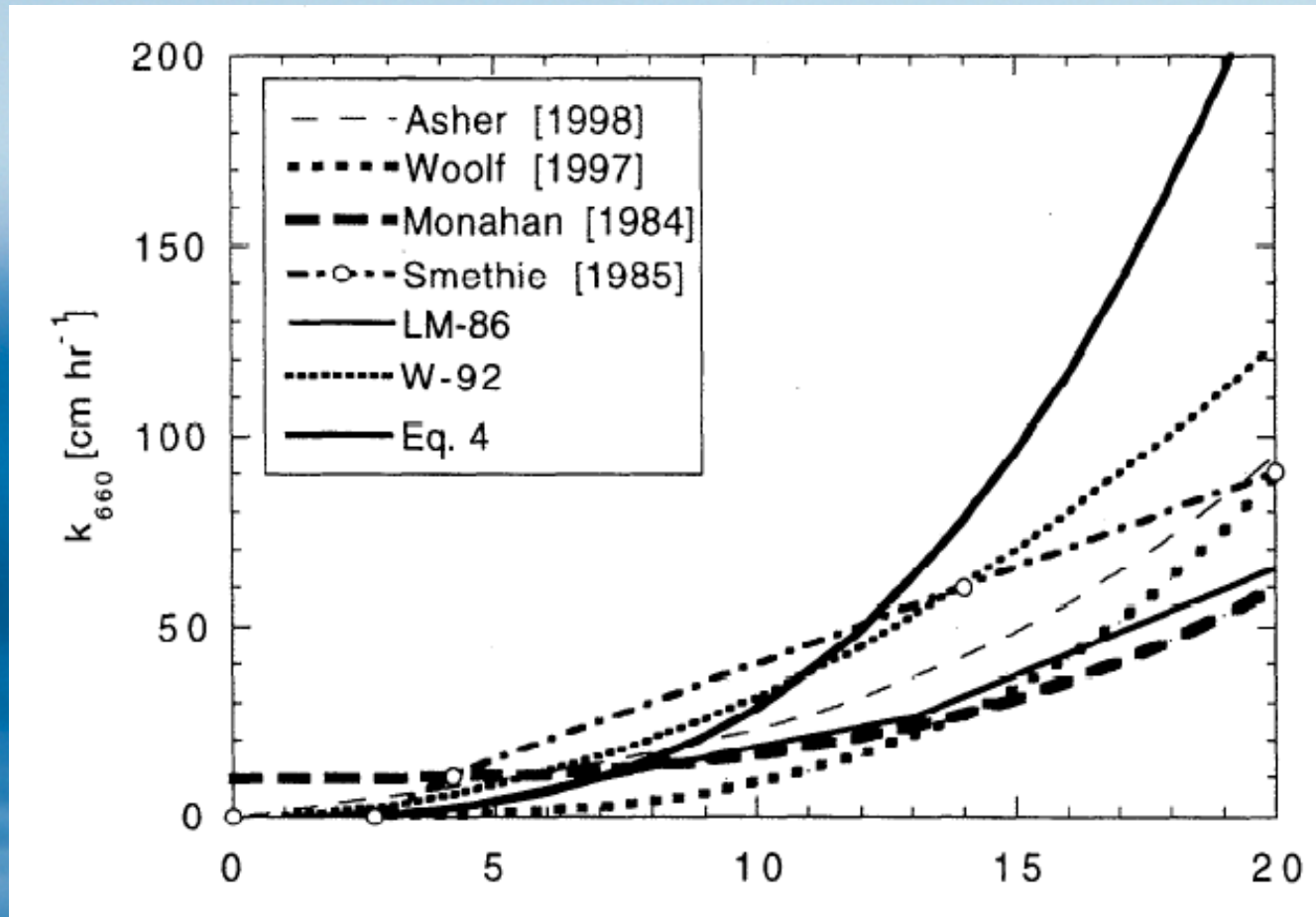


(b) SOURCES AND SINKS OF GASES

Rozpuszczalność gazów w wodzie maleje z temperaturą (na rysunku rozpuszczalność tlenu). Ciśnienie parcjalne gazu w cieczy, w danej temperaturze, proporcjonalne jest do jego stężenia (prawo Henry'ego). Ciśnienie parcjalne danego stężenia gazu w wodzie temperaturą zmienia się proporcjonalnie do $\exp(-1/T)$ (prawo Van't Hoffa).

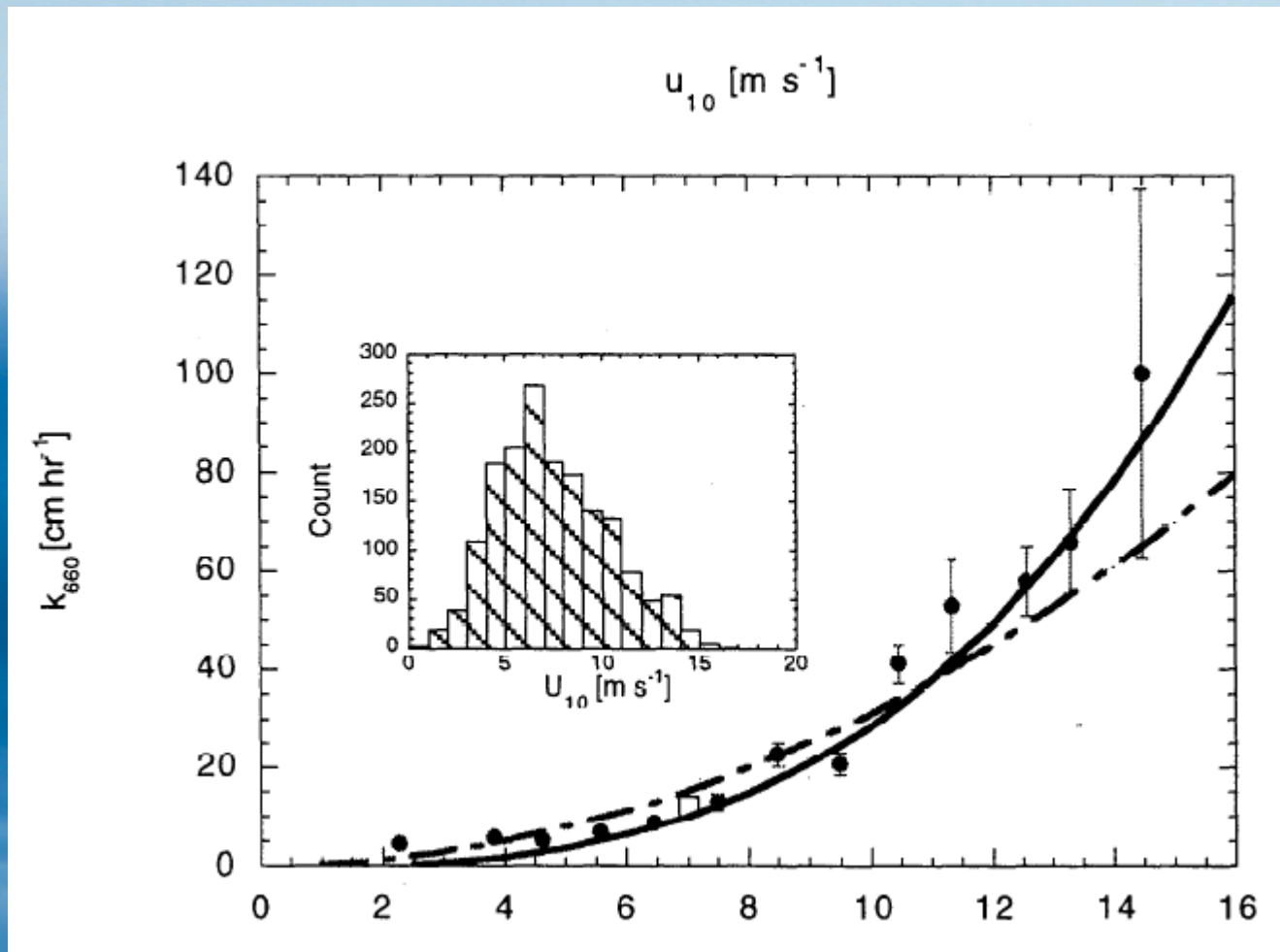
Strumień gazu przez powierzchnię morza proporcjonalny jest do różnicy ciśnień parcjalnych danego gazu w morzu i atmosferze mnożonej przez współczynnik transferu k i rozpuszczalność gazu α .

Od czego zależy współczynnik transferu k ?



Podobnie jak w wypadku aerozolu, istnieje wiele proponowanych funkcji transferu k , parametryzowanych prędkością wiatru U (także na rysunku powyżej). W-92 jest przykładem zależności od U^2 a "Eq. 4" od U^3 .

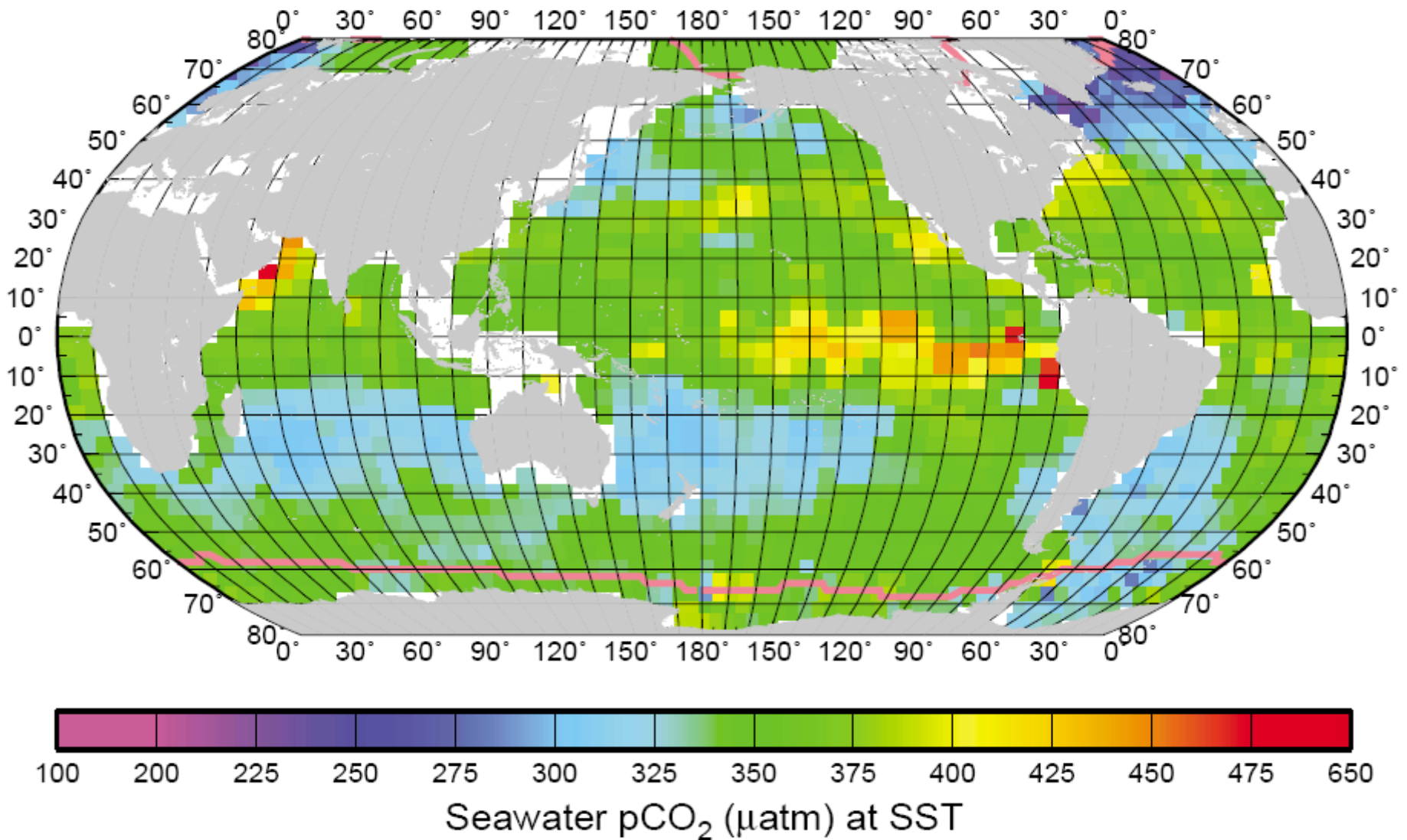
U^2 czy U^3 ?



Wannikhof i McGillis 1999 zaproponowali aby współczynnik transferu k dla CO_2 zamiast przez U^2 parametryzować przez U^3 . Pomimo (nieco) lepszej zgodności z danymi pomiarowymi nowej funkcji do dziś wariantowo używa się zazwyczaj obu.

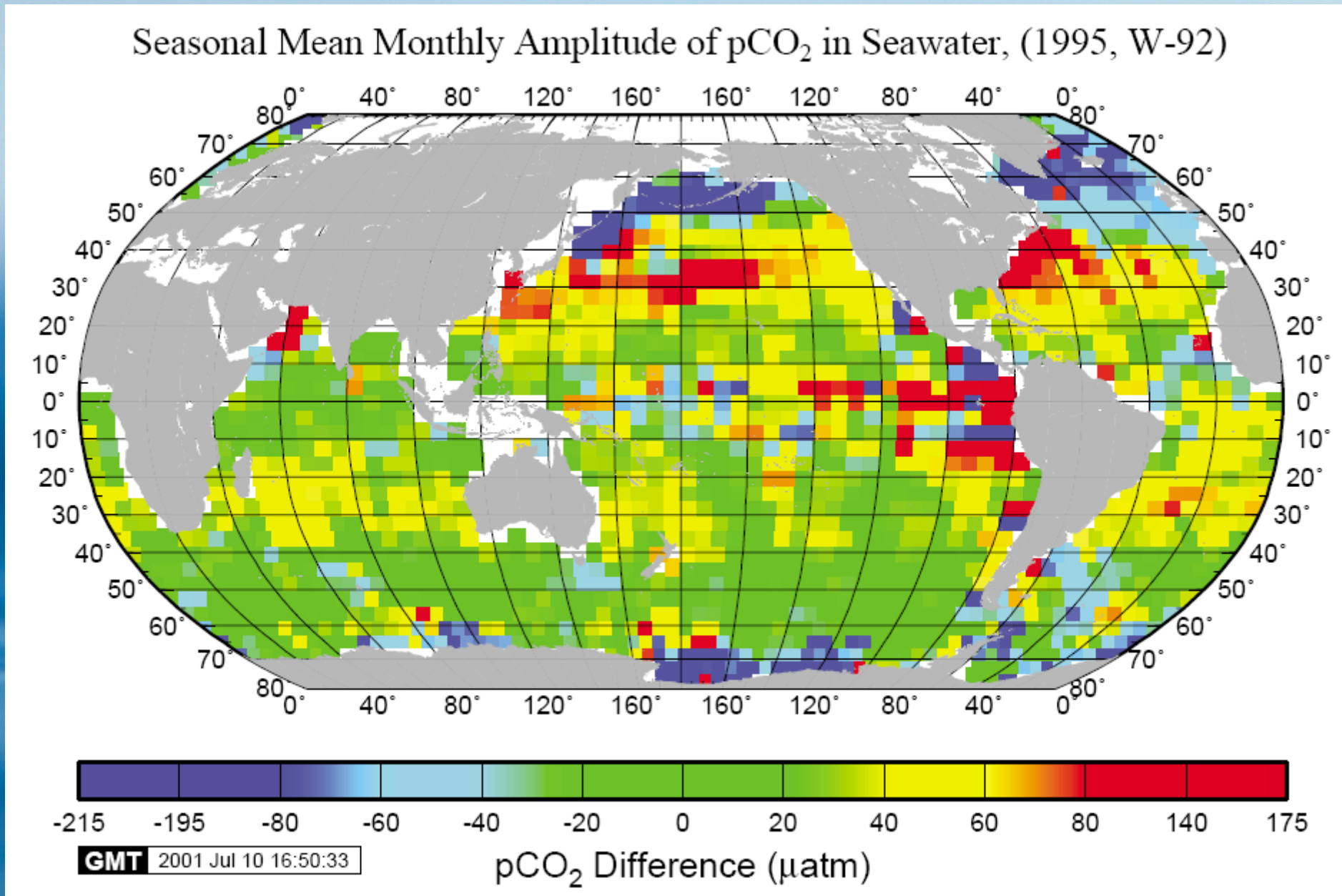
Ciśnienie parcjalne CO₂ dla sierpnia

Climatological pCO₂ in Surface Water [940K] for August 1995



Strumień CO₂ przez powierzchnię morza zależy od różnicy pCO₂ między morzem i atmosferą. Dla pCO₂ < 380 μatm strumień skierowany jest do morza. Prędkość transferu zależy od różnicy ciśnień i prędkości wiatru. *Takahashi et al. 2003 (Deep Sea Research)*

Zmiany sezonowe ciśnienia parcjalnego CO₂



Dodatnie wartości oznaczają maksimum pCO₂ w sezonie ciepłym (przewaga fizyki) a ujemne w zimnym (przewaga biologii).

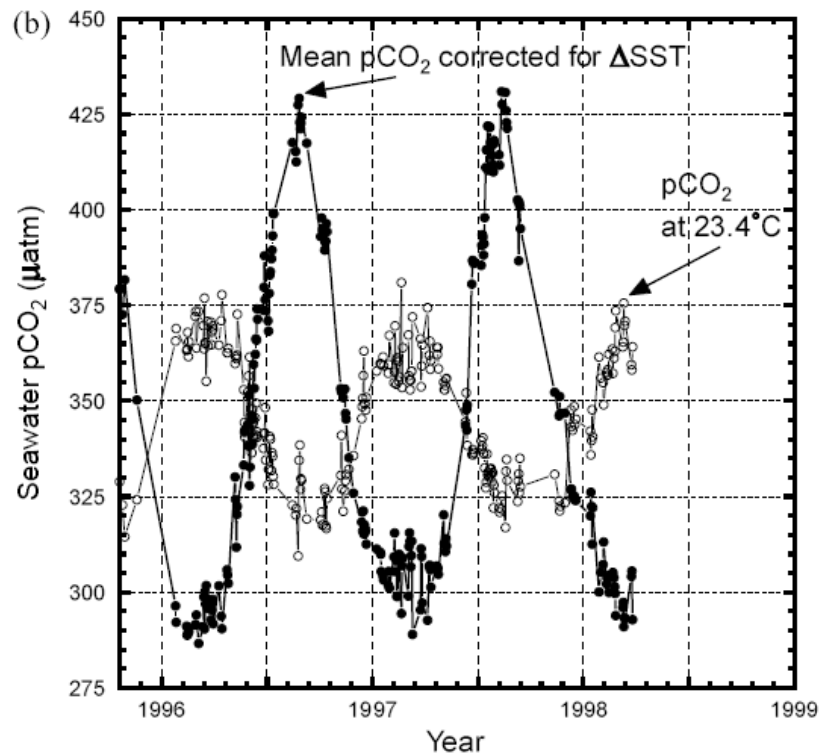
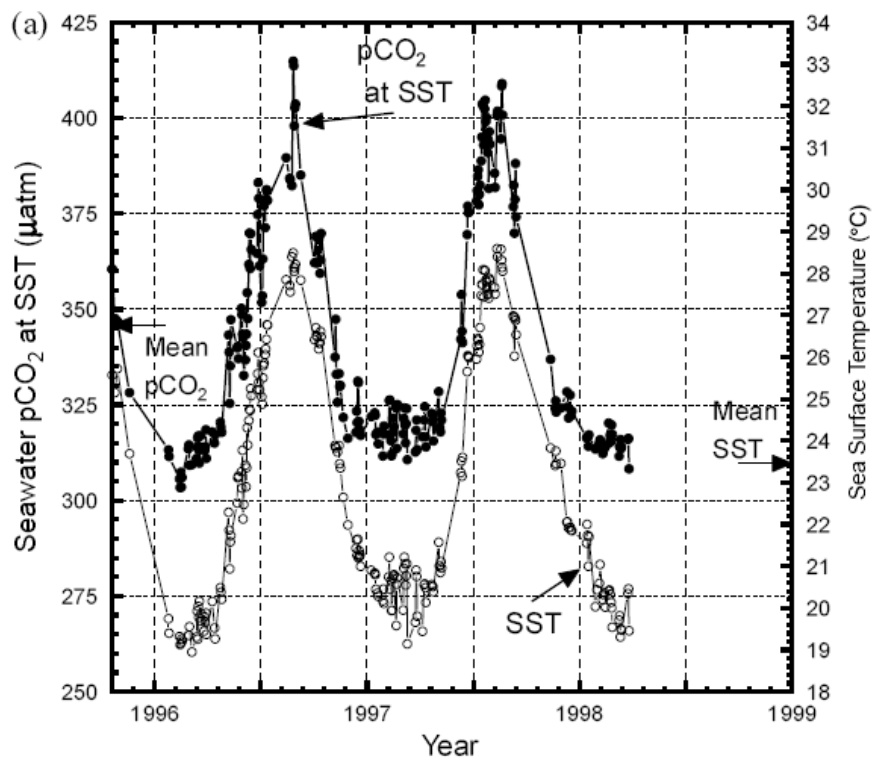
Takahashi et al. 2003 (Deep Sea Research)

Jak to działa?

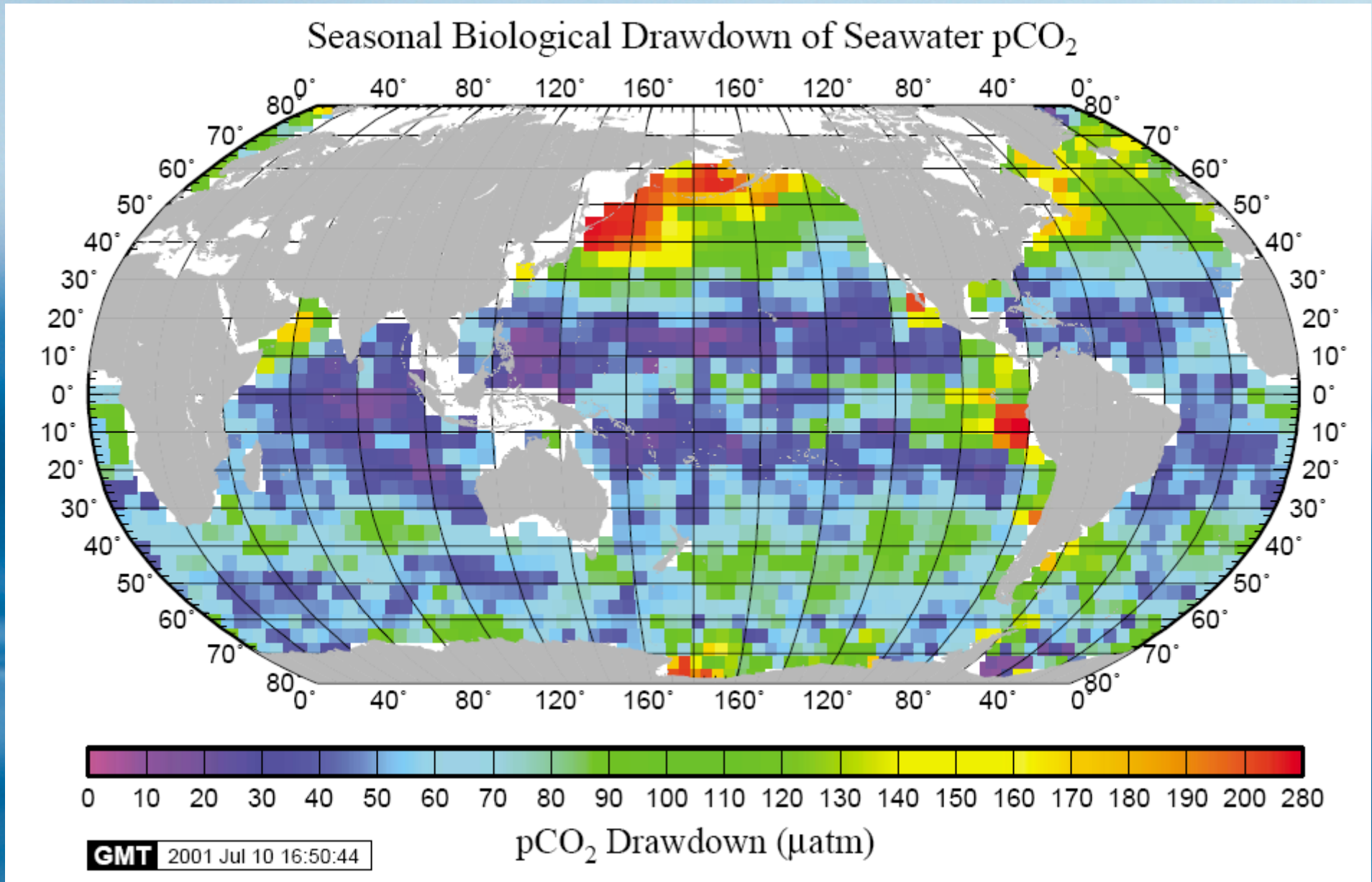
Przykład sezonowych zmian ciśnienia parcjalnego i koncentracji CO_2 w pobliżu Bermudów:

a) zmian temperatury powierzchniowej morza (SST) i mierzonego ciśnienia parcjalnego CO_2 .

b) średnia wartość $p\text{CO}_2$ skorygowana o temperaturę wg prawa van't Hoffa (tak zmieniała by się jego wartość gdyby nie było zmian składu chemicznego wody) oraz $p\text{CO}_2$ przeliczona na stałą (średnią) temperaturę (miara koncentracji CO_2 w wodzie).



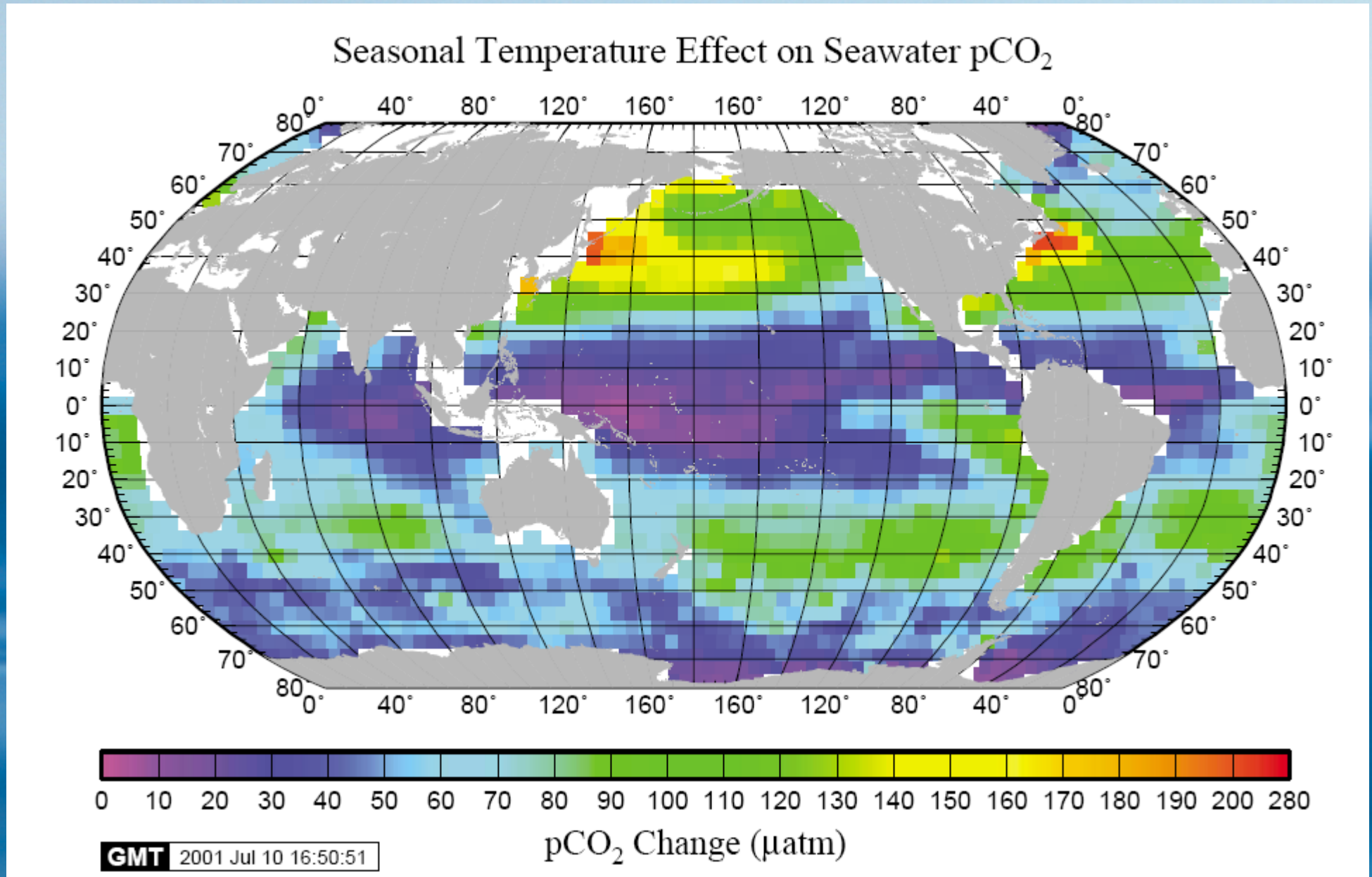
Zmiany koncentracji CO₂



Zmiany sezonowe ciśnienia parcjalnego po skorygowaniu zmian ciśnienia parcjalnego wywołanego przez temperaturę – odpowiada to zmianom koncentracji.

Takahashi et al. 2003 (Deep Sea Research)

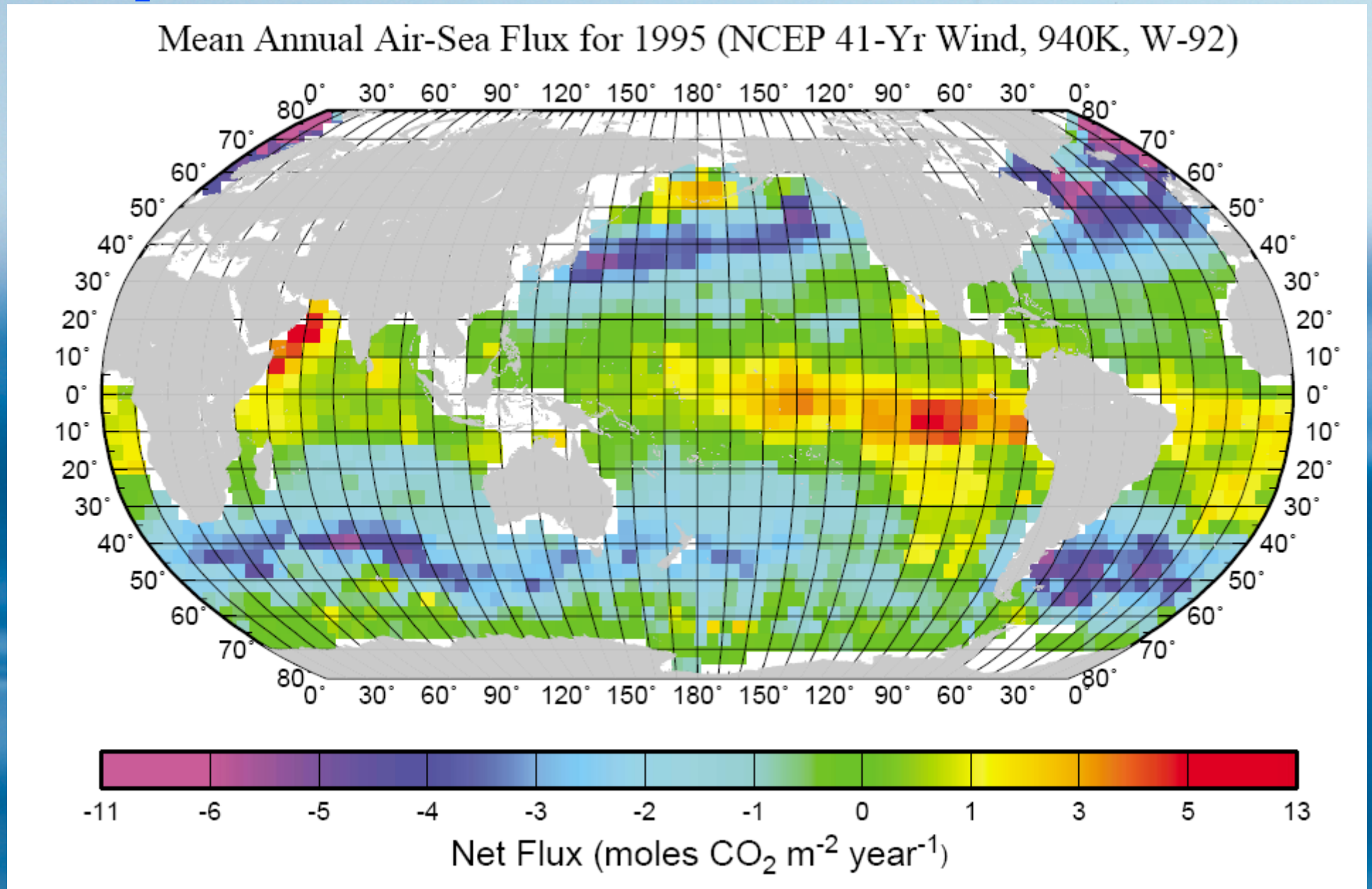
Zmiany $p\text{CO}_2$ spowodowane temperaturą



Zmiany sezonowe ciśnienia parcjalnego po odjęciu zmian spowodowanych biologią – odpowiada to wpływowi temperatury.

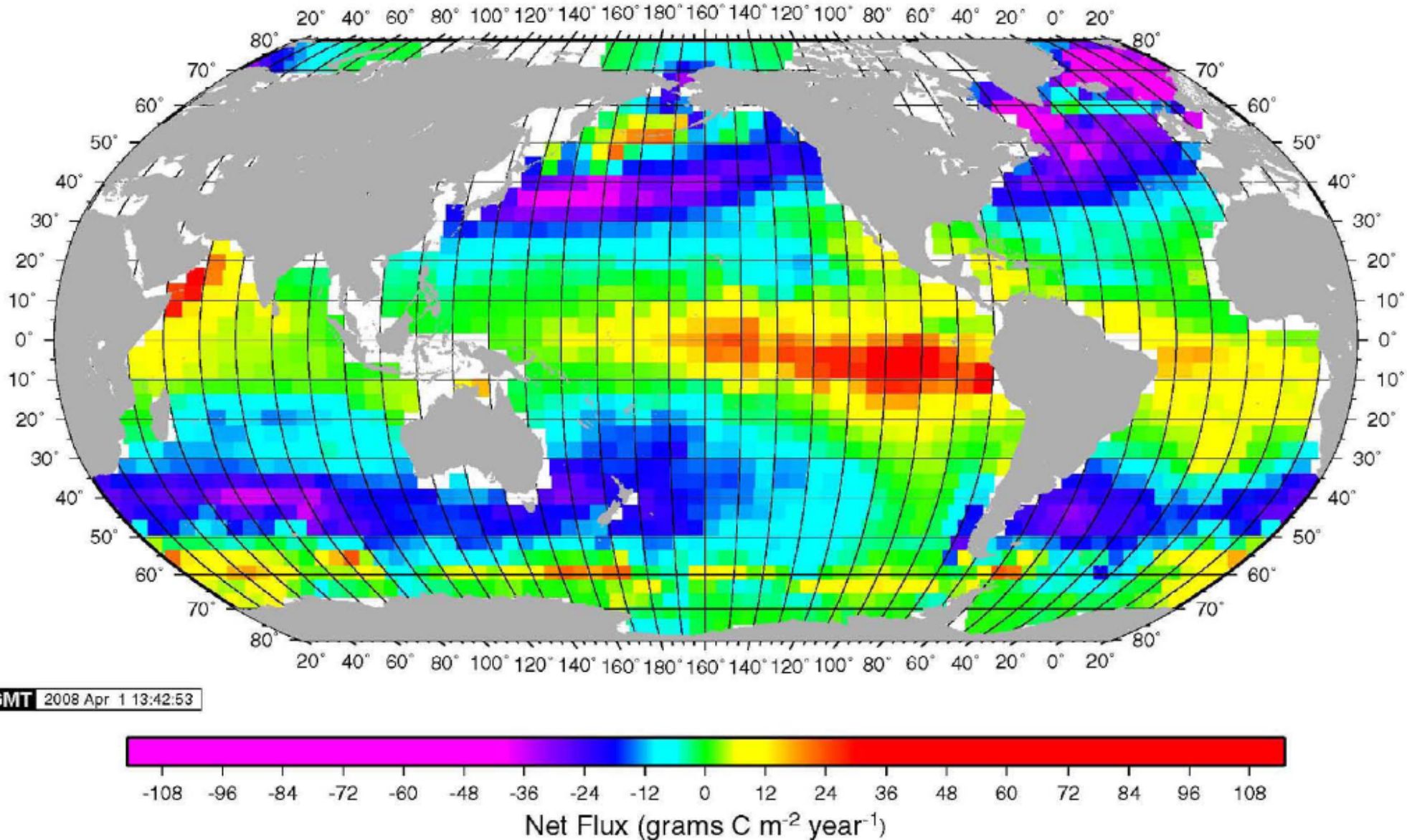
Takahashi et al. 2003 (Deep Sea Research)

CO₂: średni strumień przez powierzchnię morza (2003)



Globalny strumień: +2.2 Pg C yr⁻¹ (+22%, -19%) dla roku bez El Niño. Bilansu dokonano na podstawie 940,000 pomiarów i przy założeniu zależności funkcji transferu od U^2 (U^3 zawyża strumień o 70%). *Takahashi et al. 2003 (Deep Sea Research)*

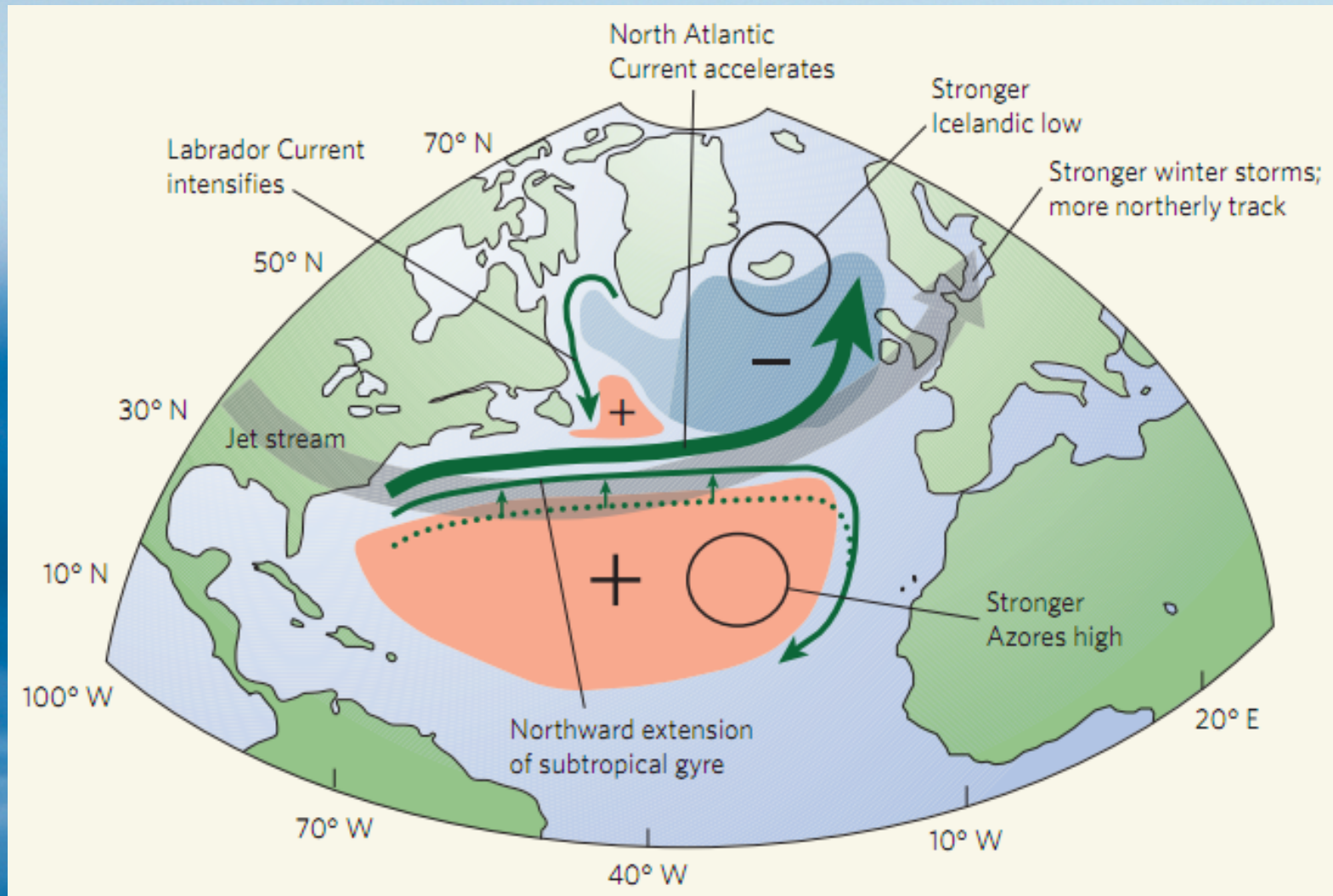
CO₂: średni strumień przez powierzchnię morza (2009)



Globalny strumień: +1.42 Pg C yr⁻¹ (±0.2 Pg C yr⁻¹) dla roku bez El Niño.
Bilansu dokonano na podstawie 3 mln pomiarów i przy założeniu zależności funkcji transferu od U^2 (wg wzoru Wanninkhof 1992).

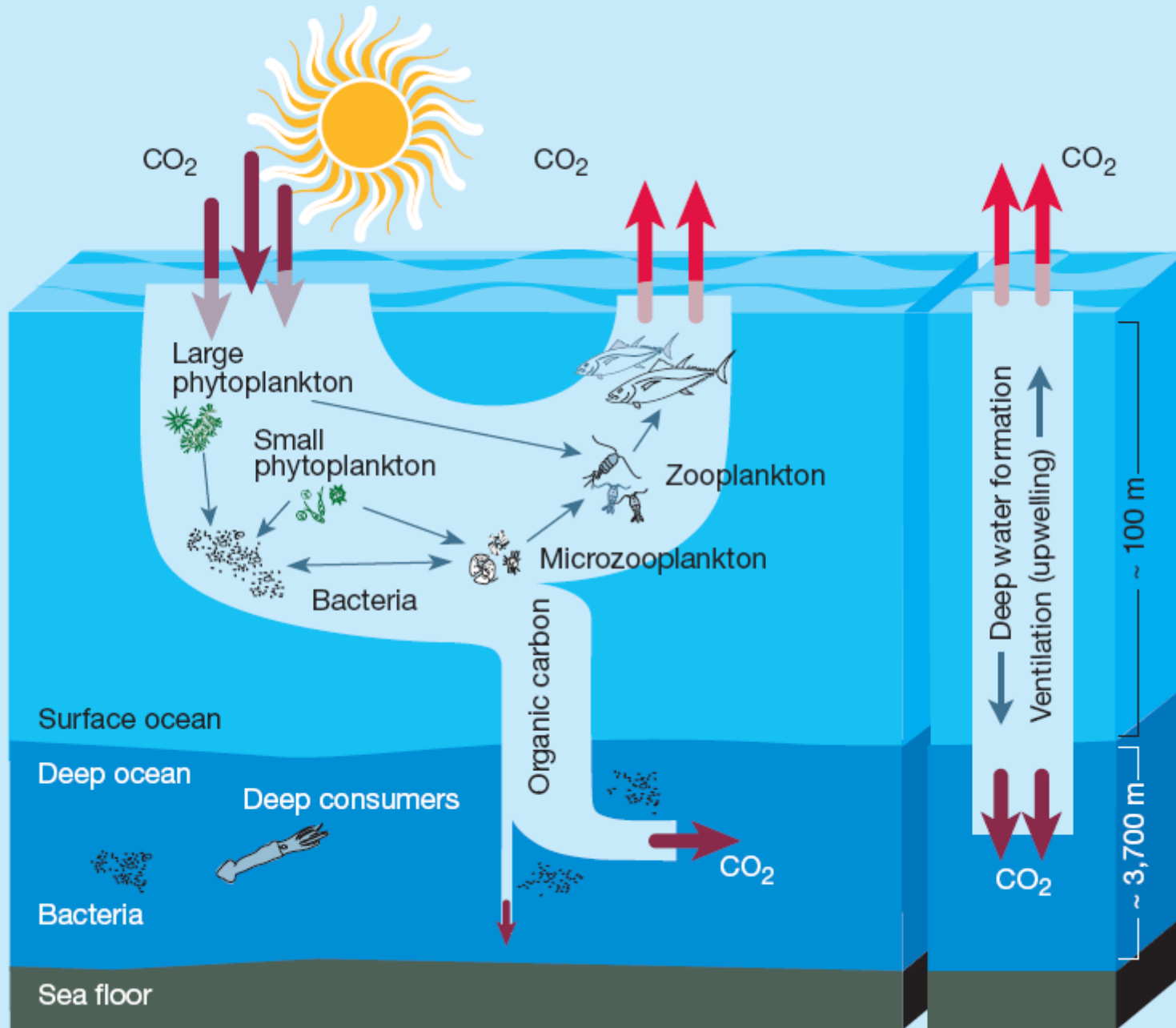
Takahashi et al. 2009 (Deep Sea Research II)

Ciekawostka: wpływ NAO na wymianę CO₂ z oceanem



Rysunek pokazuje wpływ dodatniego NAO na zmianę cyrkulacji atmosferycznej (zielone strzałki) oraz wymianę CO₂ ocean-atmosfera. Obszar niebieski oznacza intensywniejsze pochłanianie CO₂ przez ocean, czerwony słabsze.

Pompa biologiczna i strumienie fizyczne



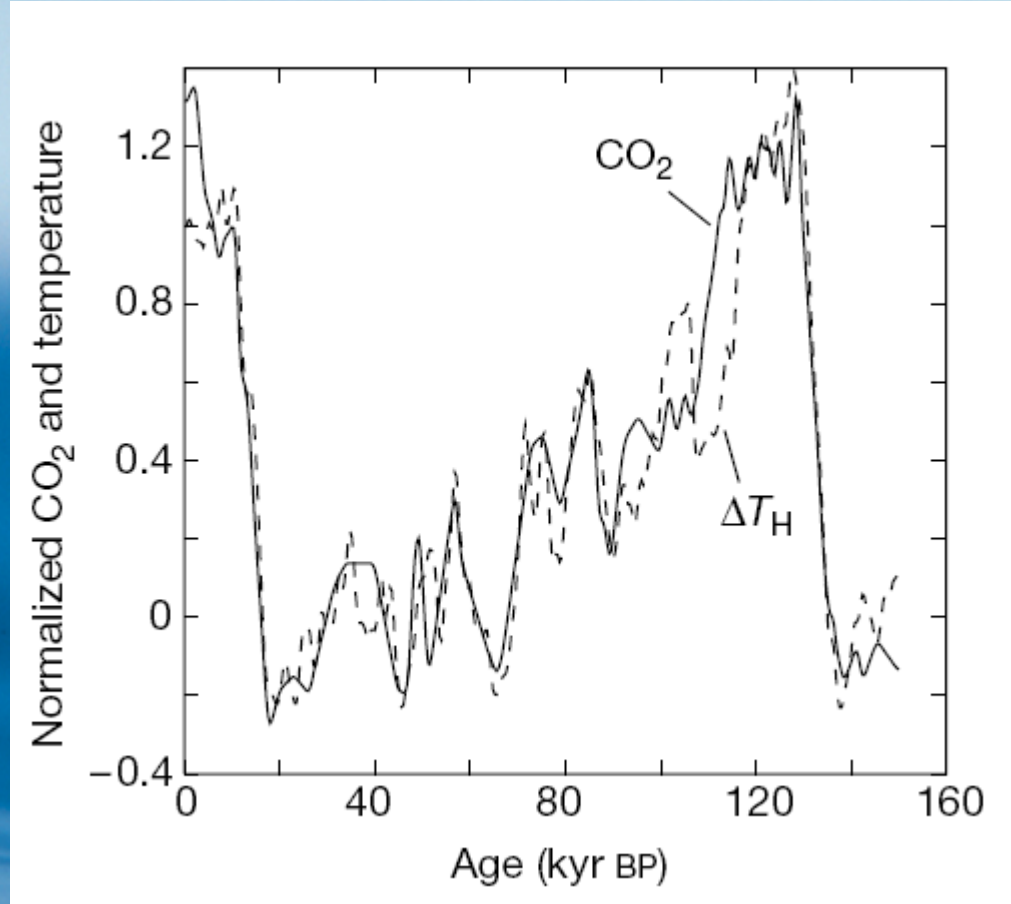
Podsumowanie 1/3

- Koncentracja atmosferyczna głównego (oprócz H_2O) gazu cieplarnianego stale rośnie pod wpływem corocznej emisji ok. 6 Gt (Pg) węgla ze spalanych paliw kopalnych i produkcji cementu (oraz być może do 2 Gt z wycinania lasów).
- Ocean absorbuje ok 2 Gt C, roślinność lądowa 1 Gt C. Pozostałe ok. 3 Gt C pozostają w atmosferze, zwiększając koncentrację CO_2 rocznie o 1.5 ppm (μatm)
- Od czasów przedprzemysłowych zwiększyliśmy koncentrację CO_2 w atmosferze z 280 do ponad 390 ppm.
- Zmienność międzyroczna pochłaniania CO_2 przez ląd jest większa niż ocean, a w cyklu ENSO odwrotnie skierowana.
- W miarę postępu efektu cieplarnianego roślinność lądowa może tracić zdolność do gromadzenia CO_2 (“oddychanie gleby”).



Zestaw do bezpośredniego pomiaru strumieni CO_2 metodą “eddy correlation” - chcemy się wkrótce tym zająć.

Kowariancja CO₂ i temperatury południowej półkuli

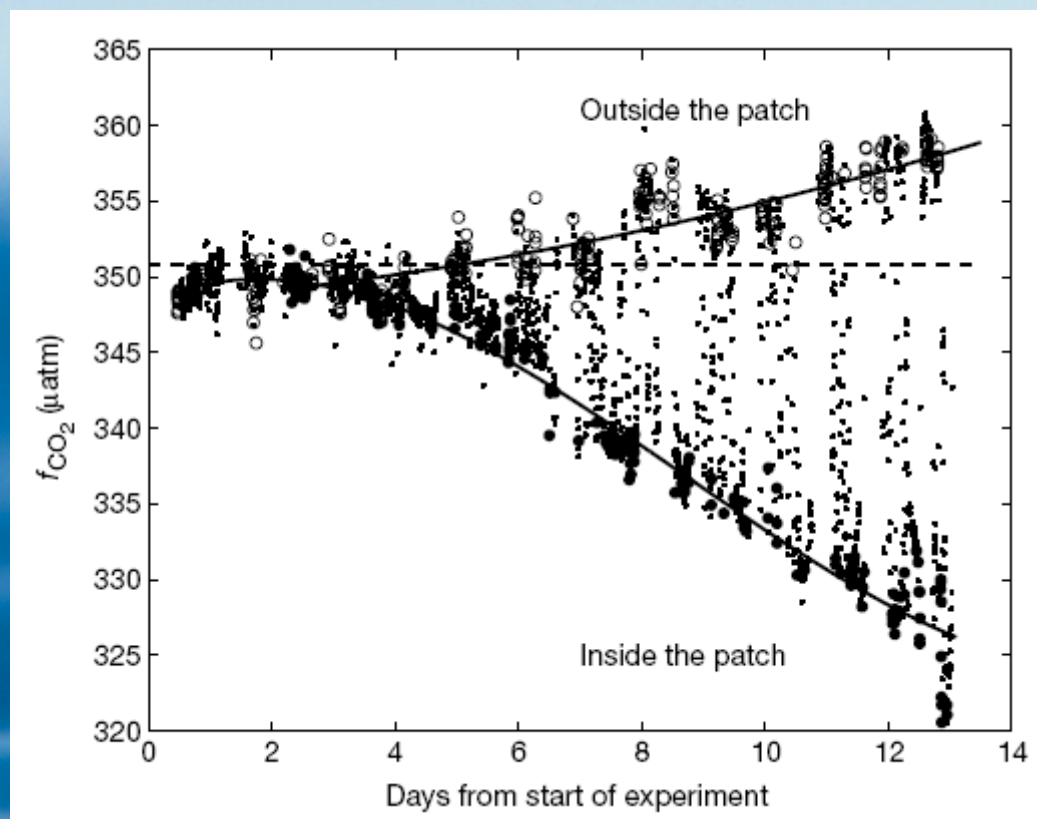
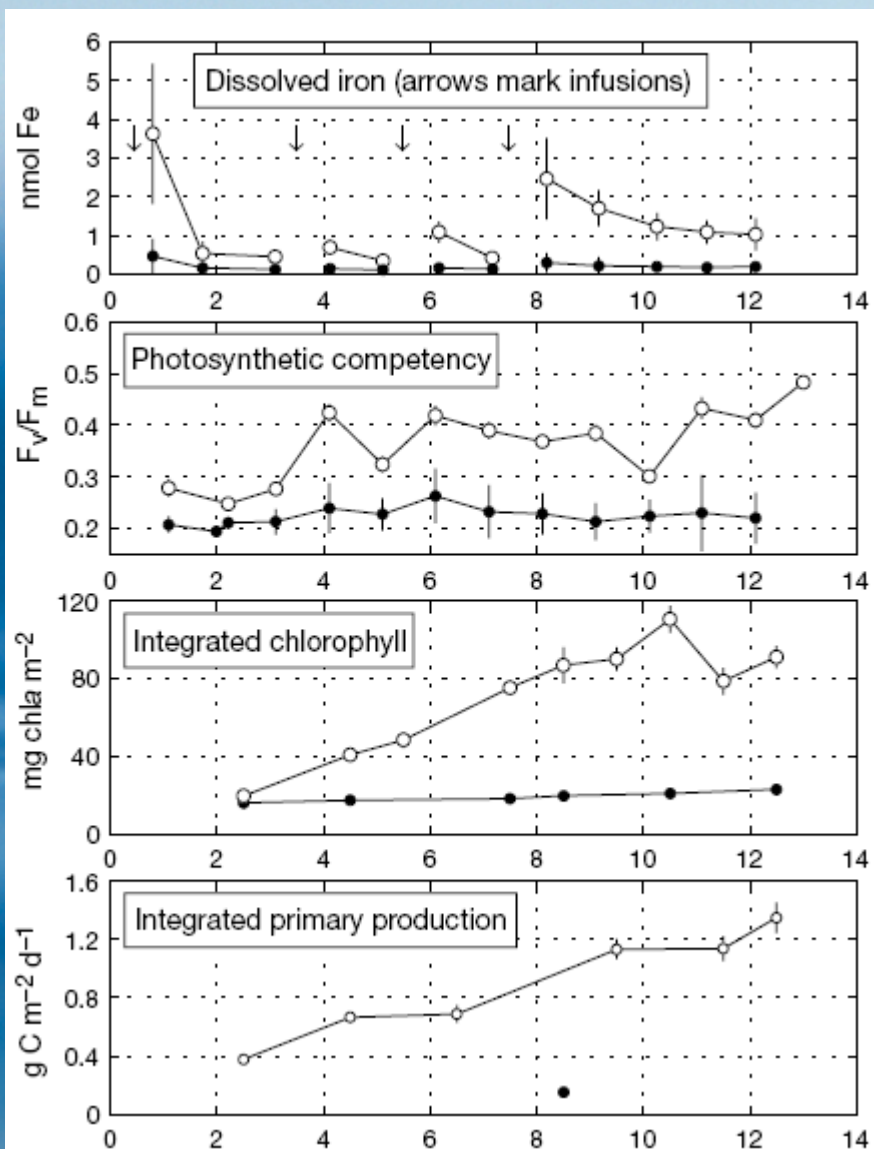


Korelacja zrekonstruowanej temperatury południowej półkuli i koncentracji atmosferycznego CO₂ w przeciągu ostatniego cyklu zlodowaceń wynosi $r^2=0.886$

Ponieważ oznacza to, że Ocean Południowy w jakiś sposób sterował ilością dwutlenku węgla w atmosferze należy jeszcze “tylko” ustalić mechanizm tego zjawiska.

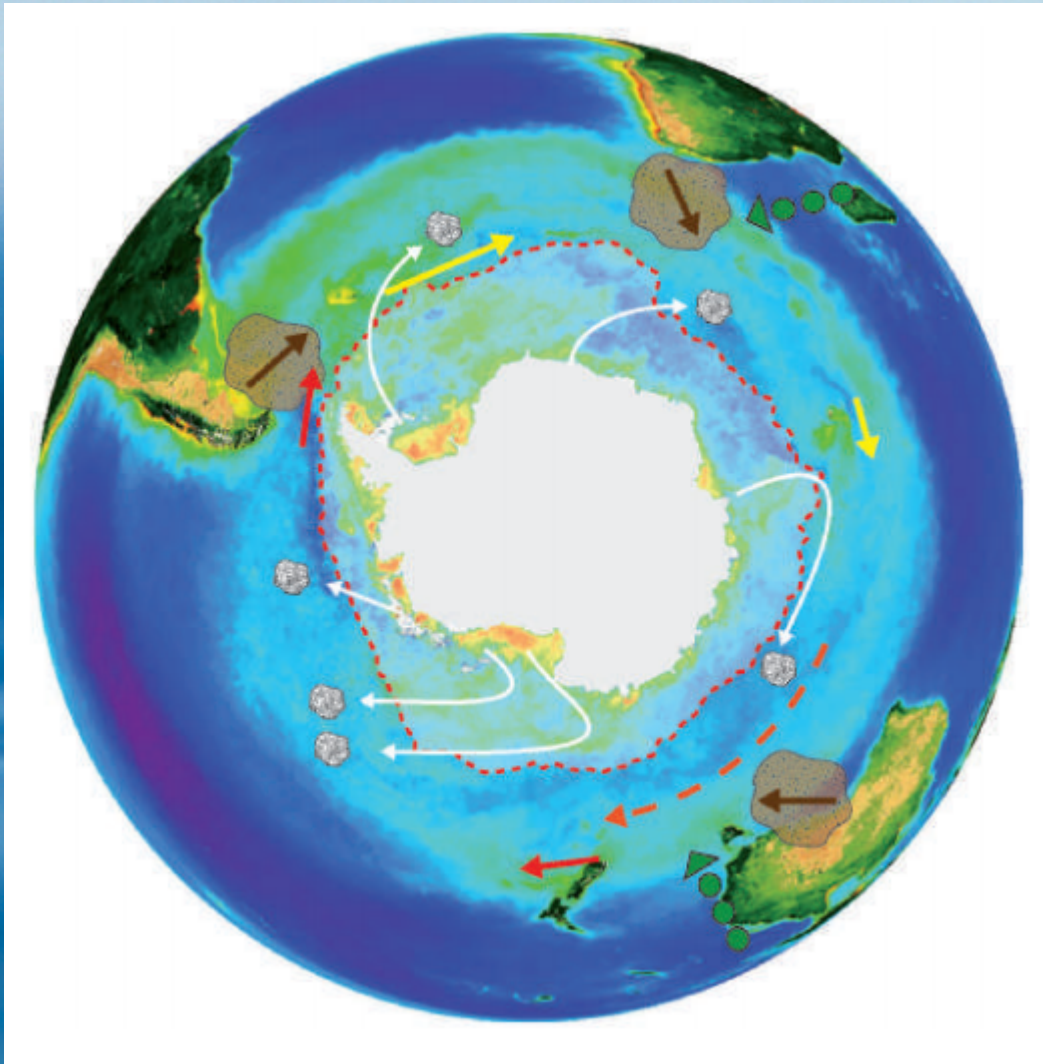
Dlaczego CO₂ zmieniał się podczas zlodowaceń?

“Hipoteza żelaza”: aerozol kontynentalny a oceaniczna produkcja pierwotna



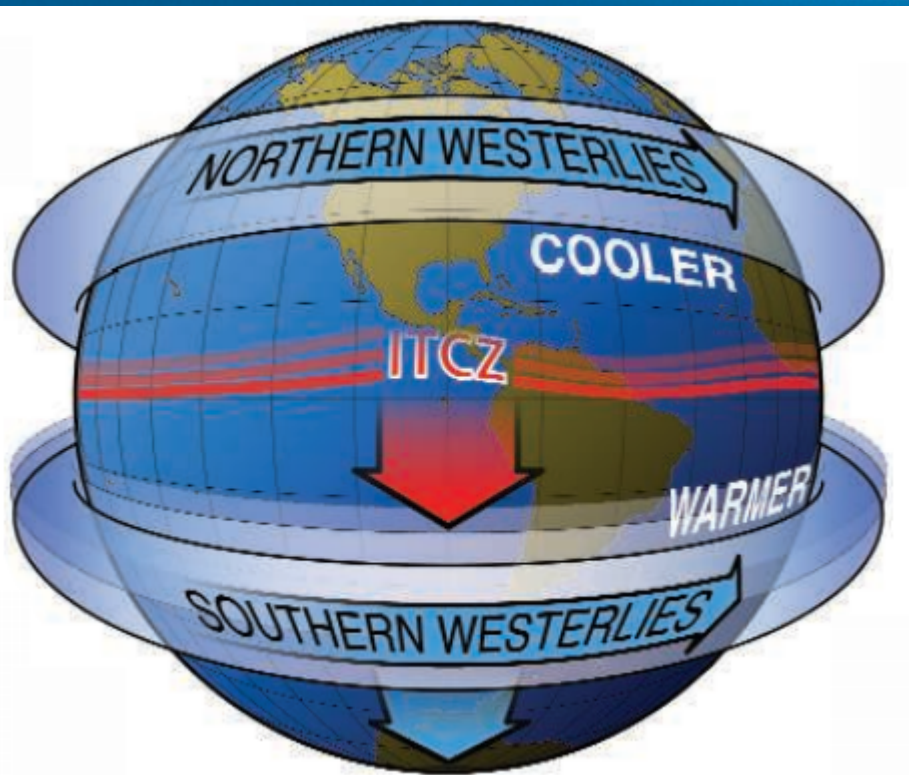
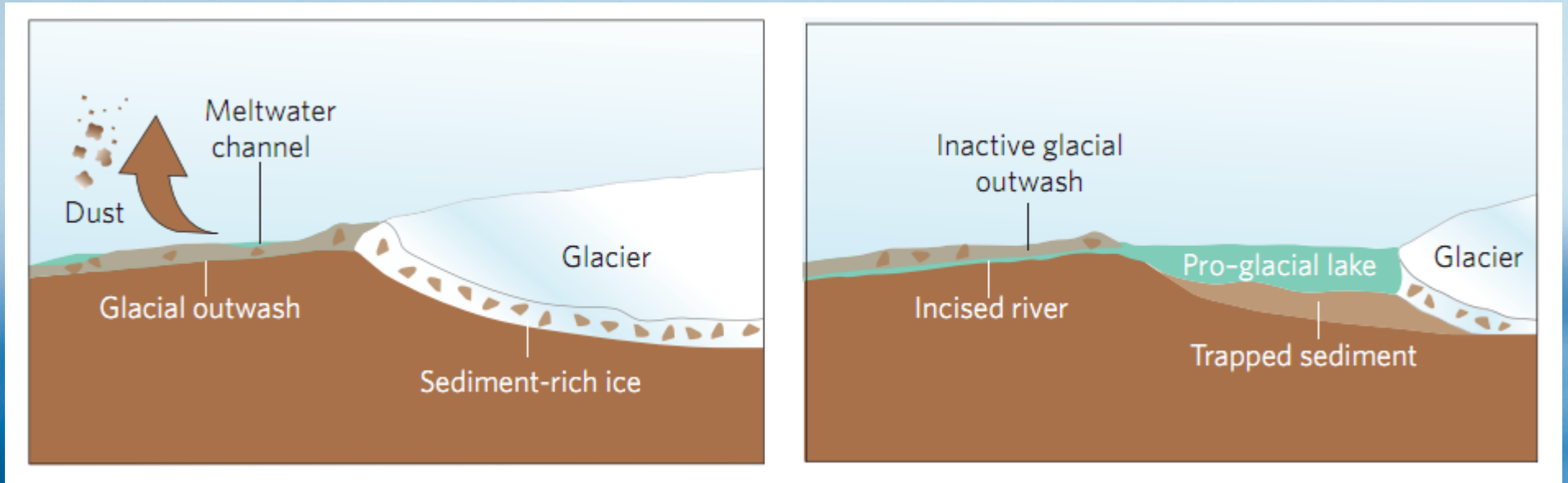
Użyźnianie żelazem Oceanu Południowego dramatycznie (600 - 3000 t węgla organicznego po rozsianiu 8333 kg żelaza) udowodniło, że akwen ten jest limitowany żelazem. Zakwit taki zwiększa strumień CO₂ z atmosfery do wody morskiej.

Źródła żelaza w oceanie południowym



Żelazo do Oceanu Południowego dostaje się jako aerozol (bure chmurki), wraz z lodem morskim (zaznaczony zasięg) i górami lodowymi (białe strzałki), spływem z wysp (żółte strzałki), transportem żelaza z resuspensji osadów (czerwone strzałki), z głębszych wód Prądu Wokółantarktycznego (pomarańczowe) i oddziaływanie widów i osadów (zielone).

“Patagońska maszyna pyłowa”

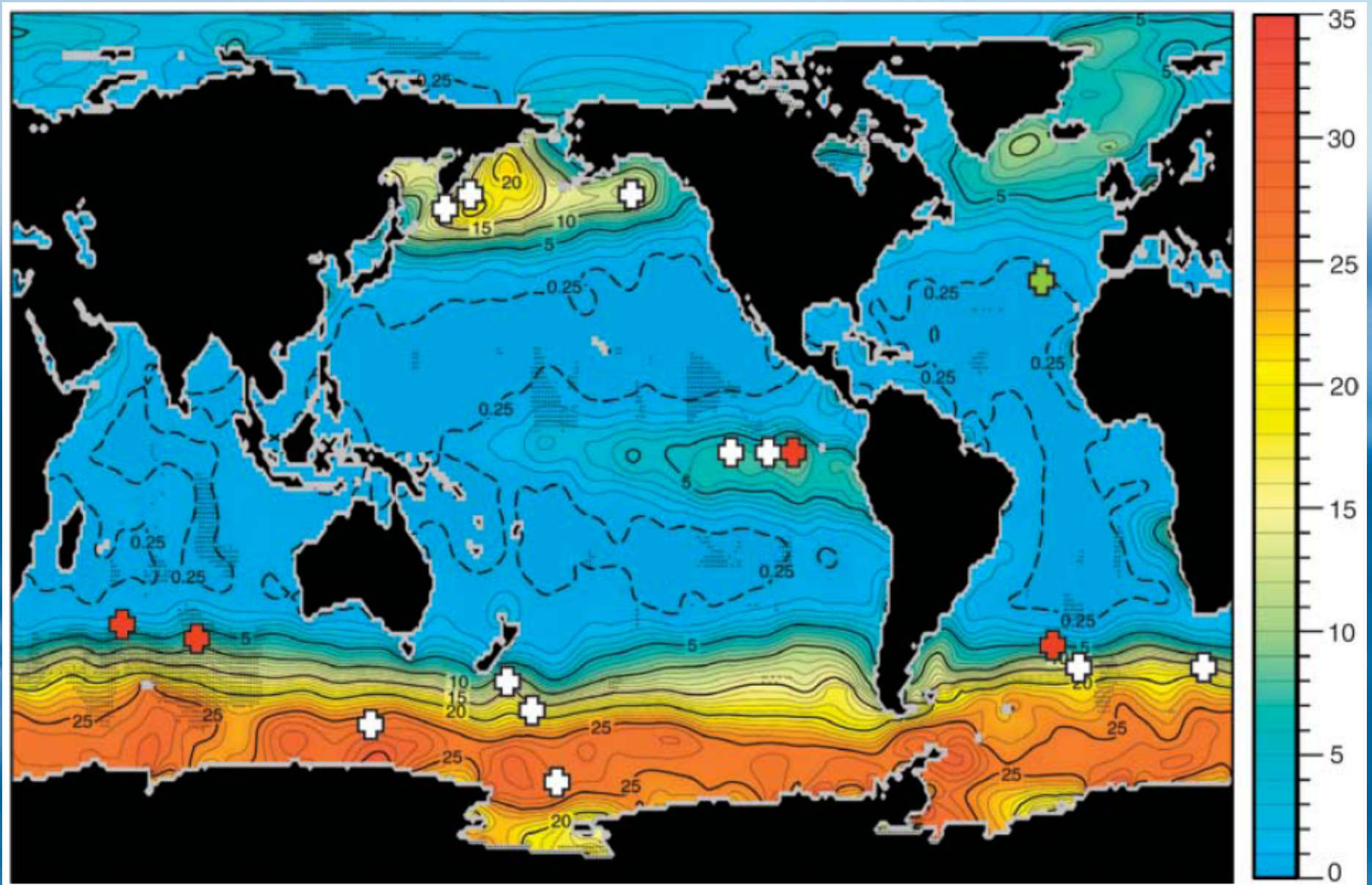


Większa produkcja pyłu zawierającego żelazo w Patagonii (Ameryka Południowa) w epoce lodowej spowodowana była zapewne przesuwaniem się pasa wiatrów zachodnich (po lewej).

Dodatkową przyczyną mogło być jednak wymywanie spod lodowców w Andach osadów, które wiatr zamieniał w pył. Gdy lodowce cofały się, ten sam pył osadzał się w jeziorach przedlodowcowych.

Toggweiler 2009; Ackert Jr., 2009 (Nature Geoscience)

Eksperymenty z użyźnianiem żelazem

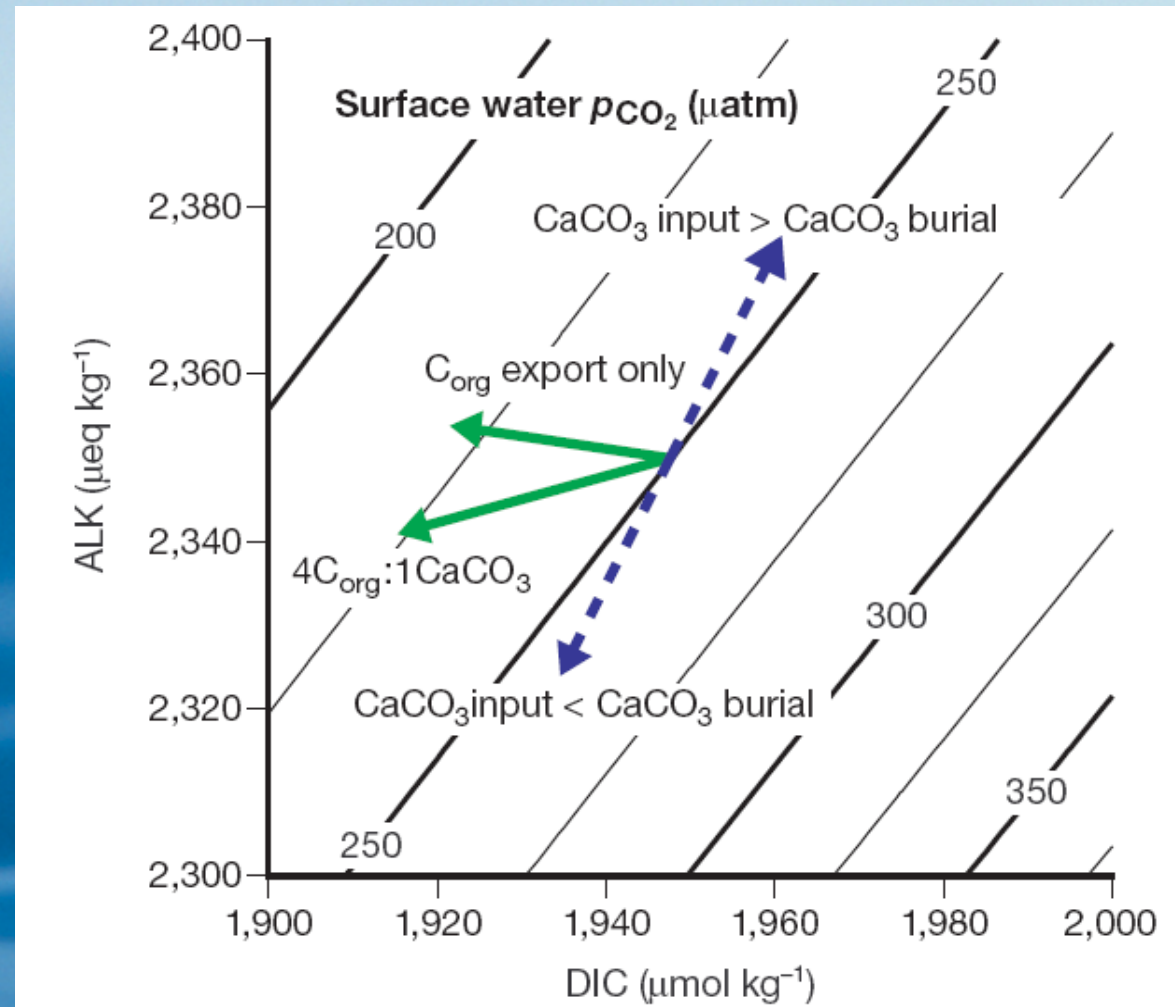


Przeprowadzono liczne eksperymenty: użyźnianie żelazem (białe), obserwacje naturalnych zakwitów użyźnianych żelazem (czerwone), użyźnianie żelazem i fosforem (zielone).

Pompa węglowa i ilość CO₂

Zmiany ilości rozpuszczonego węgla (DIC) i alkaliczności (ALK) wpływają na koncentrację CO₂. Zmiana gatunków fitoplanktonu na taki, których „eksport” (wypadanie z toni wodnej) zabiera C organiczny a nie CaCO₃ zmniejsza stężenie CO₂.

Podobny efekt będzie miało dostarczenie większych ilości biogenów (“nutrientów”) lub zmiany stosunku Redfielda N:P.



Stosunki Redfielda (1934)

fitoplankton zużywa C:N:P w stosunku molowym 106:16:1.

Uwaga: tylko dla chemików

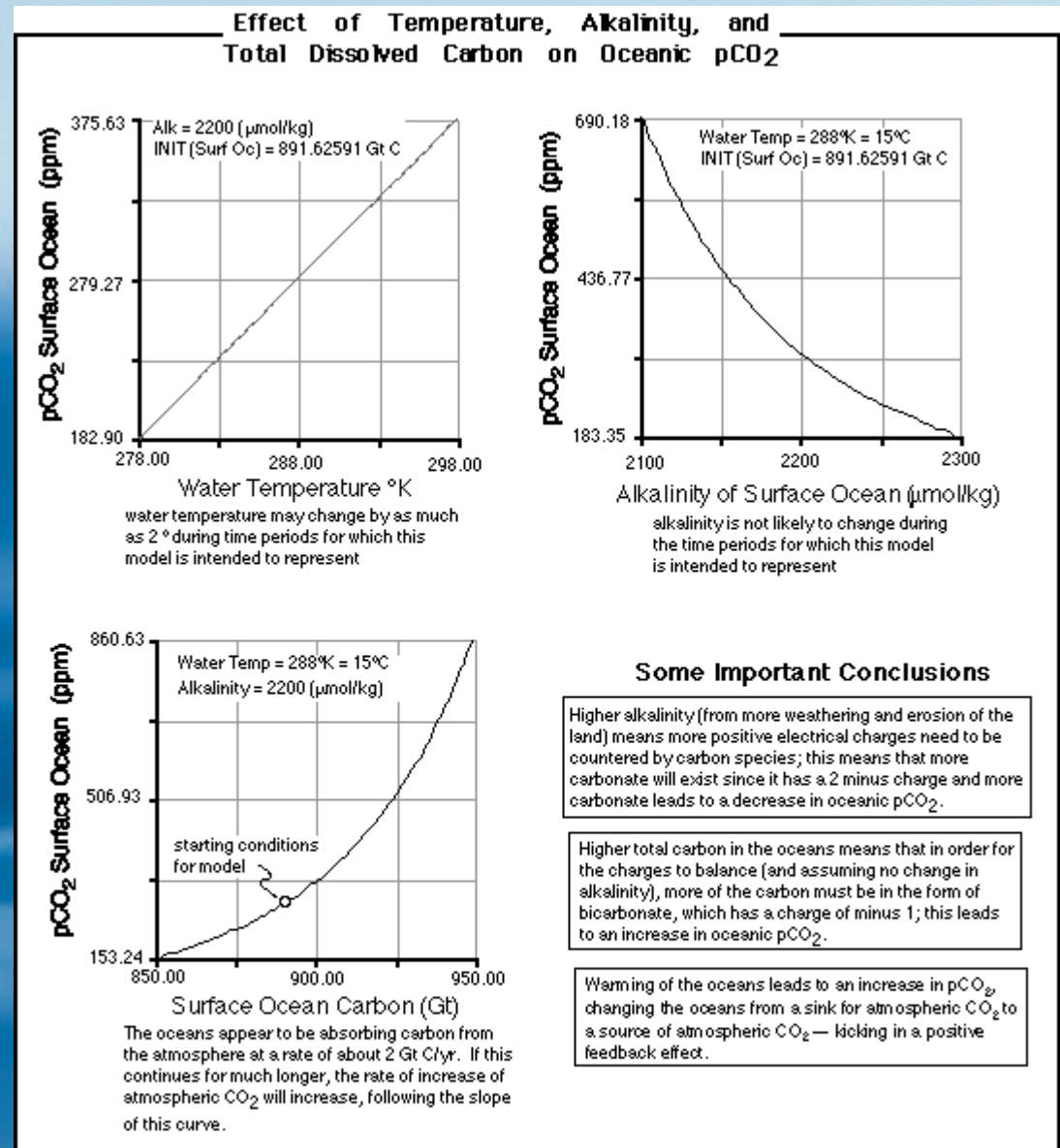
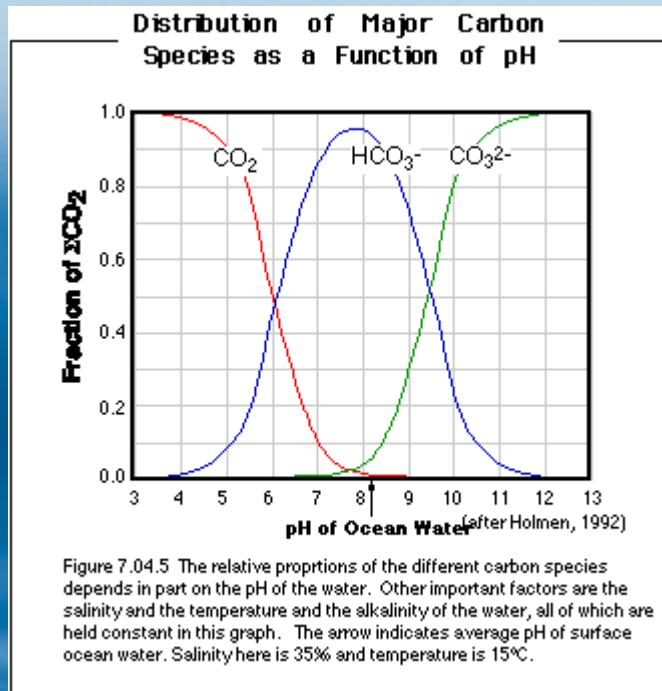
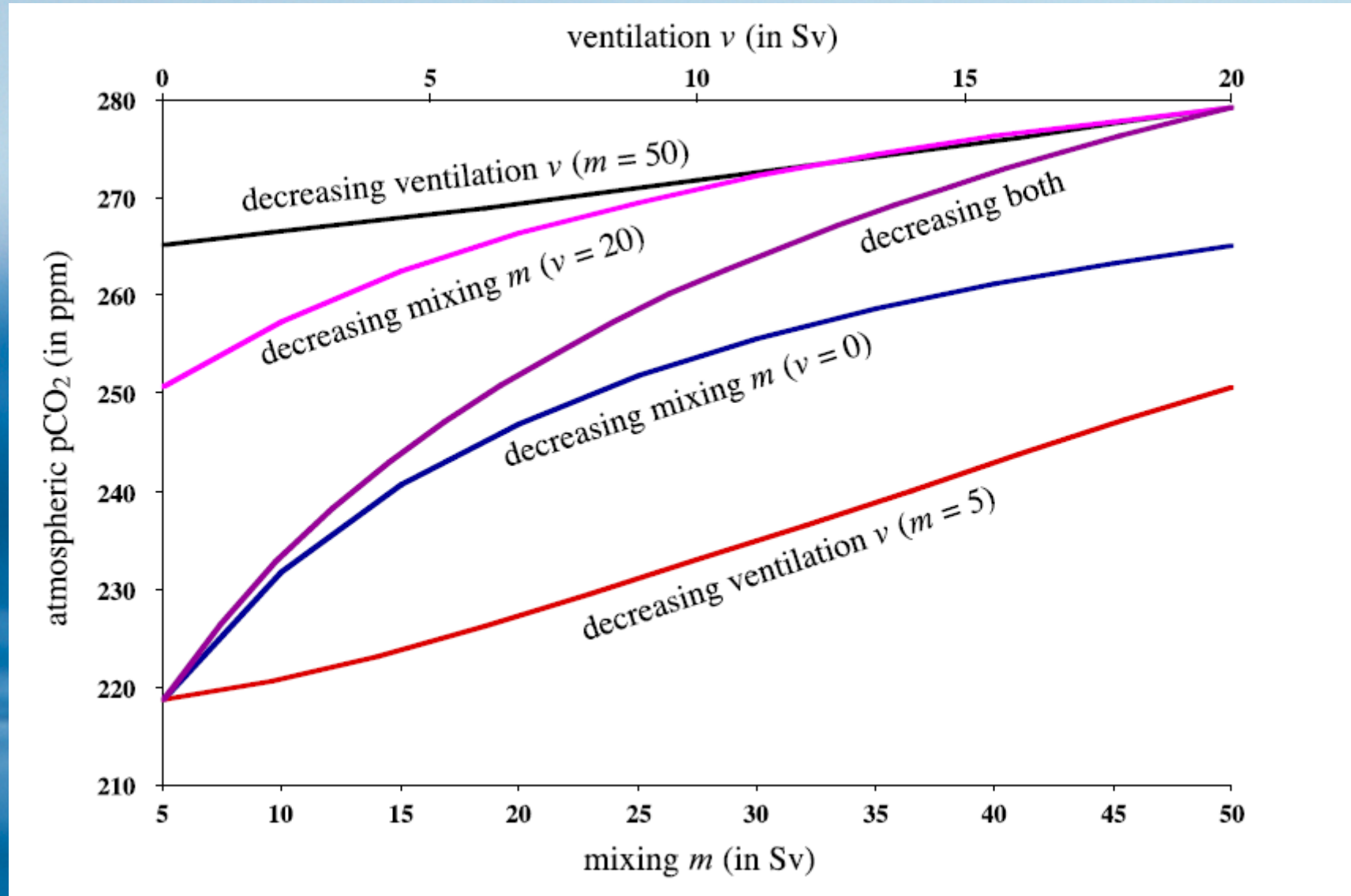


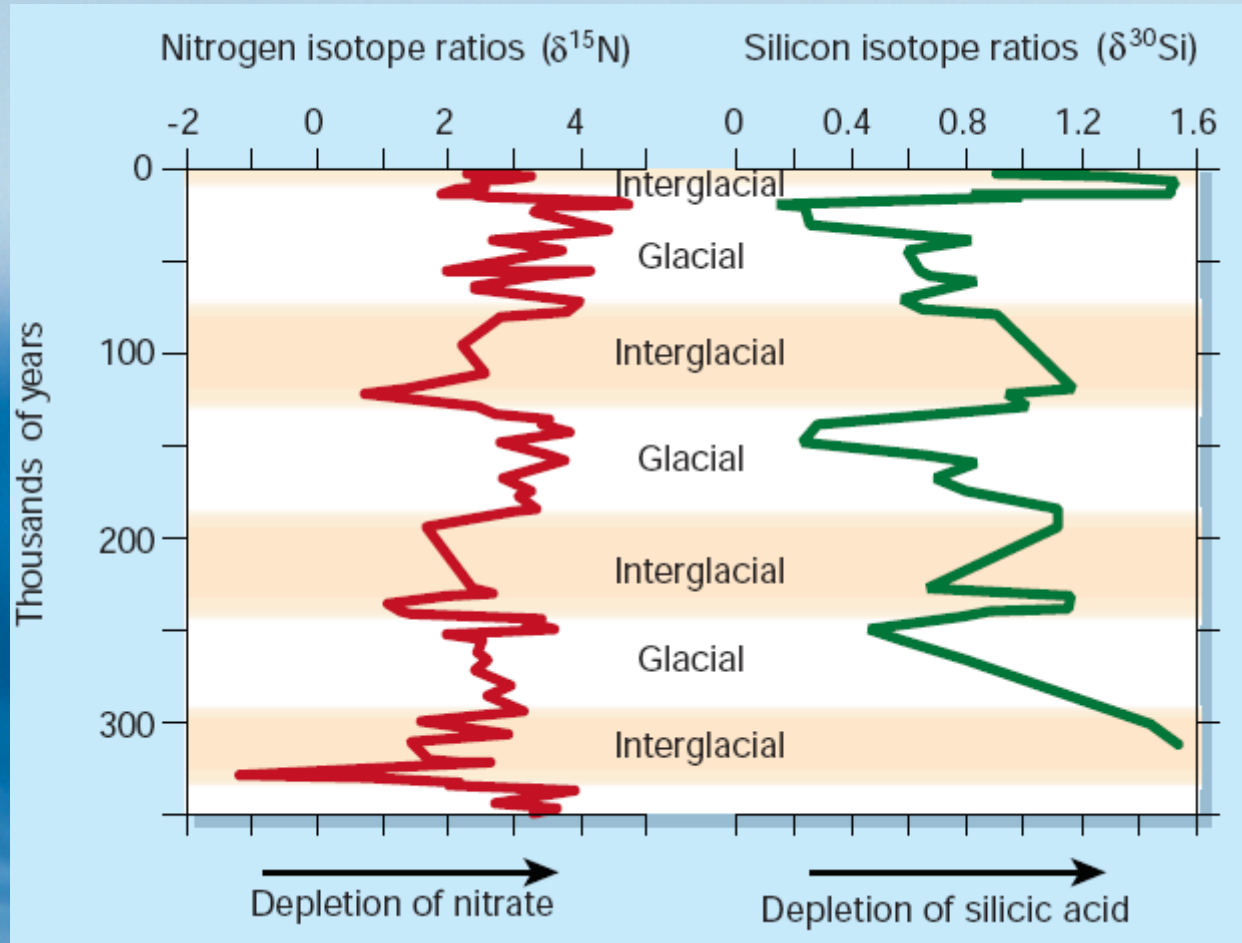
Figure 7.05. The complex relationship between pCO₂ of sea water, total dissolved carbon, alkalinity, and temperature, defined by equations in the text, are illustrated in these graphs, produced by changing only one of the variables. Note that these relationships are non-linear; this introduces complexity to the overall model.

Czy sama fizyka starczy?



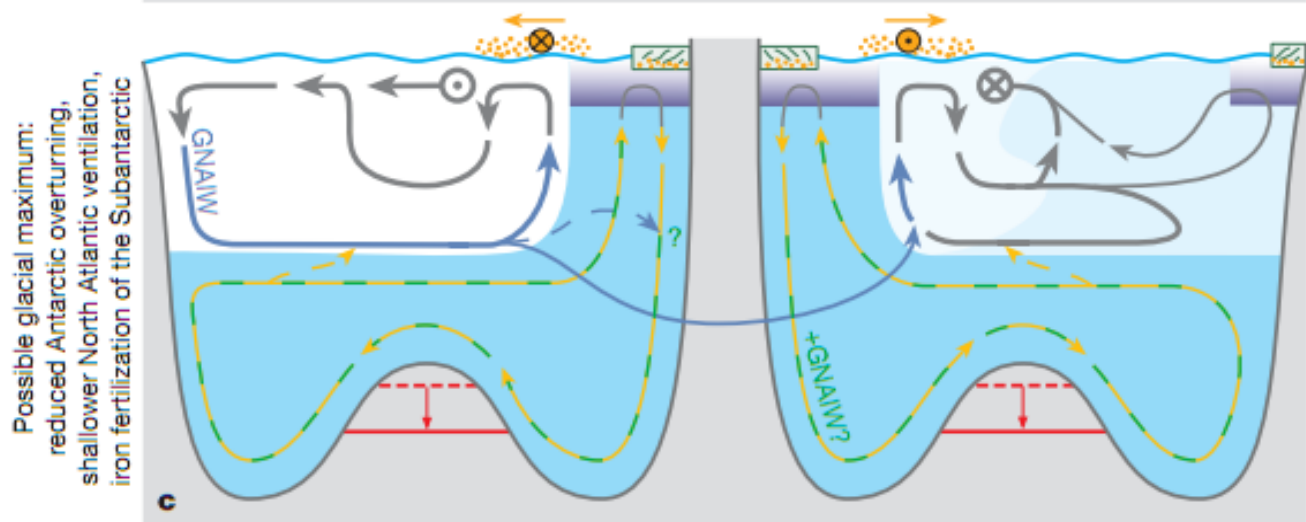
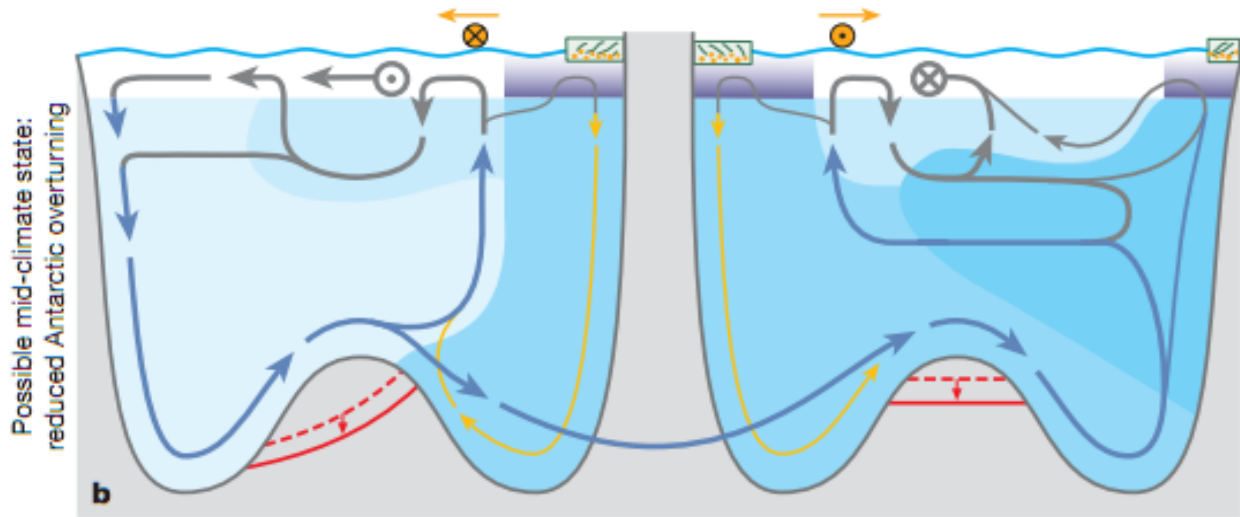
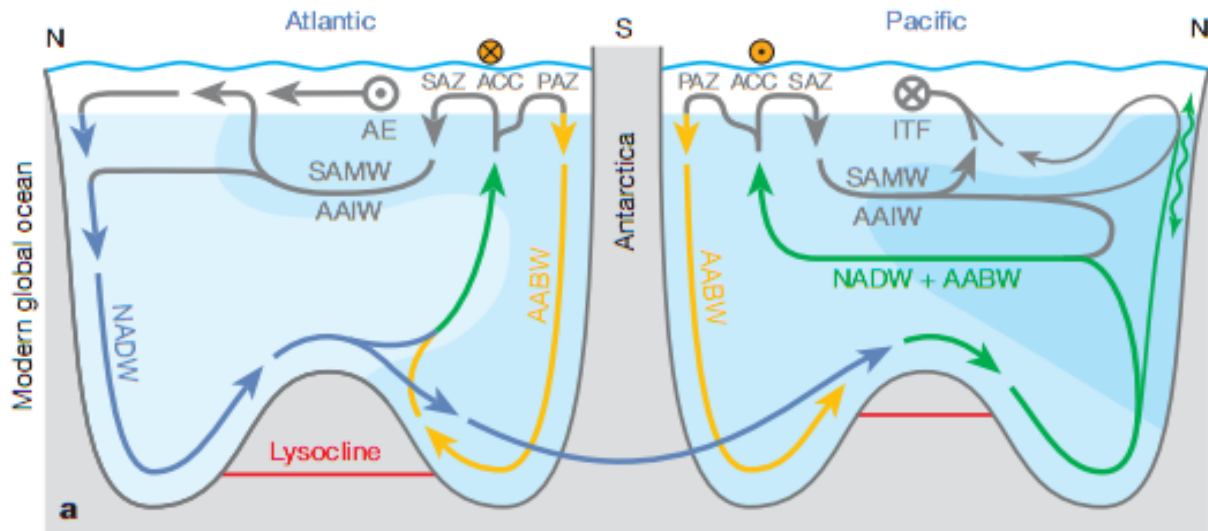
W modelu, w którym wzrost antarktycznej pokrywy lodowej zwiększa stratyfikację i mniejsza mieszanie da się wyjaśnić (prawie) całe 80 ppm ubytku CO₂. Nie wszystkich to jednak przekonuje.

Fitoplankton potrzebuje mniej Si gdy ma pod dostatkiem Fe



W obecności żelaza stosunek zużycia N:Si przez okrzemki zmienia się z 4:1 do 1:1 co w epoce lodowej mogło „uwalniać” krzem, który mógł zwiększyć produktywność okrzemków w niższych szerokościach (dowód na nierównomierne ich zużycie powyżej). Okrzemki opadając na dno usuwają skuteczniej węgiel organiczny niż inne rodzaje fitoplanktonu.

Cyrkulacja oceaniczna i cykl węgla



Wykresy przedstawiają cyrkulację oceaniczną dla Atlantyku (po lewej) i Pacyfiku (po prawej) dla okresu współczesnego (dół) oraz stanu pośredniego (środek).

Intensywność koloru niebieskiego oznacza koncentrację biogenów i węgla nieorganicznego (czyli CO_2)

Skąd zmienność CO₂ między 200 a 280 ppm w epoce lodowej?

Przyczyny “fizyczne”:

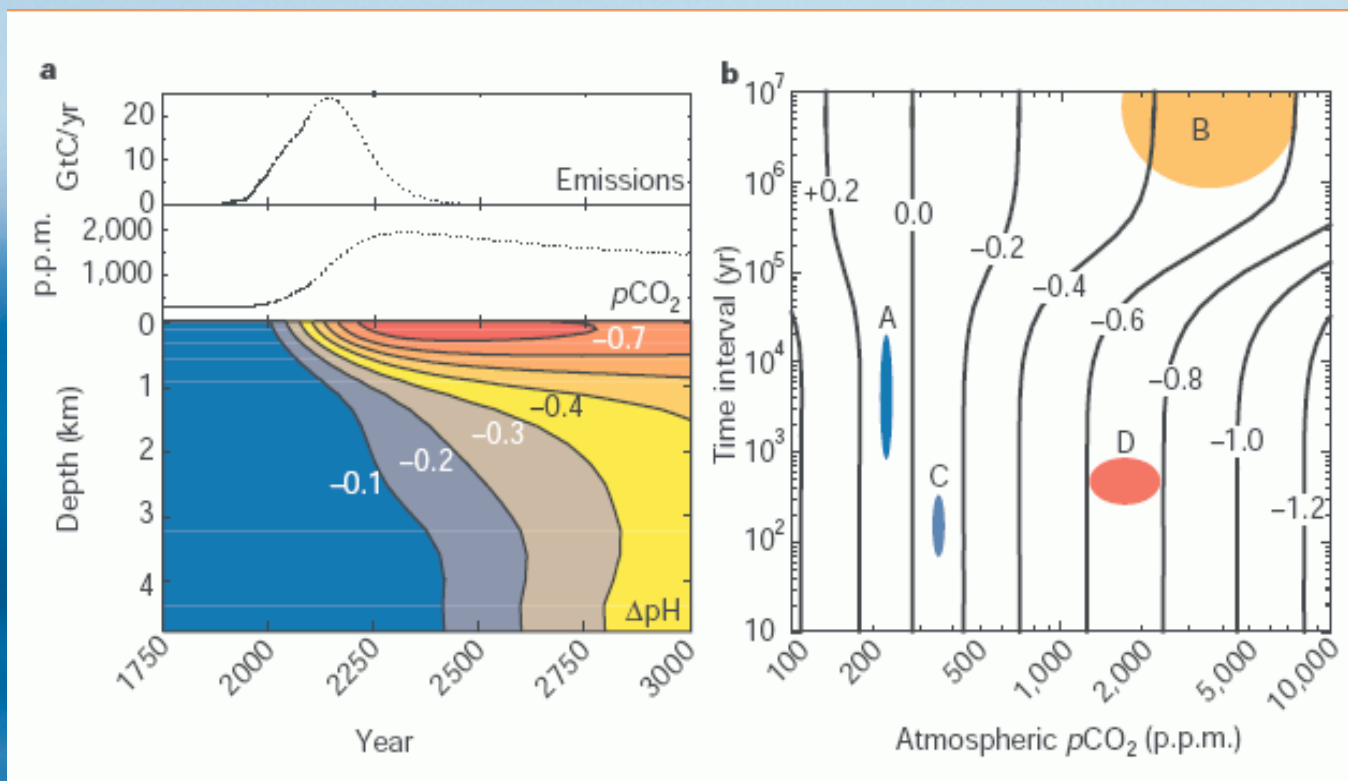
- Zmniejszona cyrkulacja głębinowa (THC) (Stephens & Keeling 2002)
- Pokrycie lodem części Mórz Wokółantarktycznych (Paillard Parenin 2004)
- Zwiększona stratyfikacja uniemożliwiająca CO₂ ucieczkę do atmosfery (Francois et al 1997, Sigman & Boyle 2000)

Przyczyny “biologiczne”:

- Użyźnianie żelazem przez pył niesiony wzmocnionymi wiatrami (Martin 1990)
- Wzbogacenie całego oceanu w “nutrienty” lub zmiany C:P:N (Broecker 1982)
- Lepsze zużycie “nutrientów” (na północ od stratyfikacji) (Francois et al. 1997)
- Zmiana stosunku CaCO₃ do C_{org} w “deszczu” opadającym na dno (Archer & Meier-Reimer 1994)
- “Wyciek” krzemu do niższych szerokości pod wpływem użyźniania żelazem (Matsumo et al 2002; Brzezinski et al. 2002)

W obecnej chwili wydaje się, że zmiany CO₂ może wyjaśnić jedynie jakaś kombinacja powyższych przyczyn fizycznych i biologicznych (mniej więcej po połowie).

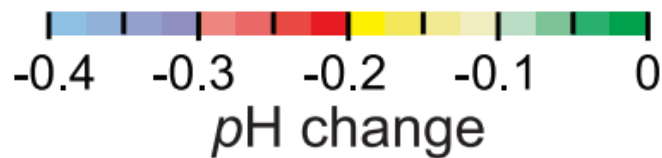
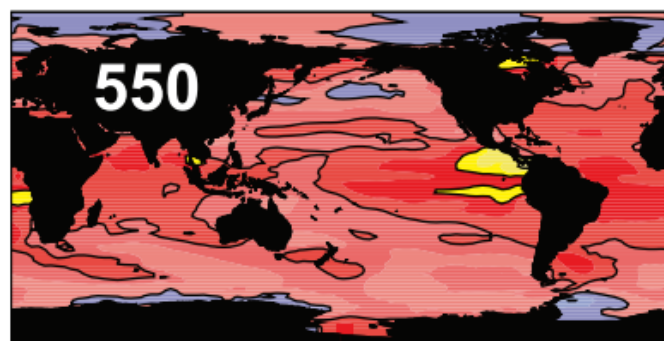
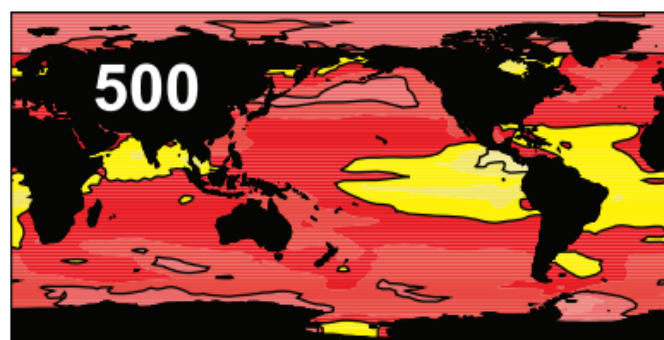
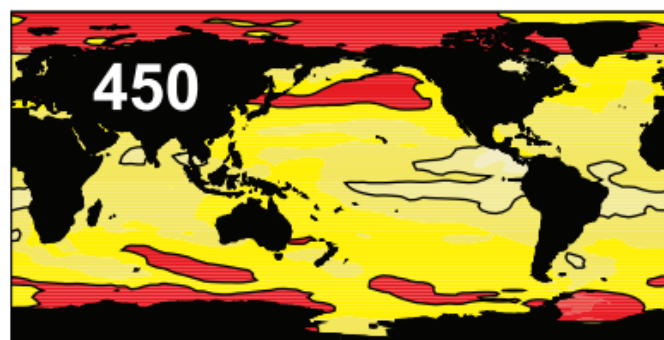
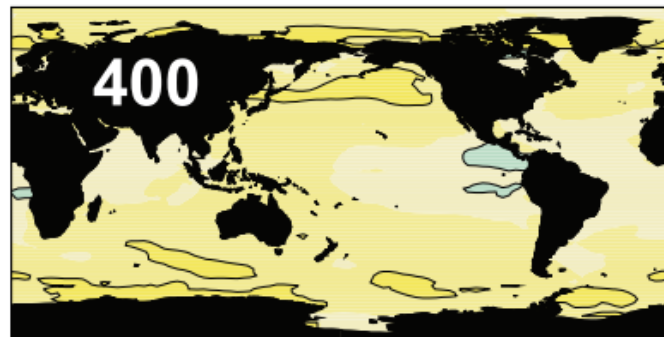
CO₂ : zakwasimy ocean?



- Prognoza emisji i koncentracji CO₂ oraz zmian pH oceanu
- Porównanie skali zmian w okresie lodowcowym (A), przez ostatnie 300 mln lat (B), zmiany w czasach historycznych (C) oraz zmiany prognozowane na najbliższe stulecia (D).

Zródło: *K. Caldeira & M.E. Wickett, 2003, Nature 425, 325-325*

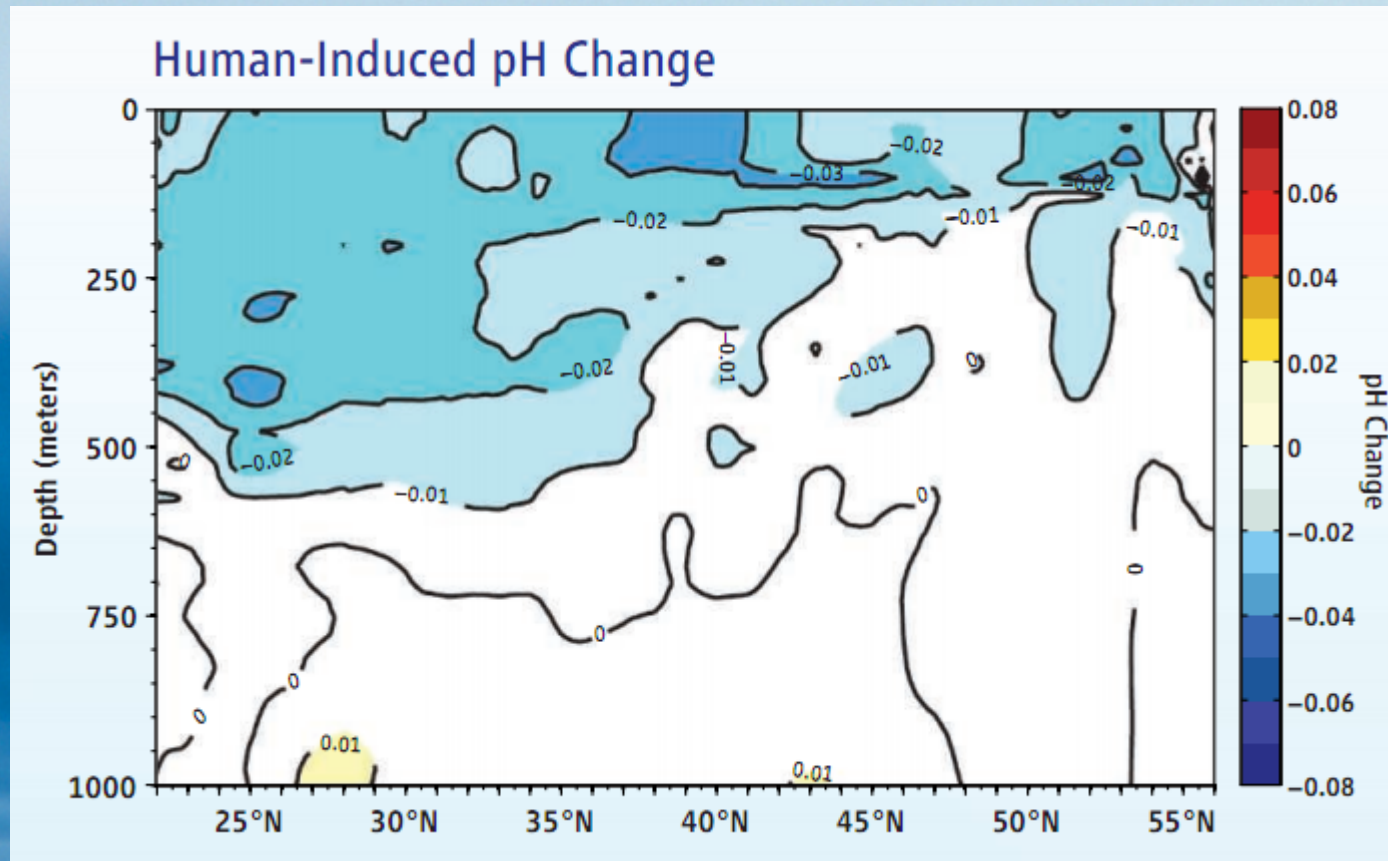
Przewidywane zmiany pH



W zależności od przewidywanej koncentracji CO_2 (w ppm) na której ustabilizujemy skład atmosfery, mapy pokazują “docelową” zmianę wartości pH wód powierzchniowych, w stosunku do wartości przed-przemysłowych.

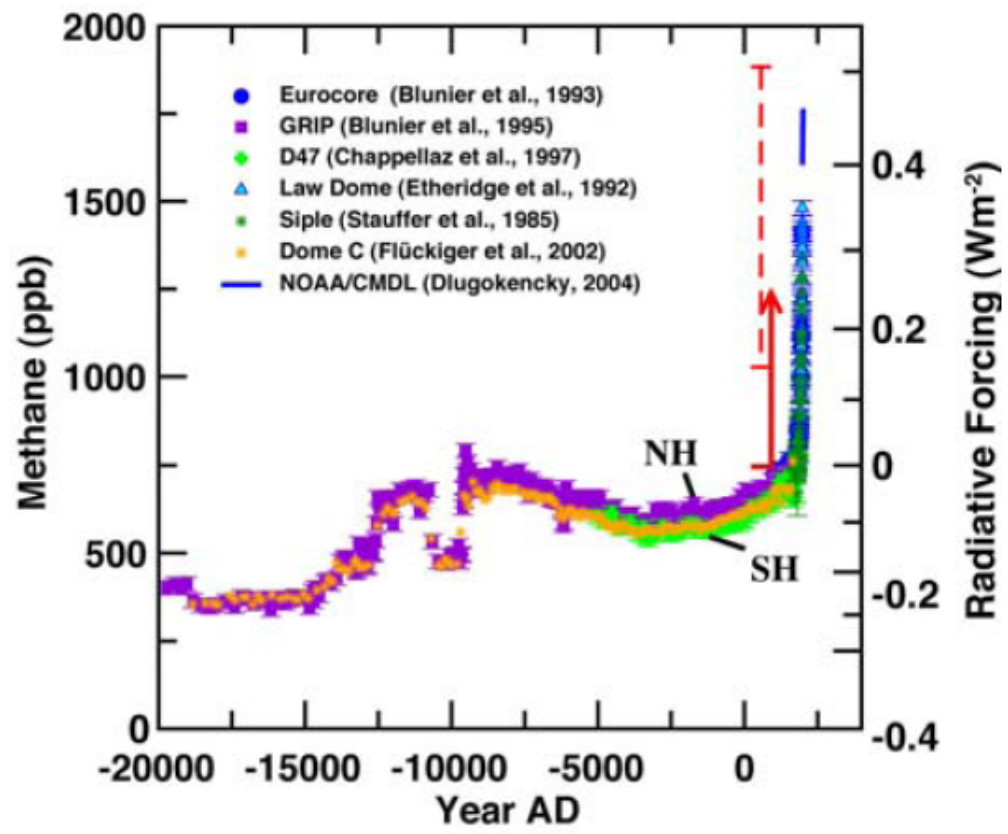
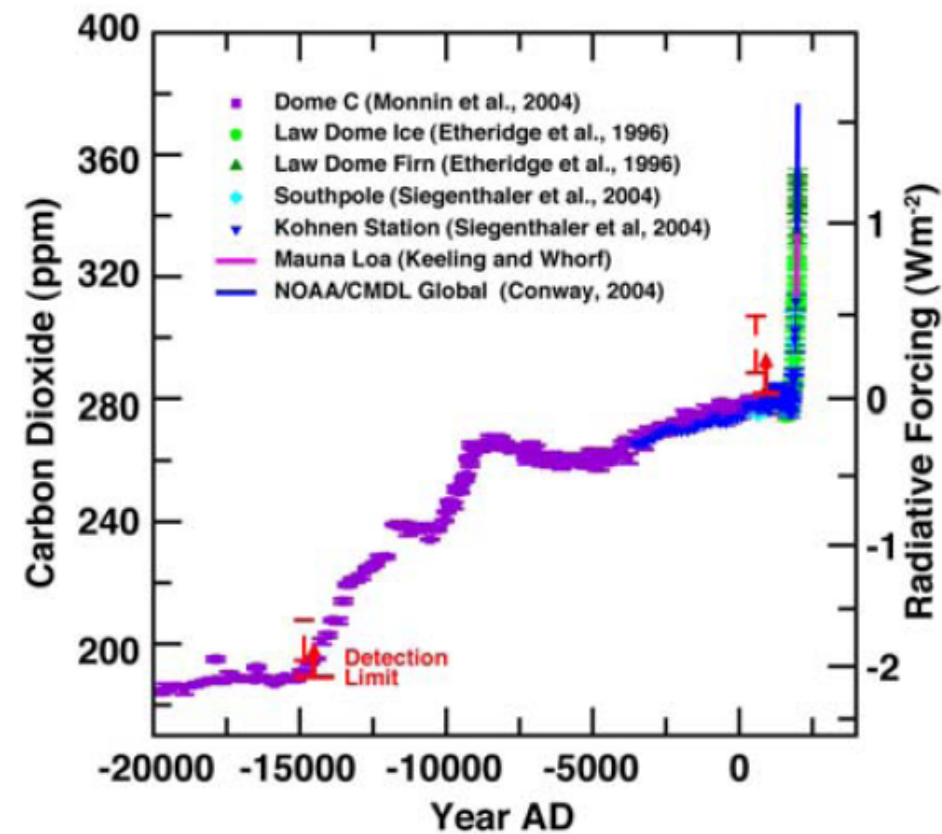
Wartość 400 ppm powinniśmy osiągnąć w roku 2015. Przy nie zmienionej emisji każdą następną co mniej więcej 25 lat.

Ale czy naprawdę zakwaszamy?



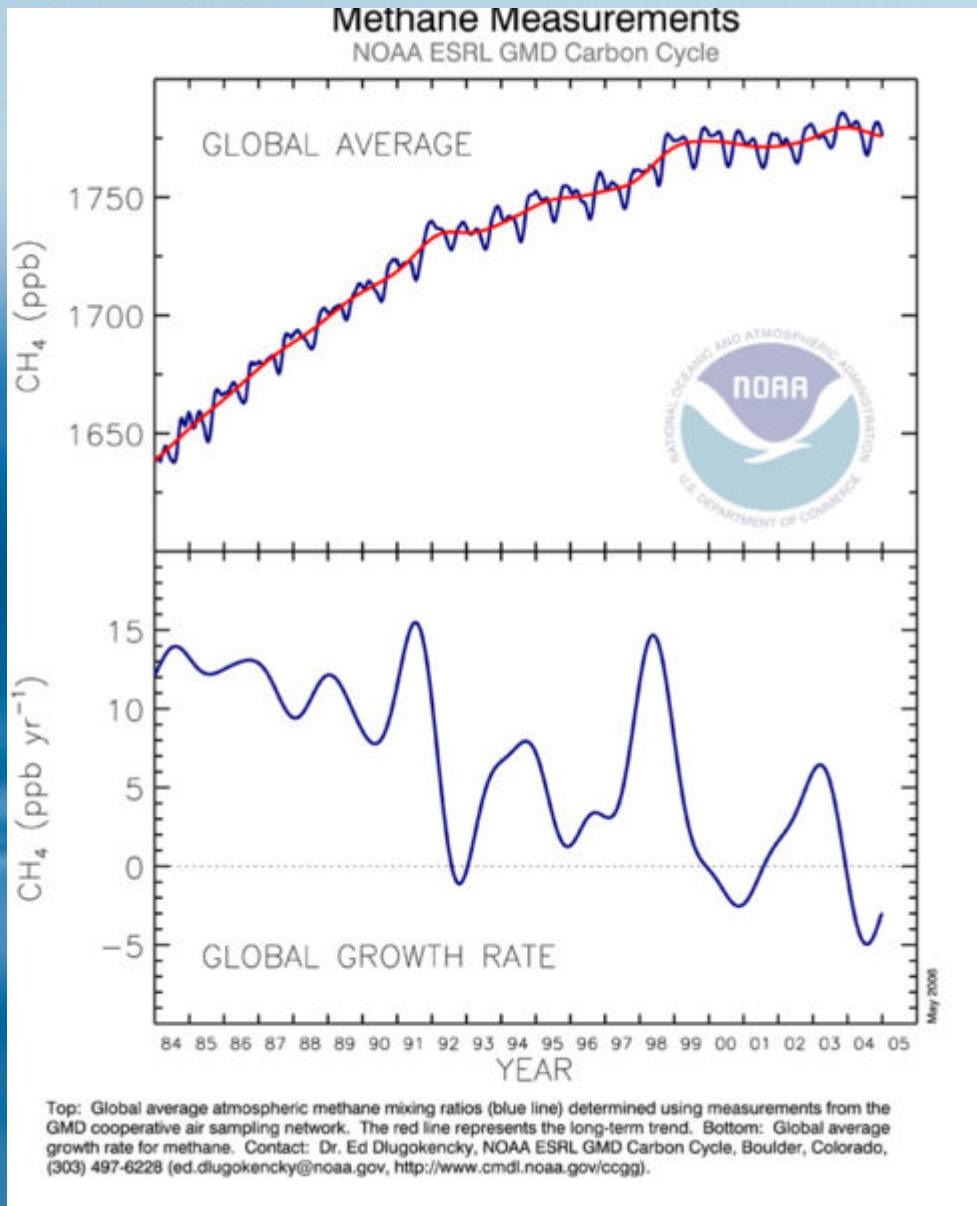
Powyżej pierwsze bezpośrednie pomiary zakwaszenia w skali basenu oceanicznego. Rysunek pokazuje zmiany pH w ciągu 15 lat (1991-2006) na profilu przez Północny Pacyfik, po odjęciu zmian naturalnych wynikających ze zmiany alkaliczności (składu chemicznego) itd.

CO₂ i CH₄ – jak wpływają na klimat?



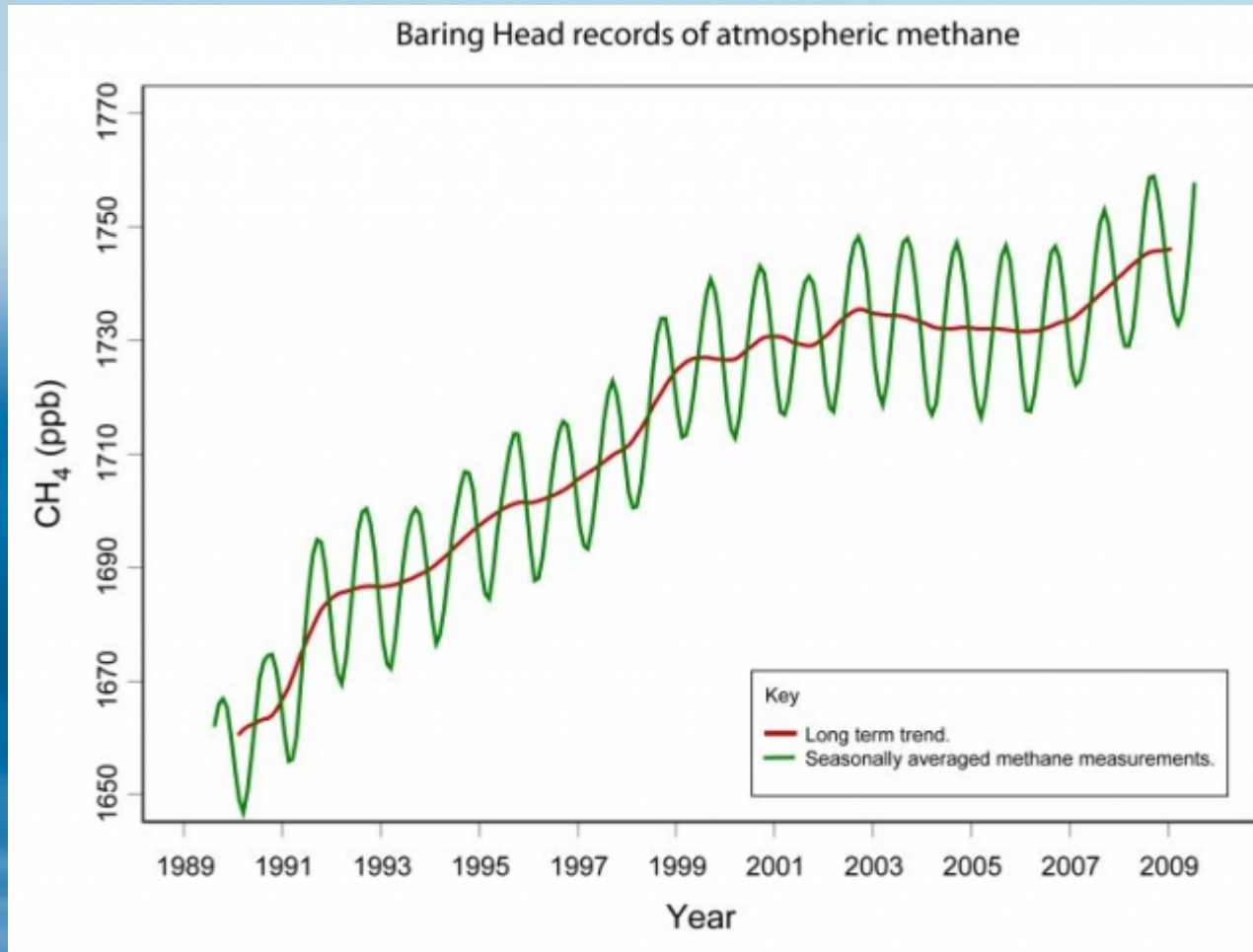
Metanu jest ok. 220 razy mniej w atmosferze niż dwutlenku węgla. Jednak jego większy efekt cieplarniany sprawia, że 20% antropogenicznego efektu cieplarnianego przypisujemy metanowi.

Metanu przyrasta coraz mniej?



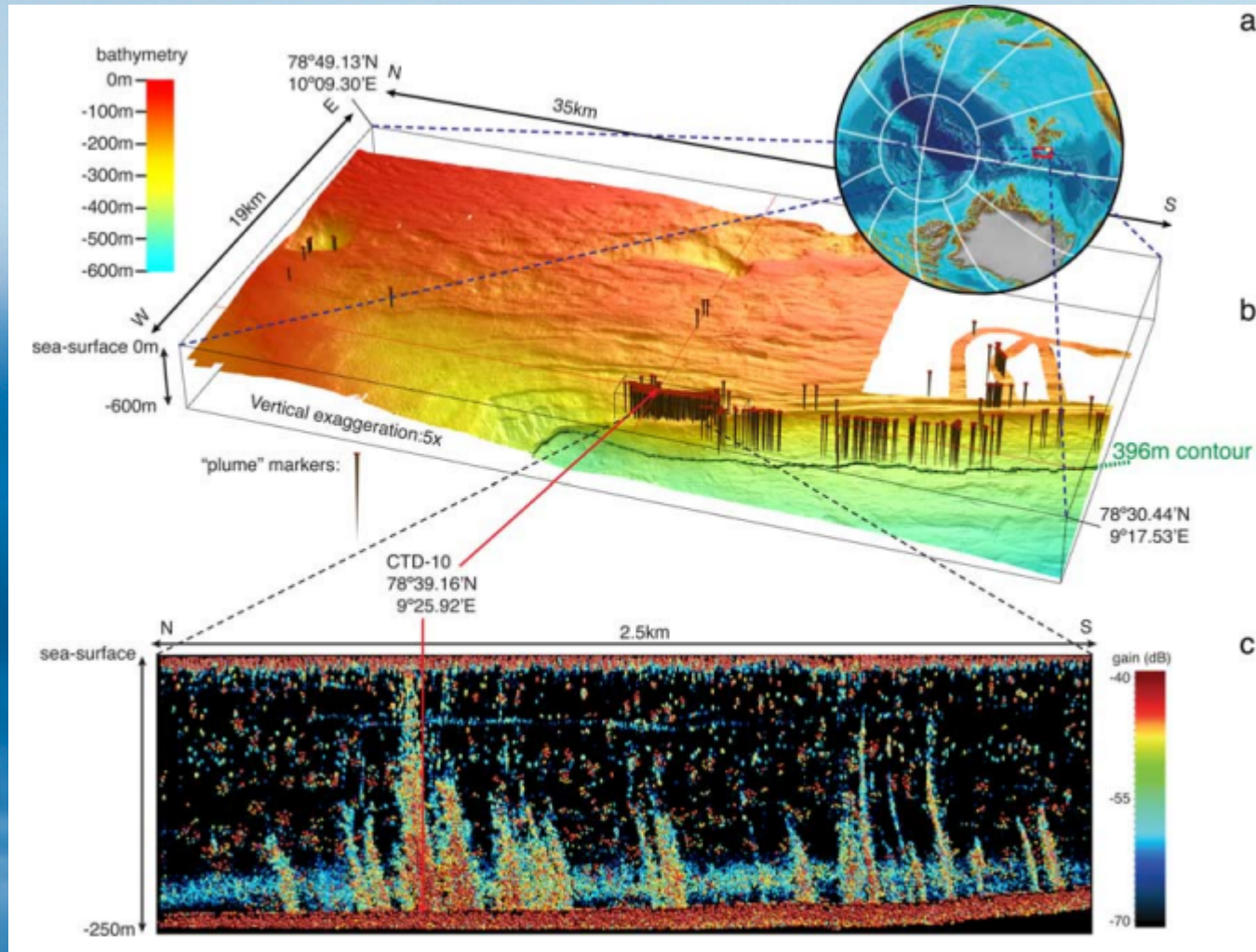
W przeciwieństwie do CO₂, atmosferyczna koncentracja metanu zaczyna się stabilizować (seria pomiarów koncentracji i wyliczony z nich roczny przyrost). Zatrzymanie zwiększania produkcji dotyczy szczególnie półkuli północnej.

...ale ostatnio jego koncentracja zaczęła znów wzrastać



Koncentracja metanu zaczęła znów wzrastać w 2008 roku. Jednym z podejrzanych jest topienie arktycznej wiecznej zmarzliny (permafrost), Istnieje jednak także kandydat morski: złoża klatratów pod dnem morza.

Metan z ogrzewanego dna oceanu



Klatraty metanowe występują w osadach zimnych mórz pod wysokim ciśnieniem. Wzrost temperatury np. Prądu Zachodniospitsberbeńskiego z 2 C do 3 C (mierzony między innymi przez IOPAN) powoduje zwiększenie głębokości stabilności klatratów z 360 do 396 m. Strumienie pęcherzyków metanu zostały tam zarejestrowane metodami akustycznymi.

Bilans metanu – stan wiedzy na koniec 2005 r.

a

Identified methane sources	Estimates ⁸	Range of estimates ²
Total wetlands	145	92-237
Rice agriculture	60	40-100
Ruminant animals	93	80-115
Termites	20	20-20
Biomass burning	52	23-55
Energy generation	95	75-110
Landfills	50	35-73
Ocean	10	10-15
Hydrates (marine and terrestrial)	5	5-10
Total identified sources	530	500-600

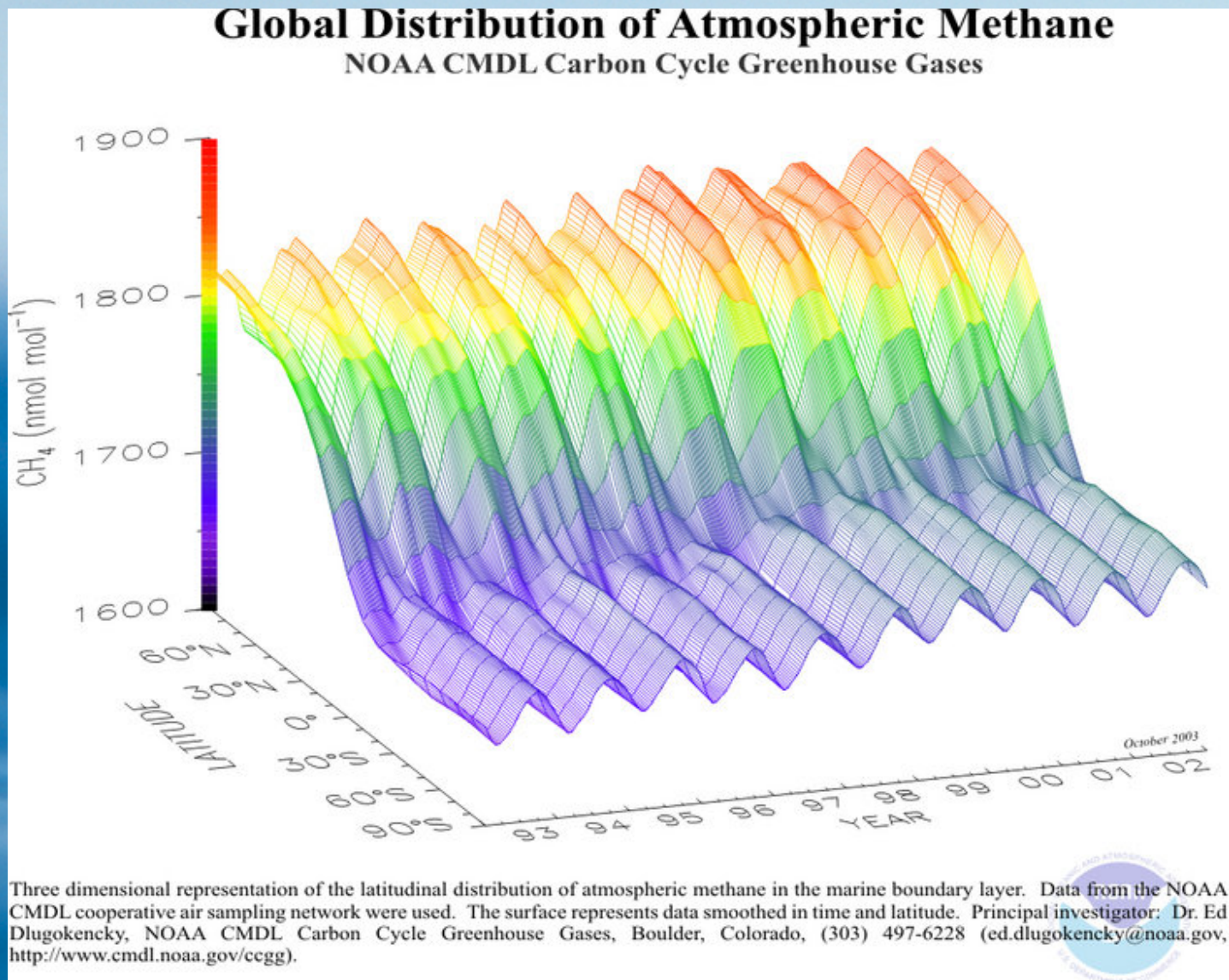
b

Identified methane sinks	Estimates	Range of estimates
Tropospheric oxidation	507	450-510
Stratospheric loss	40	40-46
Soils	30	10-44
Total identified sinks	577	460-580

Total sources-sinks	-47	-80 to +140
----------------------------	------------	--------------------

Wartości w milionach ton metanu na rok.

Geografia metanu



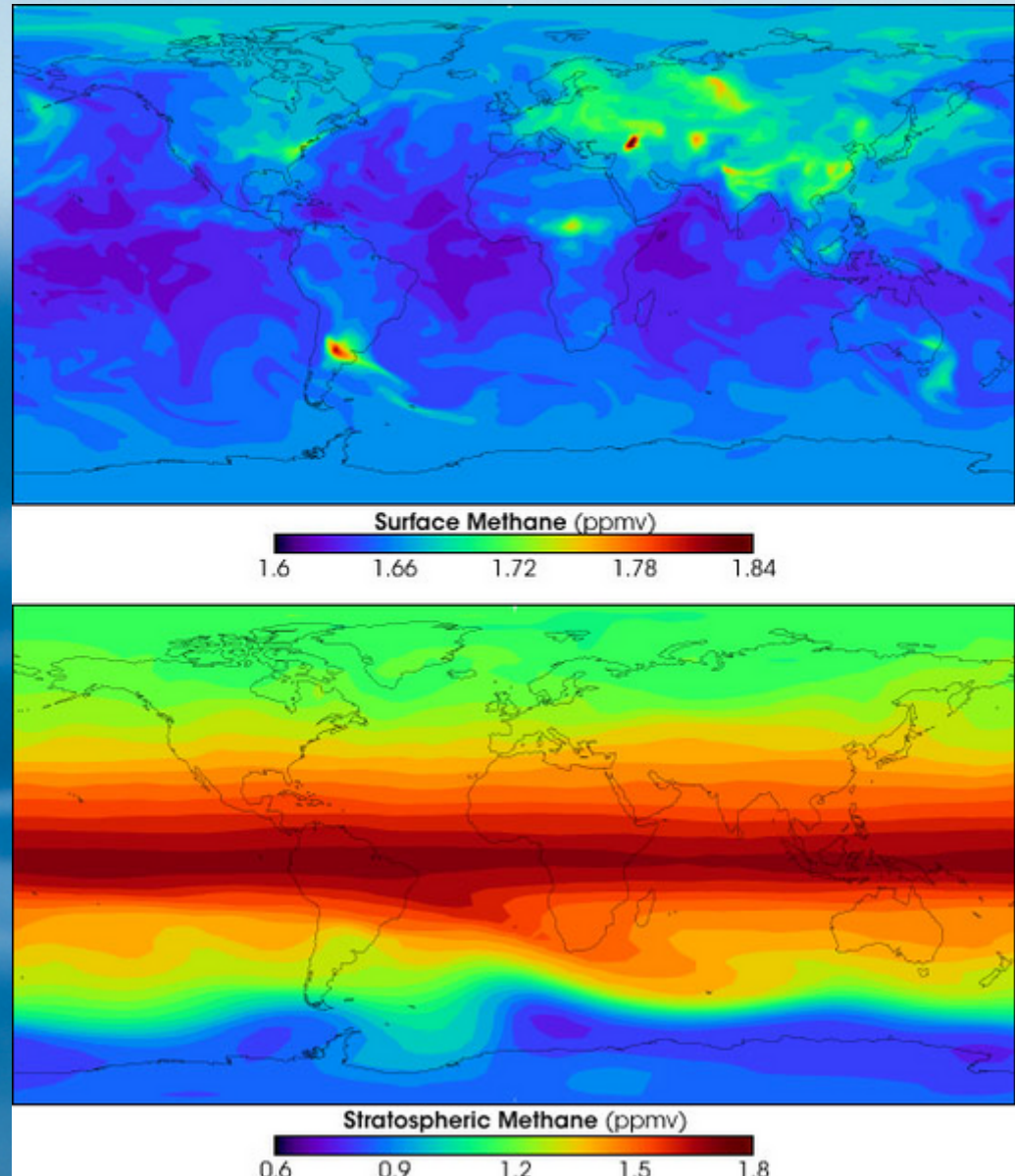
Ponieważ większość źródeł metanu jest na półkuli północnej a jego czas życia w atmosferze jest krótki (kilka lat), koncentracja nad półkulą północną jest stale większa niż nad południową przy odwrotnie skierowanych zmianach sezonowych). Na rysunku koncentracja w morskiej warstwie przejściowej.

Geografia metanu: model

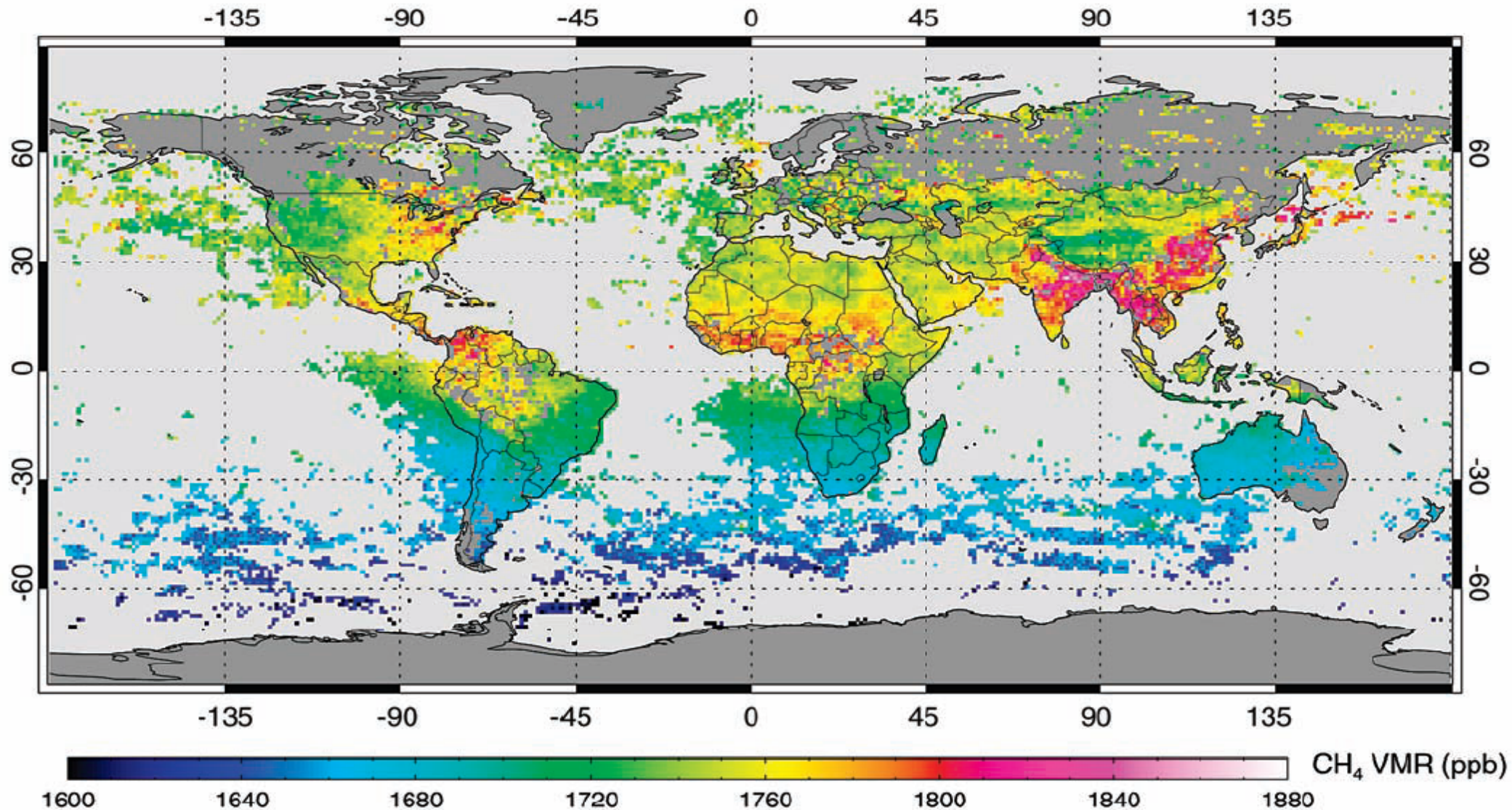
W produkcji metanu (koncentracji przy owierzceni Ziemi) dominują źródła lądowe.

W stratosferze metan utrzymuje się głównie w tropikach.

Rysunek jest wynikiem modelowania.



Geografia metanu: obserwacja

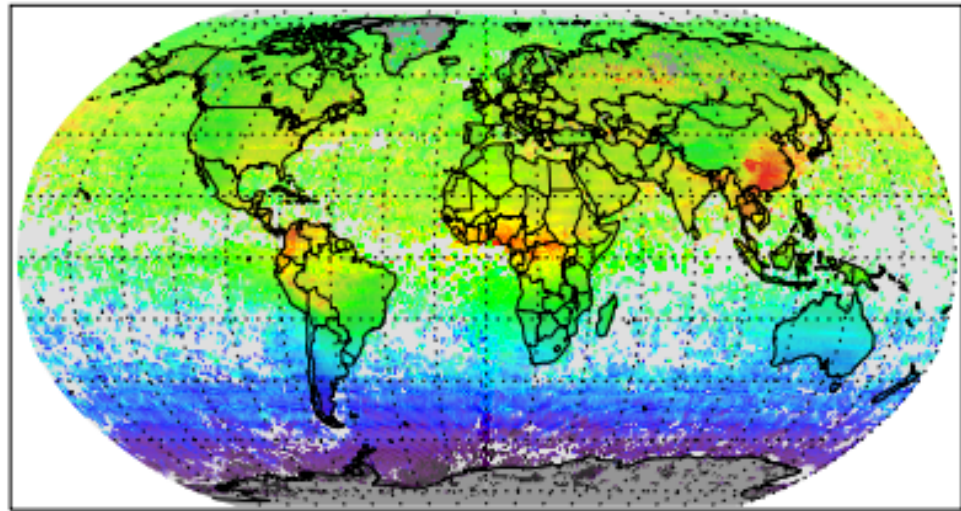


Koncentracja metanu zmierzona sensorem SCIAMACHY satelity ENVIAT. Zwraca uwagę niespodziewana wysoka koncentracja nad dzunglami tropikalnymi. Badania laboratoryjne (Keppler et al. 2006) potwierdzaja, ze drzewa liściaste produkują metan (globalnie 63-243 mln t / rok !).

Frankenberg et al. 2005 (Science)

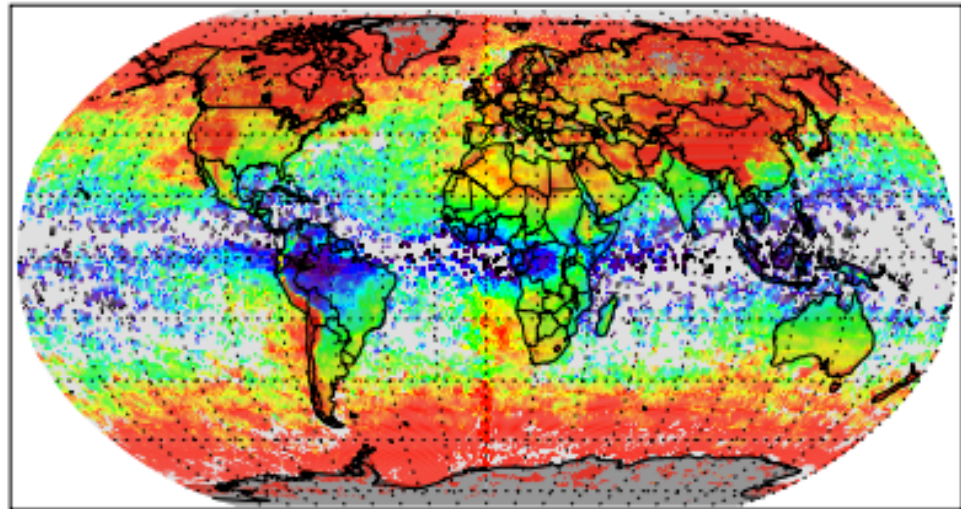
Geografia metanu: poprawka

SCIAMACHY column averaged mixing ratio



CH₄ xVMR [ppb]

1630. 1660. 1690. 1720. 1750. 1780. 1810.

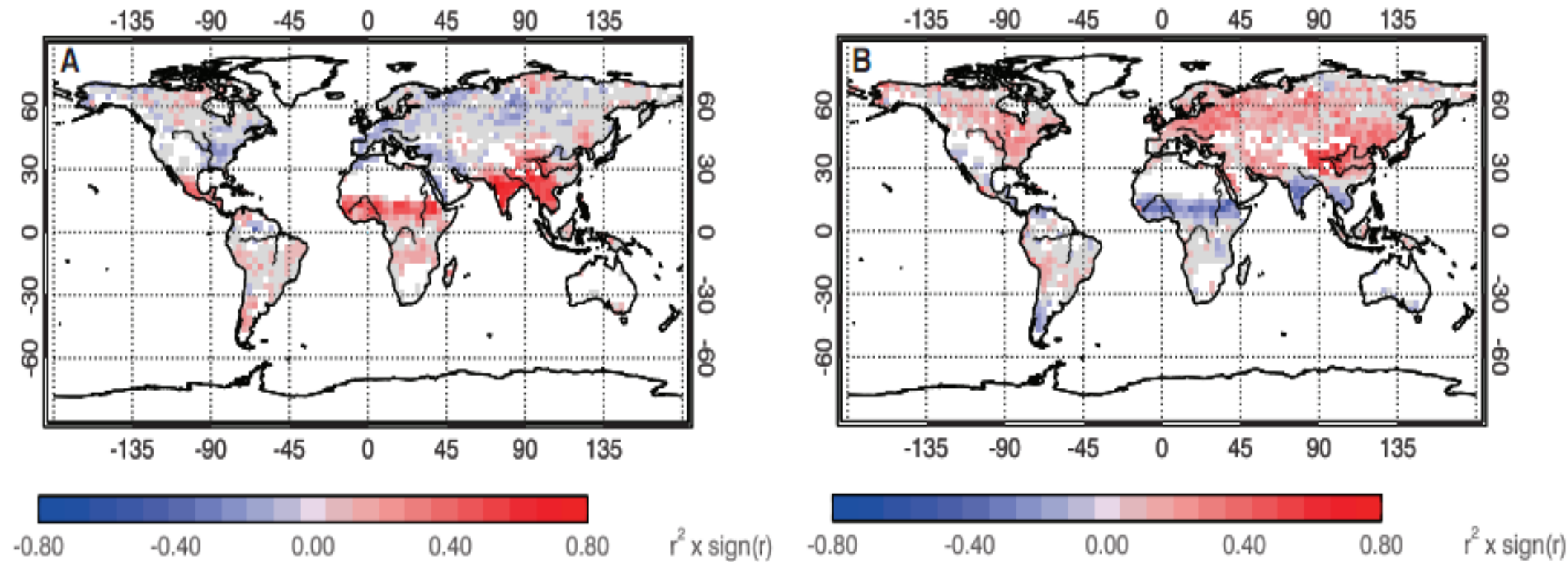


Δ CH₄ xVMR [ppb]

-60. -50. -40. -30. -20. -10. 0.

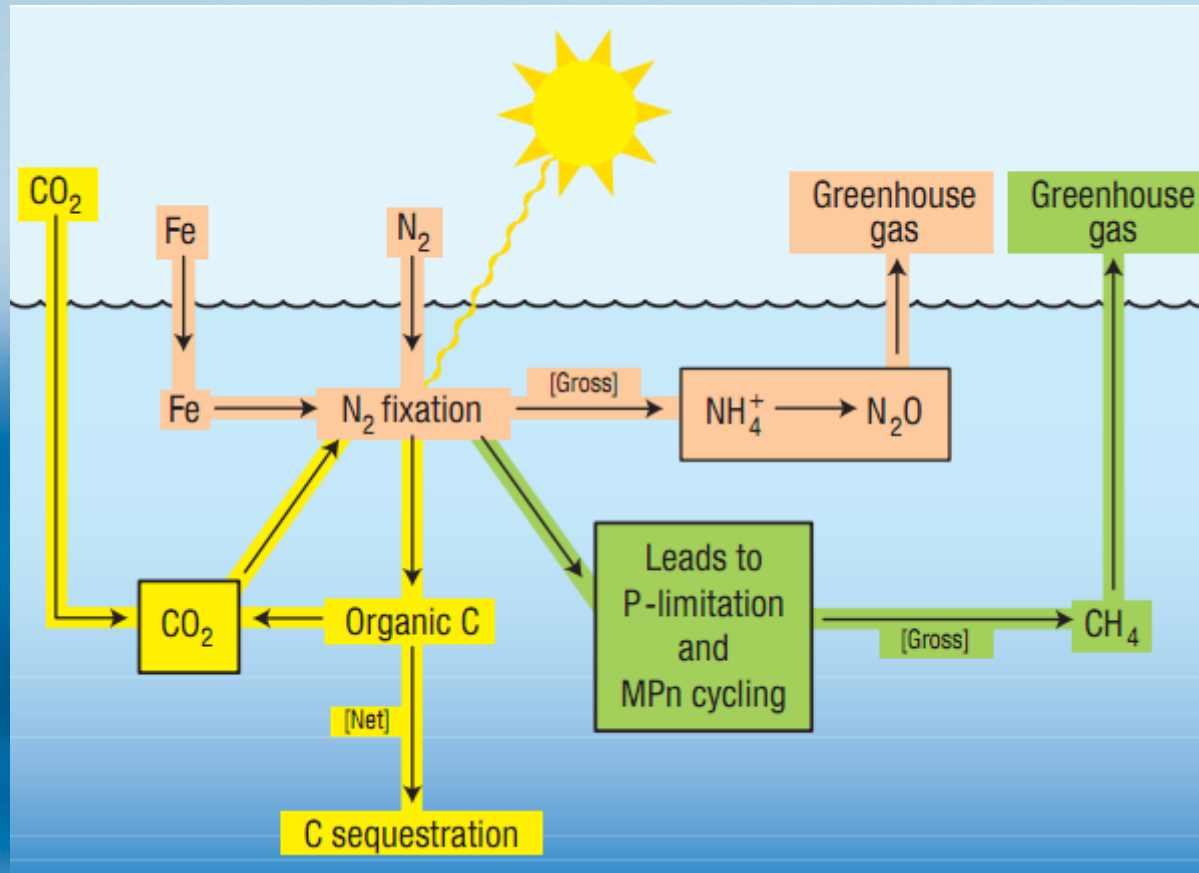
Po opublikowaniu klimatologii koncentracji metanu zmierzonej sensorem SCIAMACHY satelity ENVISAT okazało się, że część sygnału (szczególnie w tropikach) spowodowane było nieznanymi wcześniej pasmami absorpcyjnymi pary wodnej (poprawiona klimatologia na górze). Poprawka jest szczególnie duża nad dżunglami tropikalnymi (poprawka na dole), jednak wartości są tam nadal nadspodziewanie wysokie

Geografia metanu: jednak mokradła



Analiza koncentracji metanu zmierzonej sensorem SCIAMACHY satelity ENVISAT oraz pomiarów grawimetrycznych misji GRACE (masa wód gruntowych) pokazuje, że dwa czynniki tłumaczą prawie całą produkcję metanu: ilość wód gruntowych przeliczonych na słup wody (po lewej) kontroluje produkcję metanu w tropikach a temperatura (po prawej) poza tropikami. Co ciekawe te dwa parametry najslabiej tłumaczą zmienność w górnej Amazonii, tam gdzie rosną bromeliowate! Autorzy ocenili, że globalne ocieplenie spowodowało wzrost emisji metanu z mokradeł o 7% w latach 2003-2007, głównie w szerokościach umiarkowanych i w Arktyce.

Produkcja metanu w oceanie w obecności tlenu?



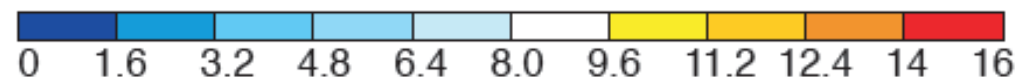
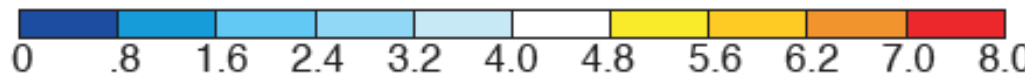
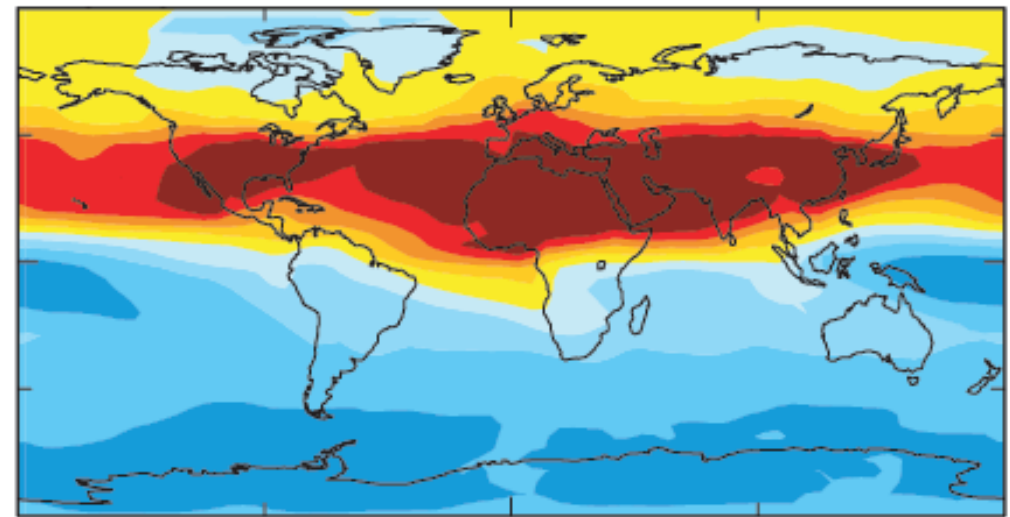
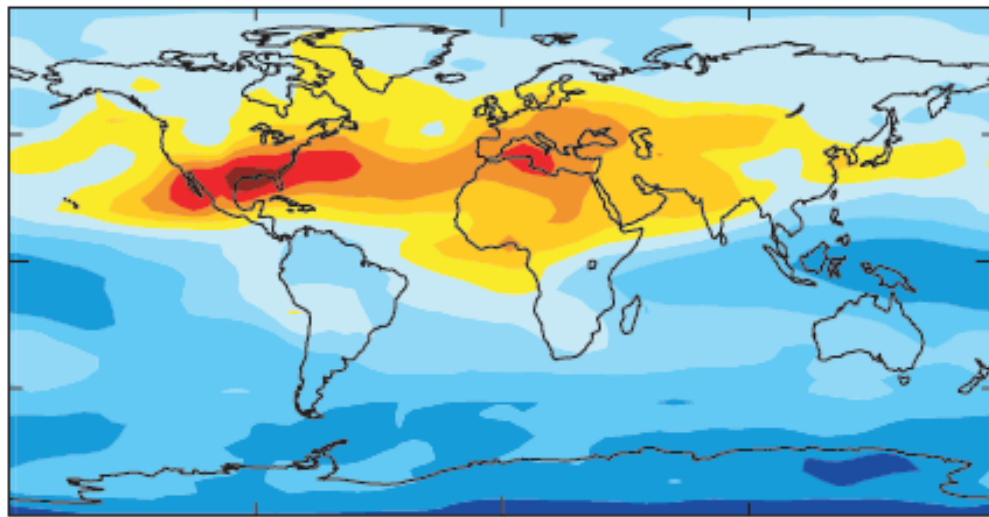
Okazuje się, że w wypadku gdy fosfor jest pierwiastkiem limitującym produkcji pierwotna w oceanie, możliwa jest produkcja metanu w wodzie morskiej przez bakterie wykorzystujące metylofosfonian (methylphosphonate) będący jednym z produktów rozkładu komórek fitoplanktonu. Proces ten wykryto w warunkach laboratoryjnych i nie jest jasne ile z produkowanego w warunkach morskich metanu przedostaje się do atmosfery.

20th Century Ozone Increases



1890 to 1950

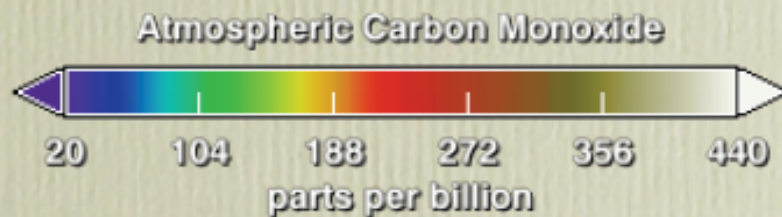
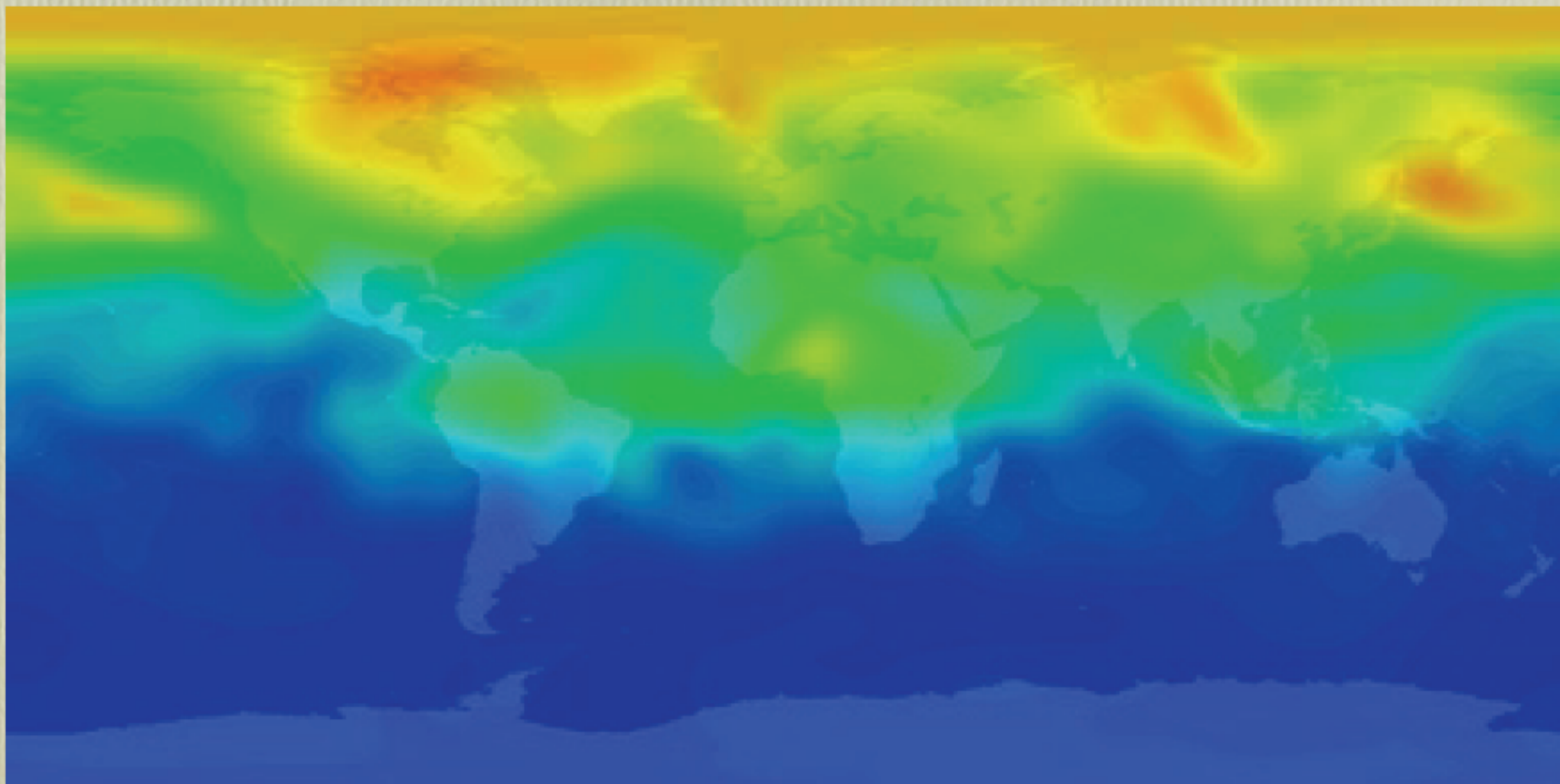
1950 to 1990



Values are for the tropospheric ozone column
(in Dobson Units)

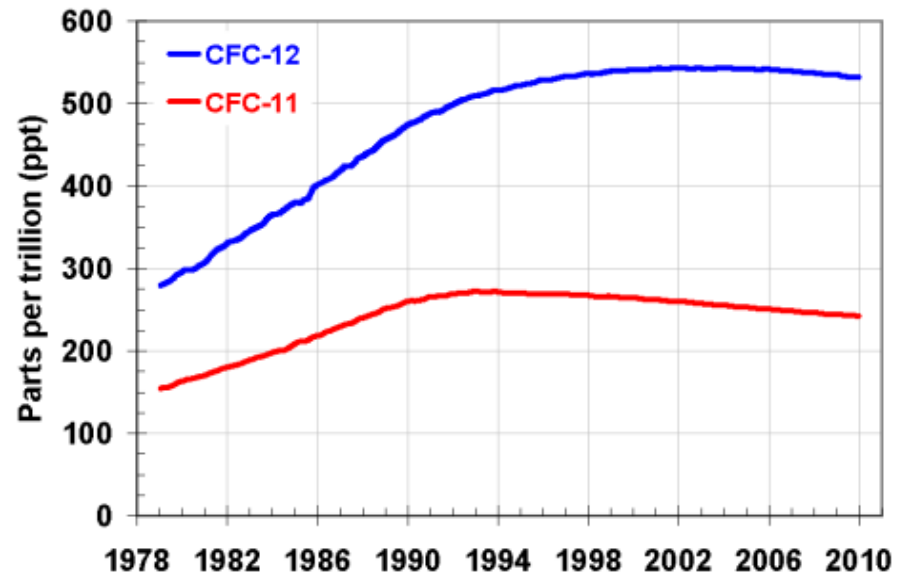
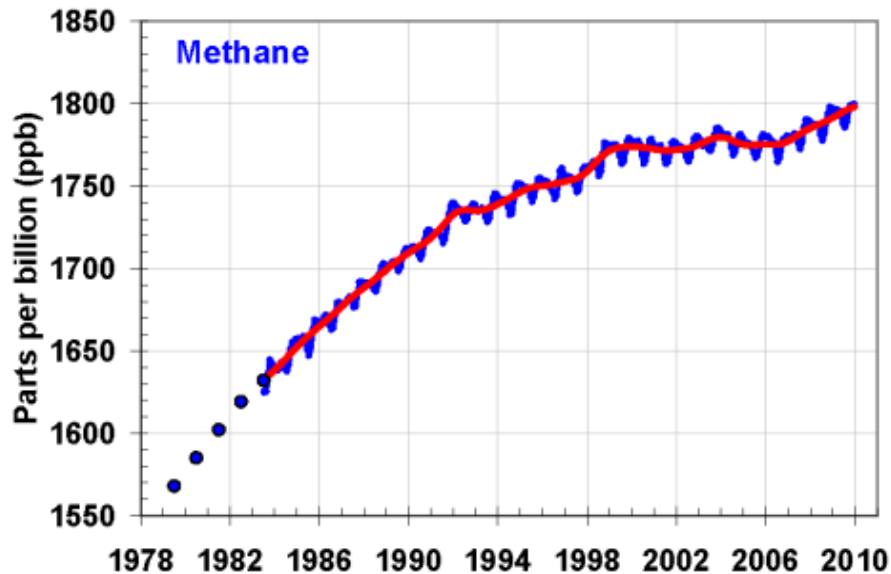
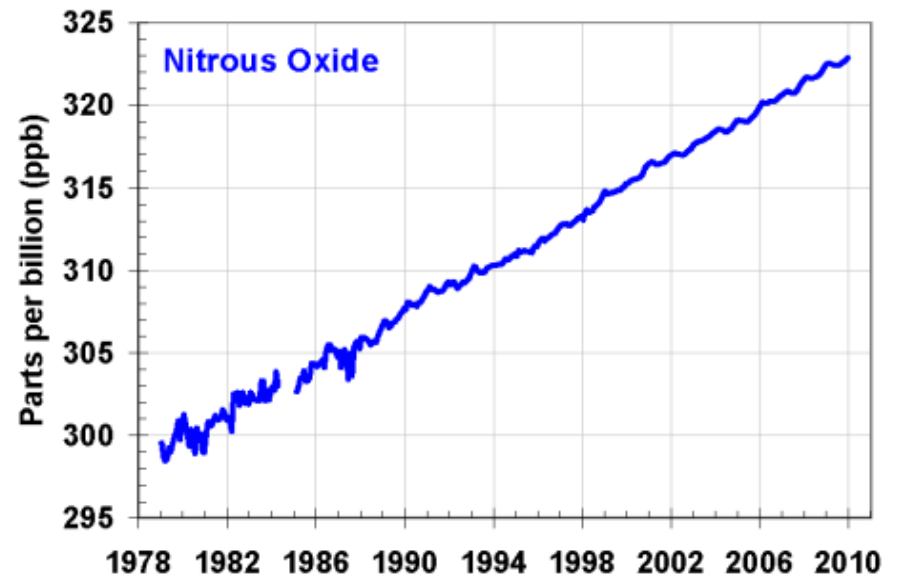
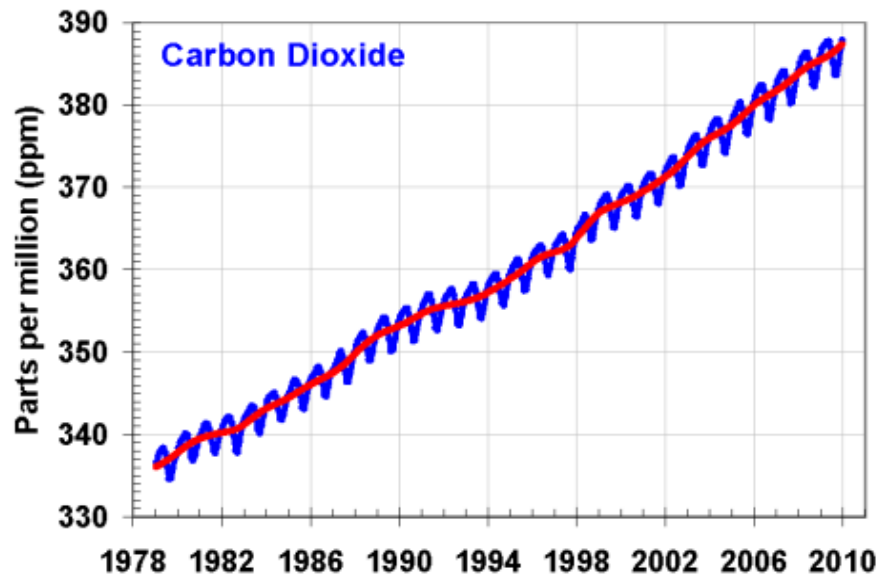
All values are positive. Scale x2 on right.

MOPITT CO, Mar-Dec 2000, ~5 km

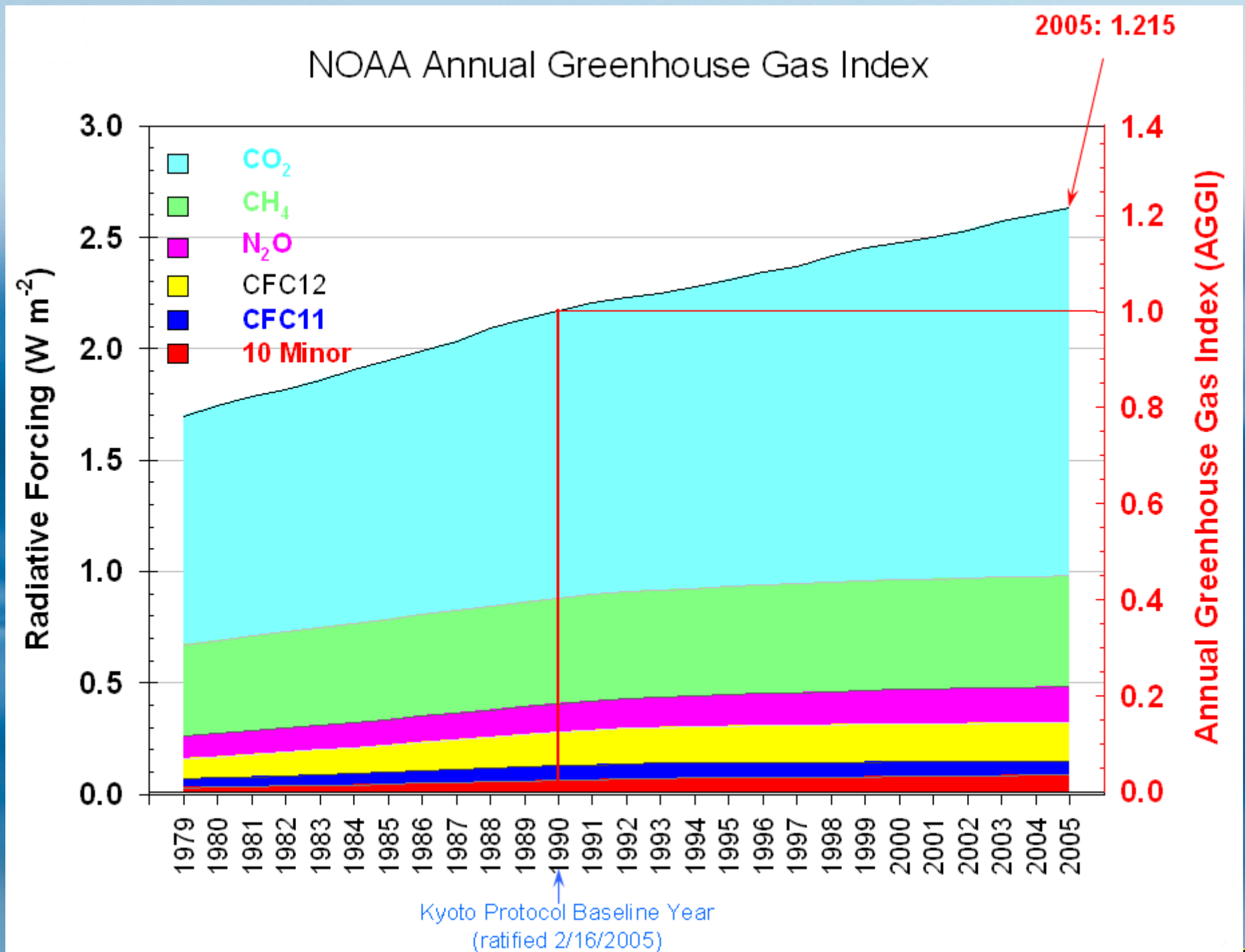


NASA GSFC

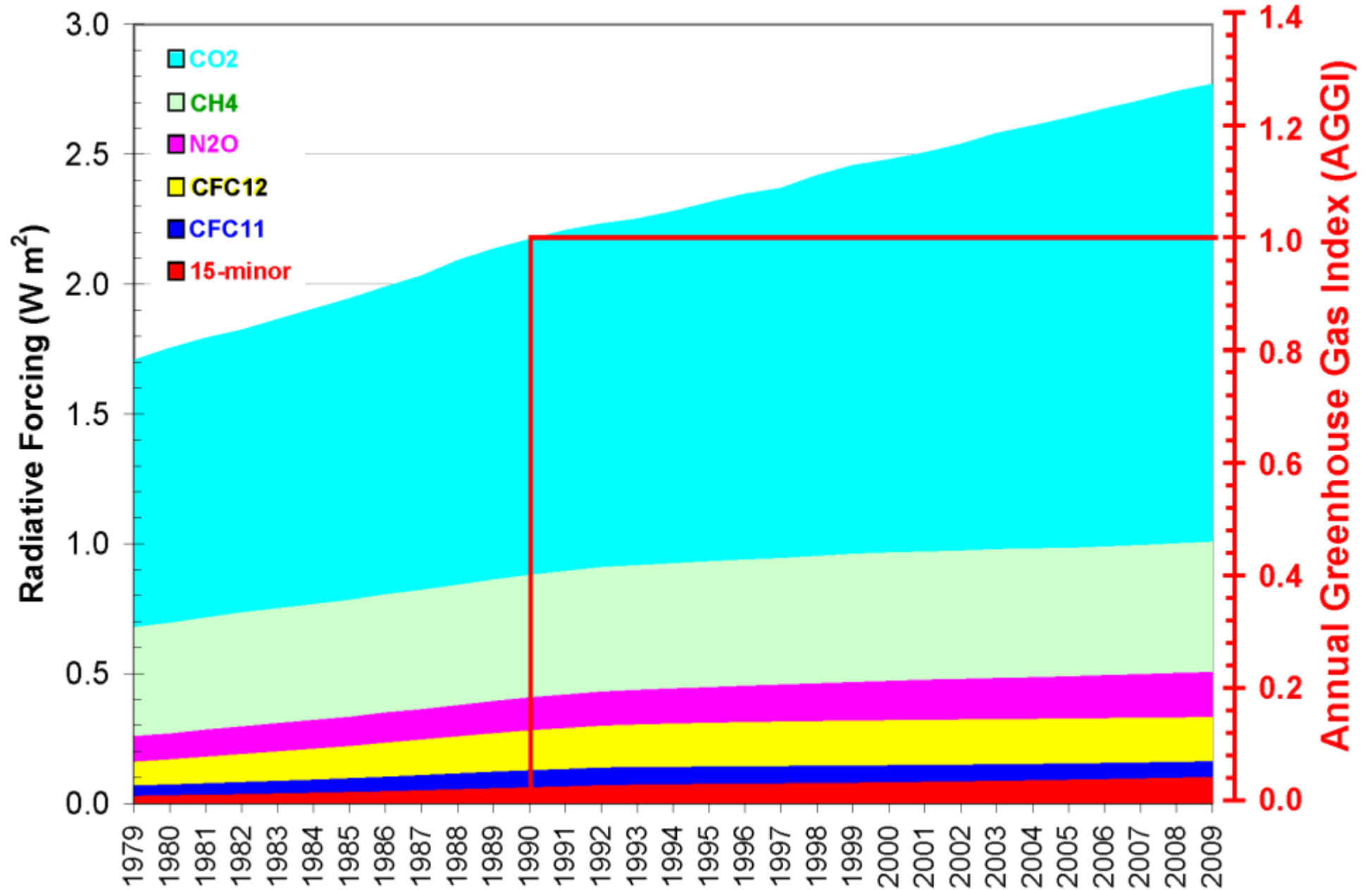
Koncentracja gazów o znaczeniu klimatycznym 1978-2010



Antropogeniczne wymuszanie radiacyjne 1979-2005

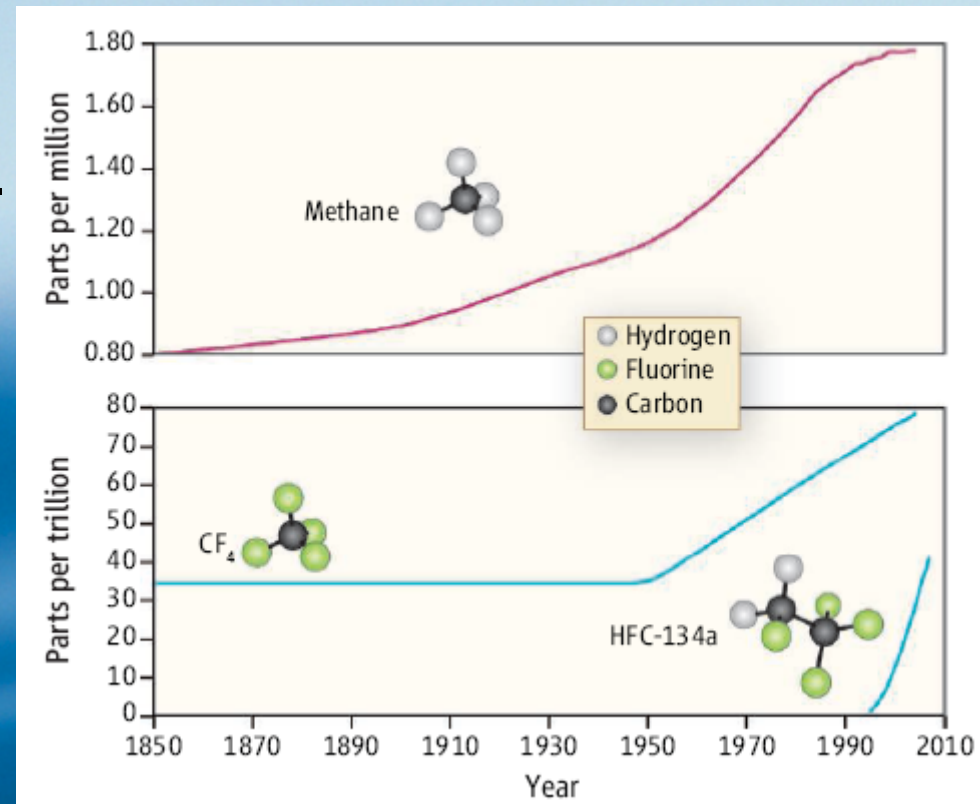


Antropogeniczne wymuszanie radiacyjne 1979-2010



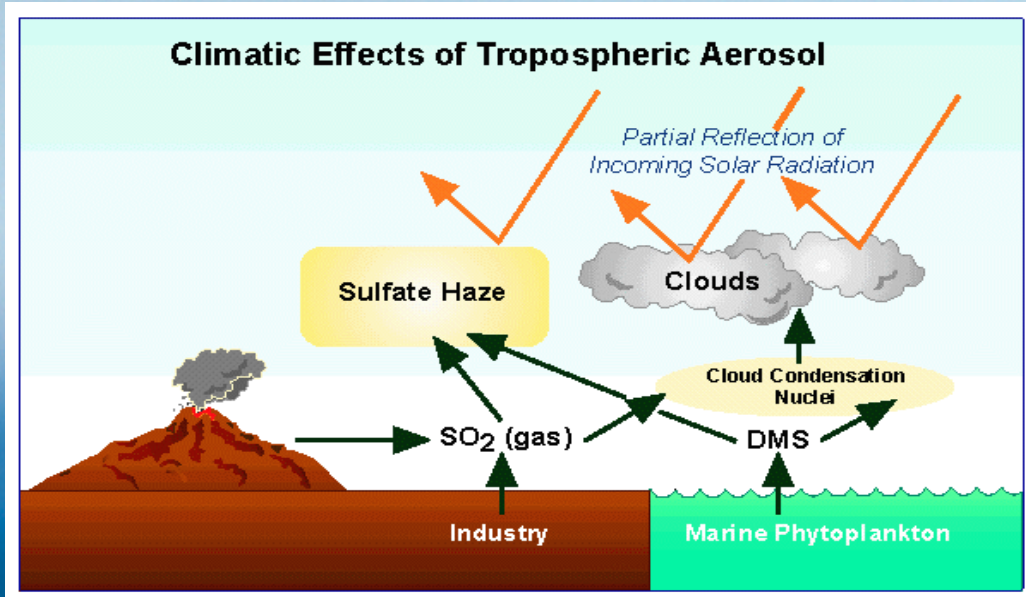
Podsumowanie 2/3

- Kolejnym najważniejszym gazem cieplarnianym jest metan. Jedynie ok. 10% jest pochodzenia morską. Większość produkowana jest na lądach, głównie półkuli północnej.
- Koncentracja metanu po stabilizacji kilka lat temu zaczęła znów rosnać.
- Trzecim najważniejszym antropogenicznym gazem cieplarnianym jest tlenek azotu (NO), produkowany głównie przez rolnictwo, a w mniejszym stopniu silniki spalinowe.
- Znaczenie klimatyczne freonów (głównie CFC-12 i CFC-11) na szczęście maleje gdyż związków tych się już nie używa w przemyśle.
- Freony i tlenek azu dodatkowo mają niszczący wpływ na dziurę ozonową.

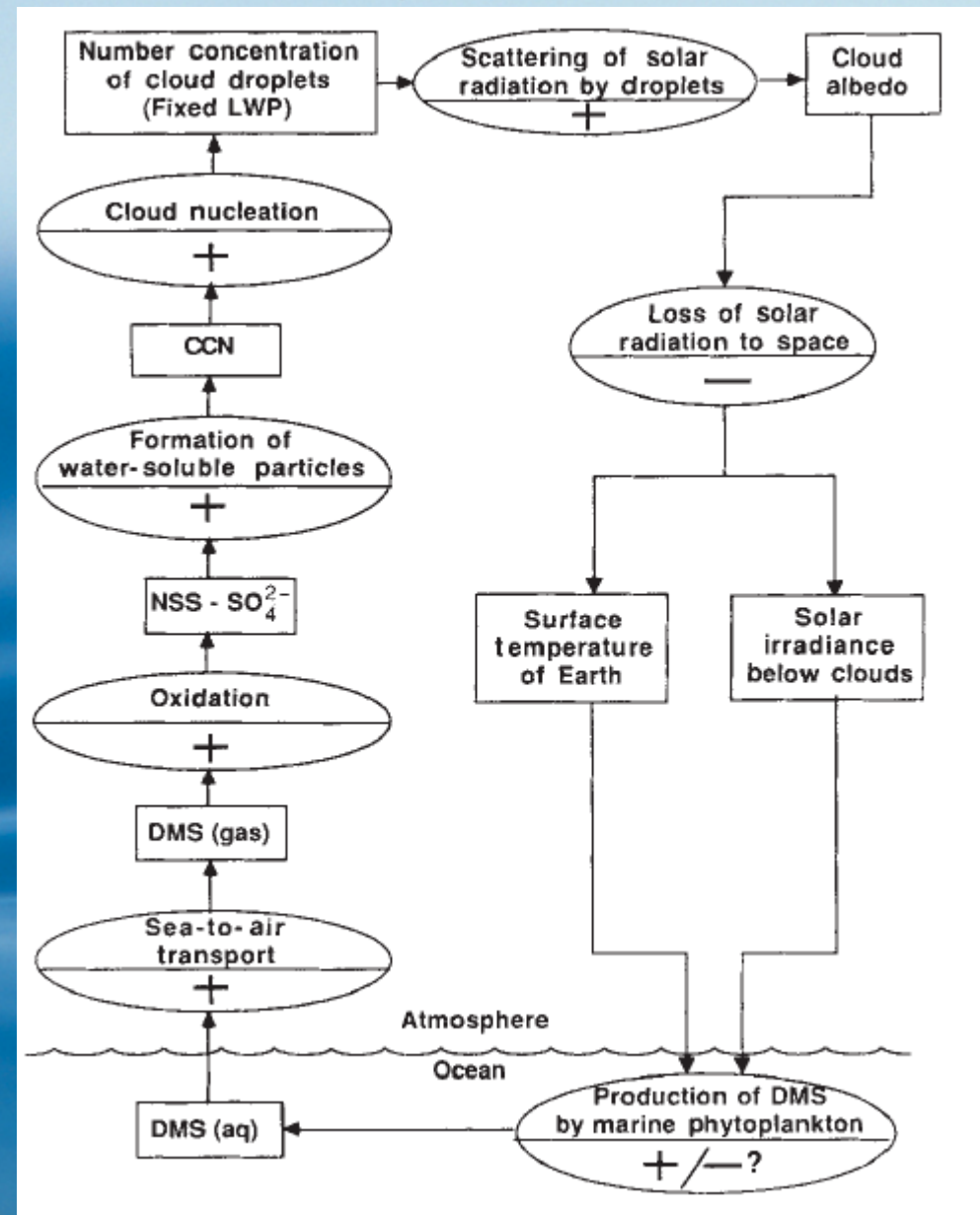


CO₂ to nie wszystko: koncentracja trzech innych gazów cieplarnianych (Shine & Sturges 2007)

DMS a klimat: hipoteza CLAW

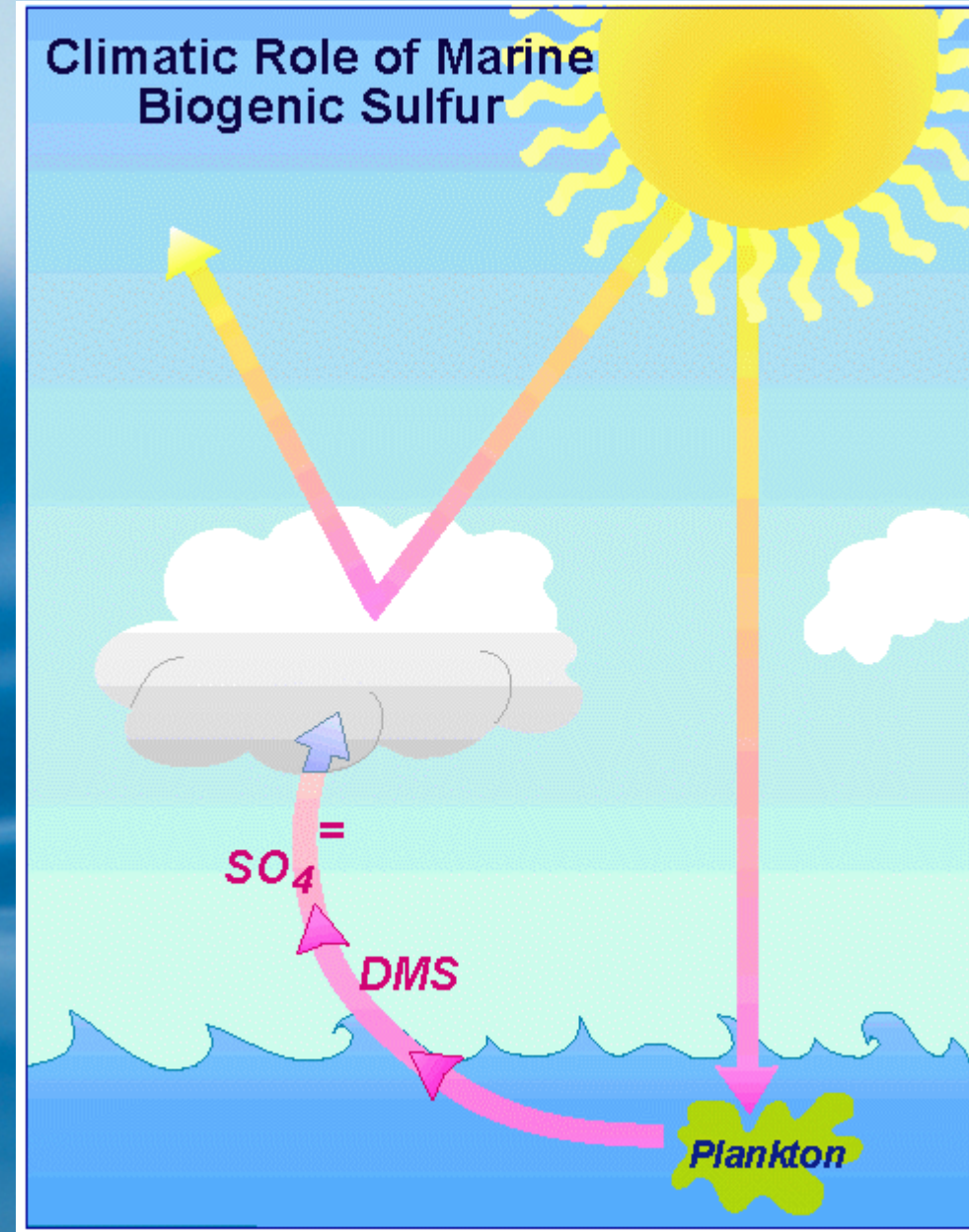
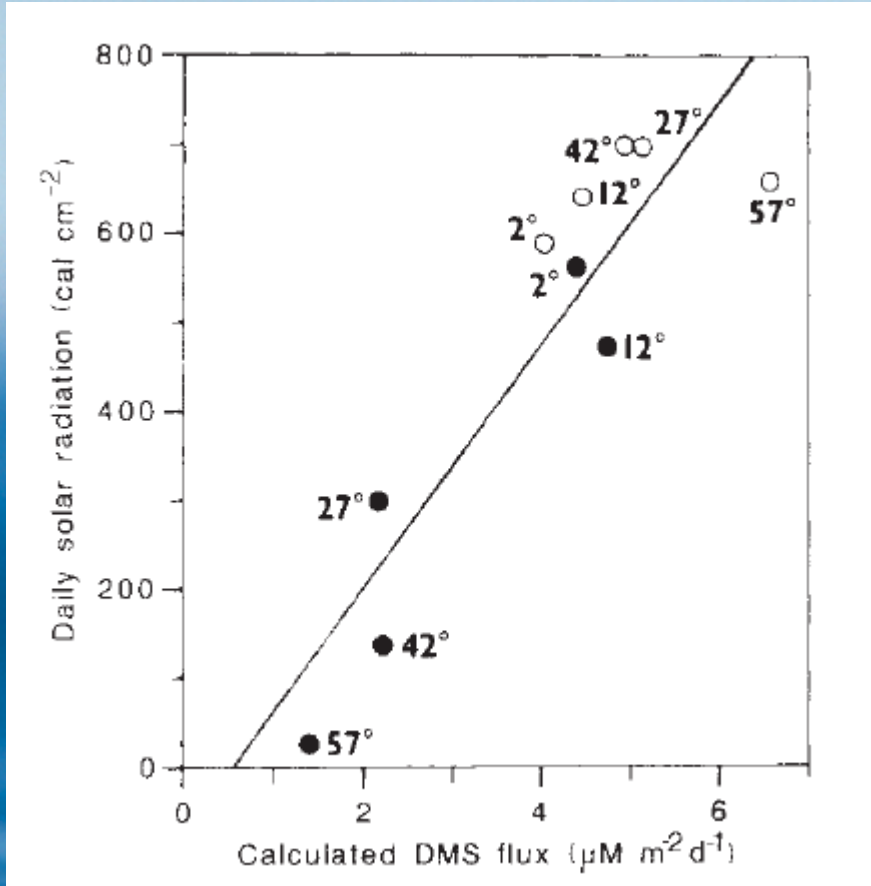


Od roku 1972 (Lovelock et al.) wiemy, że źródłem siarki w atmosferze jest w dużym stopniu siarczek dimetylowy (DMS) produkowany przez fitoplankton. Siarka ta jest zaczynem aerozolu i jądrami kondensacji chmur, chłodząc planetę. W 1987 CLAW zaproponowali mechanizm sprzężenia zwrotnego, w którym fitoplankton reguluje klimat.



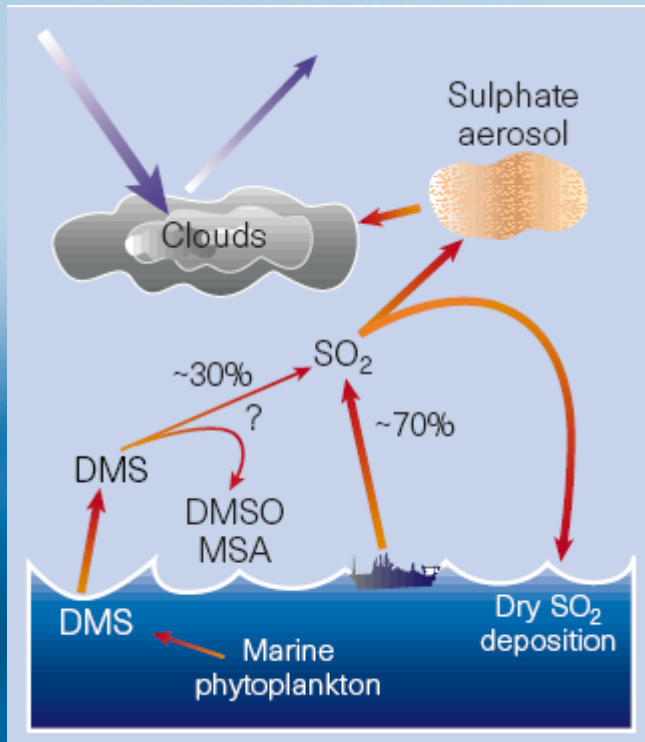
CLAW = Charlson, Lovelock, Andreae & Warren 1987 (Nature)

Sprzężenie zwrotne odkryte?

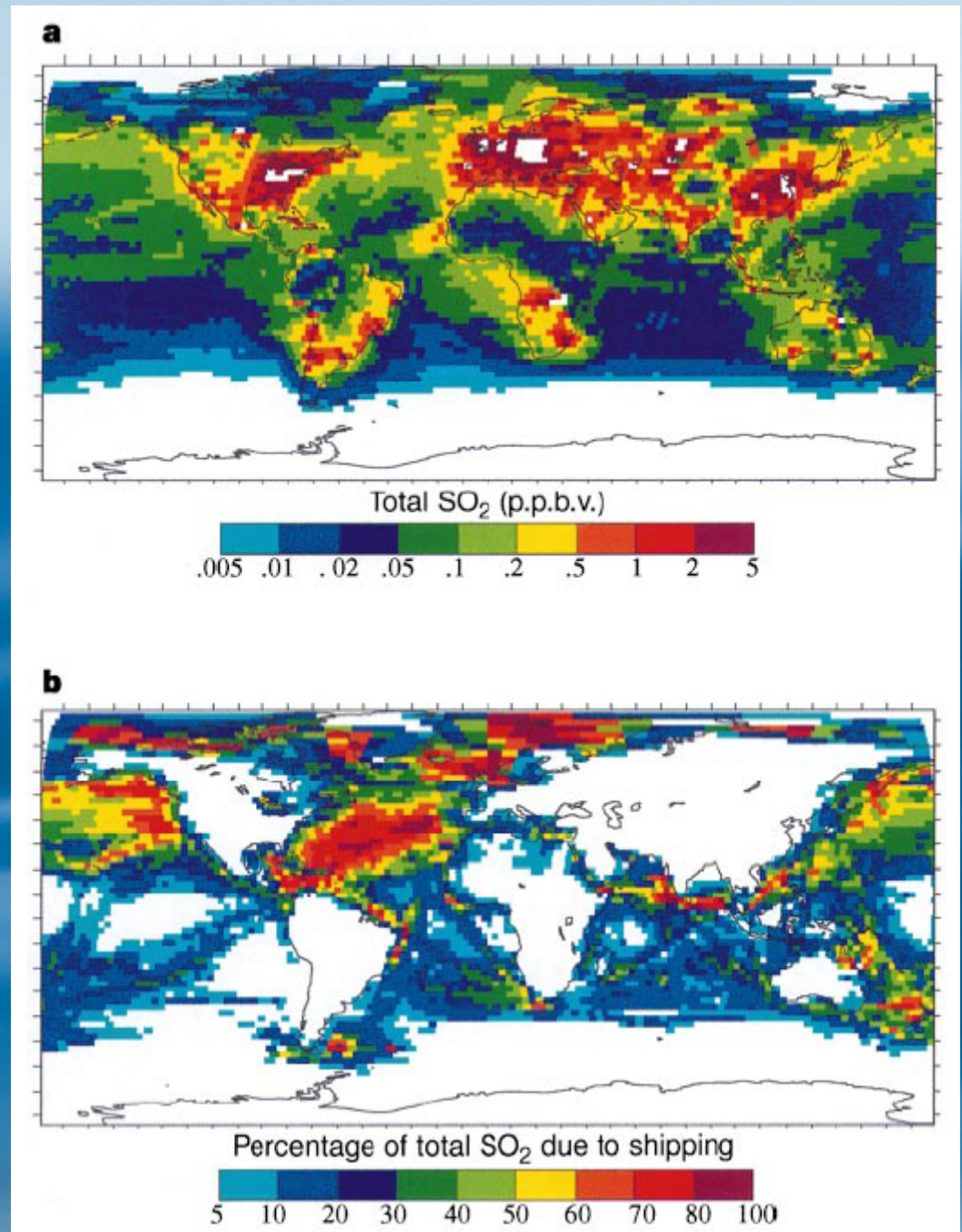


Bates, Charles i Gammon (1987) zauważyli silną korelację pomiędzy dozą oświetlenia powierzchni morza a koncentracją DMS, co mogłoby potwierdzać jeden z elementów postulowanego sprzężenia zwrotnego.

Żegluga: równie ważna jak fitoplankton?



Bilans siarki wypuszczanej ze spalinami statków morskich wykazał, że na wielu akwenach (szczególnie półkuli północnej) są to większe ilości niż siarka pochodząca z DMS. Globalne wymuszenie (chłodzące – zwiększenie pokrywy chmur) związane z ruchem statków szacuje się na -0.11 W/m^2 .



Jak dużo produkuje fitoplankton, a ile my?

Source	Global sulfur emissions ^a (TgS y ⁻¹) (Mean, range)	Contribution to emissions (%)	Contribution to sulfate burden ^b (%)
Man-made	70 (60–100)	70	37
Volcanic	7 (4–16)	7	18
Biogenic ^c	22 (15–50)	23	42 ^d

^aAfter Refs 4, 50, 51.

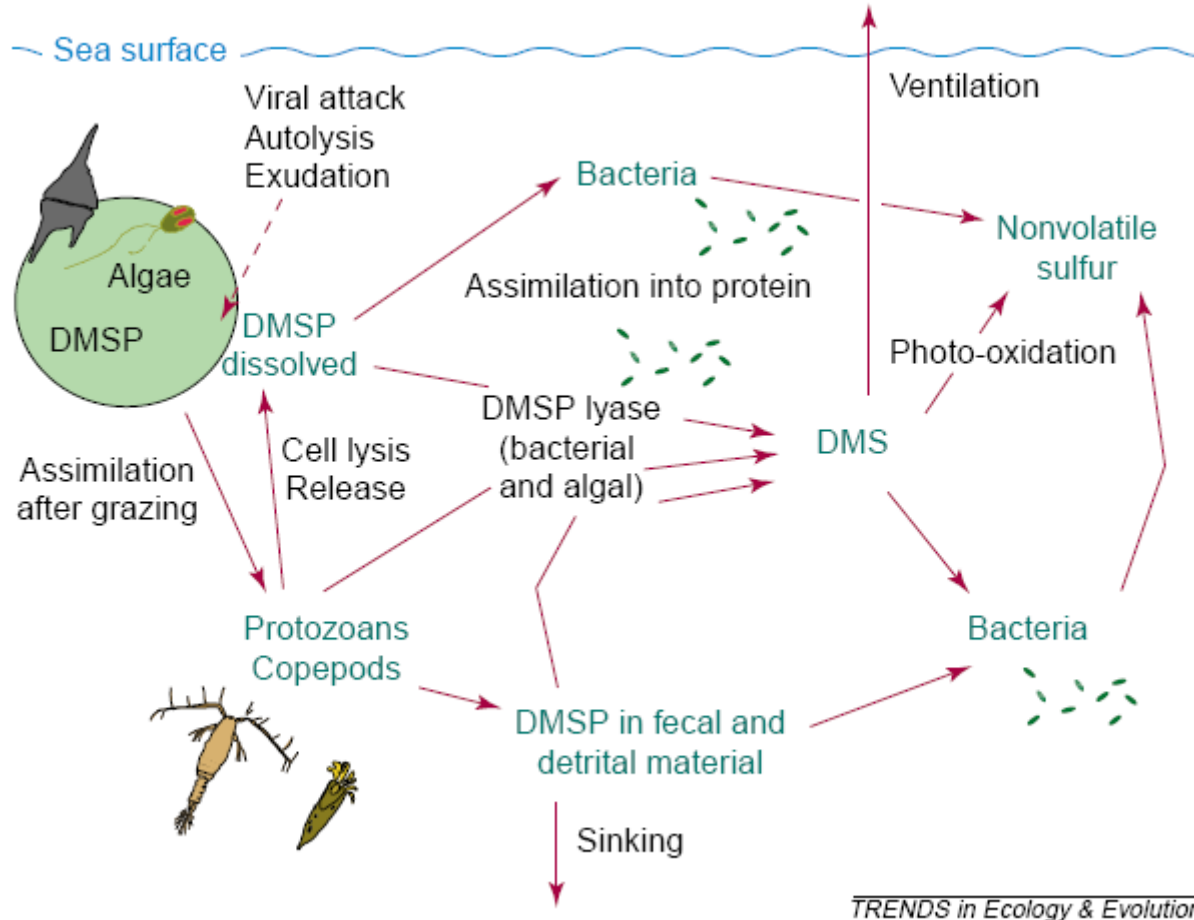
^bContribution to the integrated SO₄²⁻ content of the entire atmosphere column, after Ref. 52.

^cIncludes all terrestrial and oceanic biogenic emissions, of which >90% is oceanic DMS.

^dThe biogenic (mostly DMS) contribution to sulfate burden averages 42% but varies greatly among large regions: <10% Northern mid-latitude continents; <50–70% Extratropical oceans NH; >80% Tropics and SH. NH: Northern Hemisphere; SH: Southern Hemisphere.

Źródła biogeniczne siarki (z czego 90% to DMS) stanowią 23% emisji ale aż 42% zawartości siarki w atmosferze. Źródła antropogeniczne to 70% emisji i 37% zawartości siarki w atmosferze. Wulkany, odpowiednio 7 i 18%.

Problemy z hipotezą CLAW

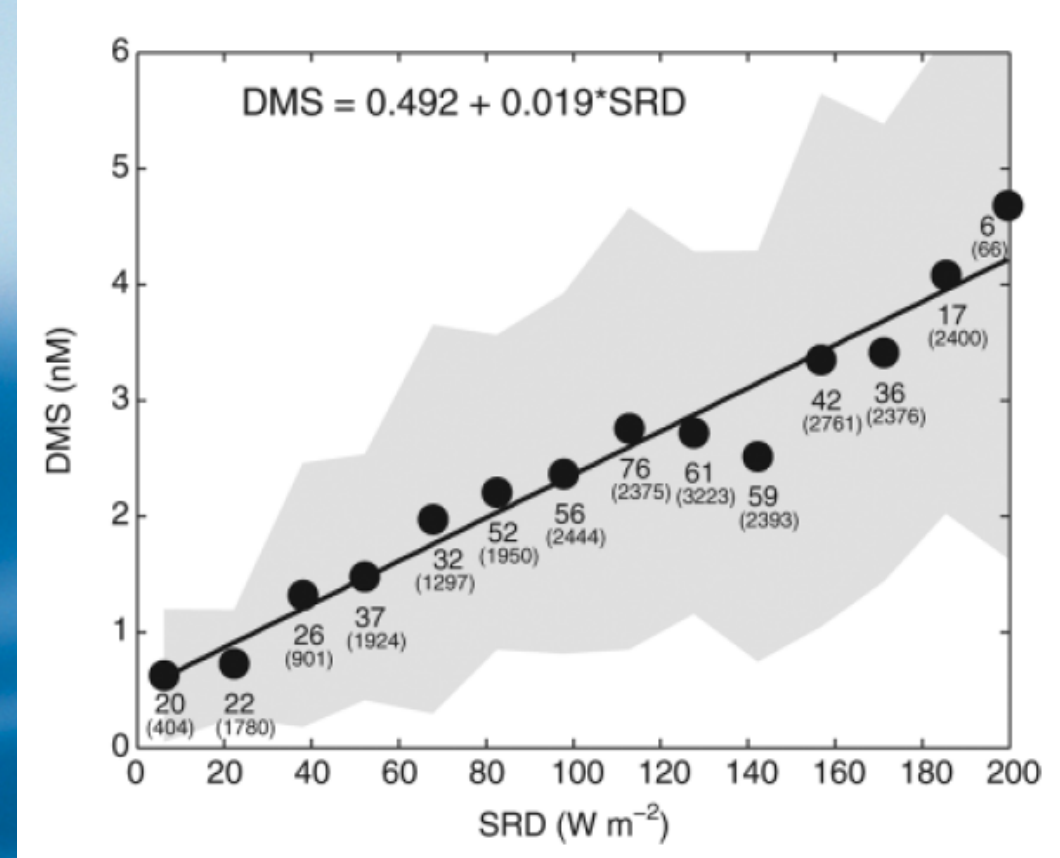
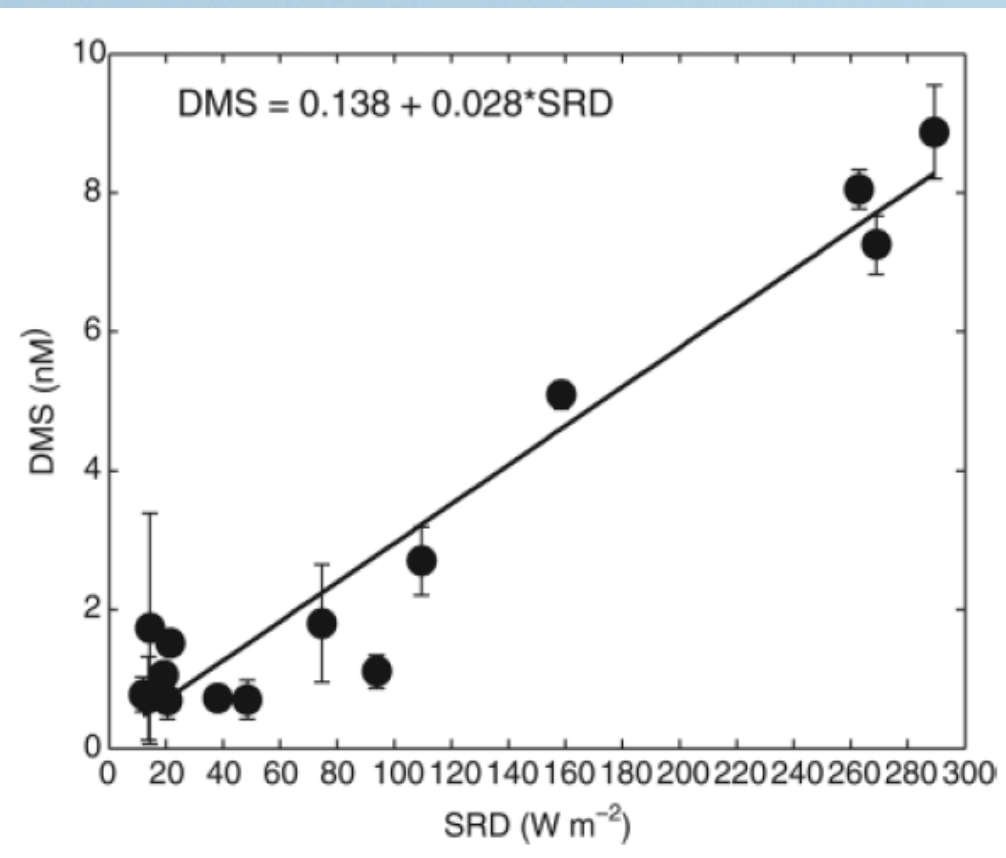


• Hipoteza CLAW nie ma sensu ewolucyjnego: nawet jeśli gatunki produkujące DMS pomagałyby sobie chłodząc morze, pomagałyby także konkurento, którzy nie wkładają energii w produkcję DMS.

• DMS, a właściwie jego prekursor DMSP - mający wieloraką rolę biologiczną, m.in. jako antyoksydant (Sunda et al. 2002) wypuszczany jest przez komórki planktonu głównie w wyniku ich śmierci.

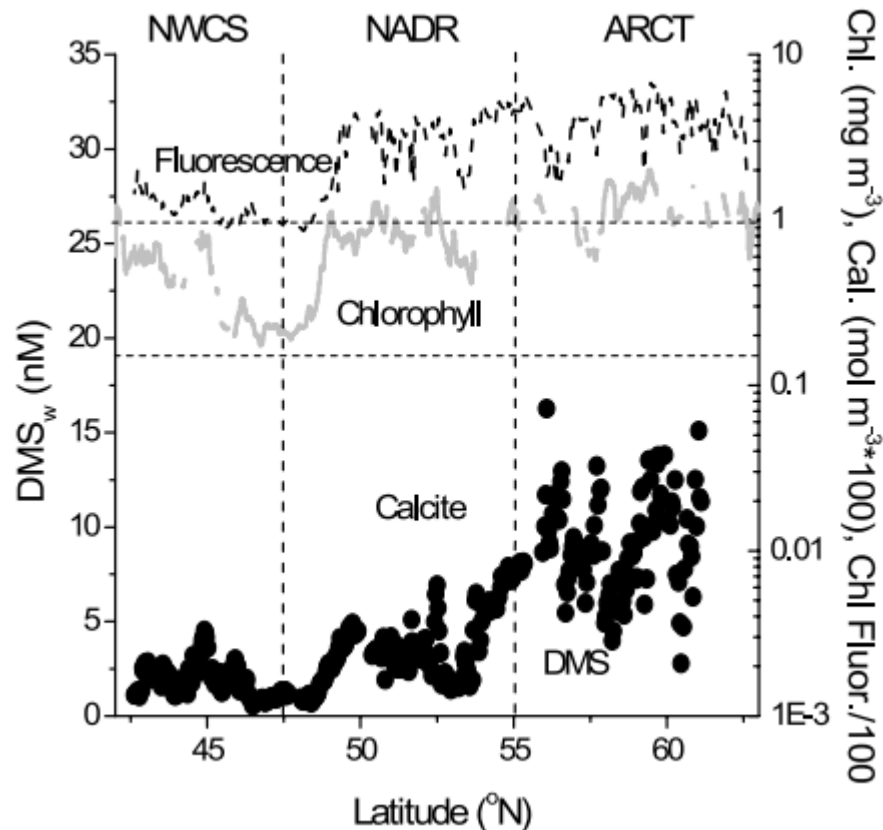
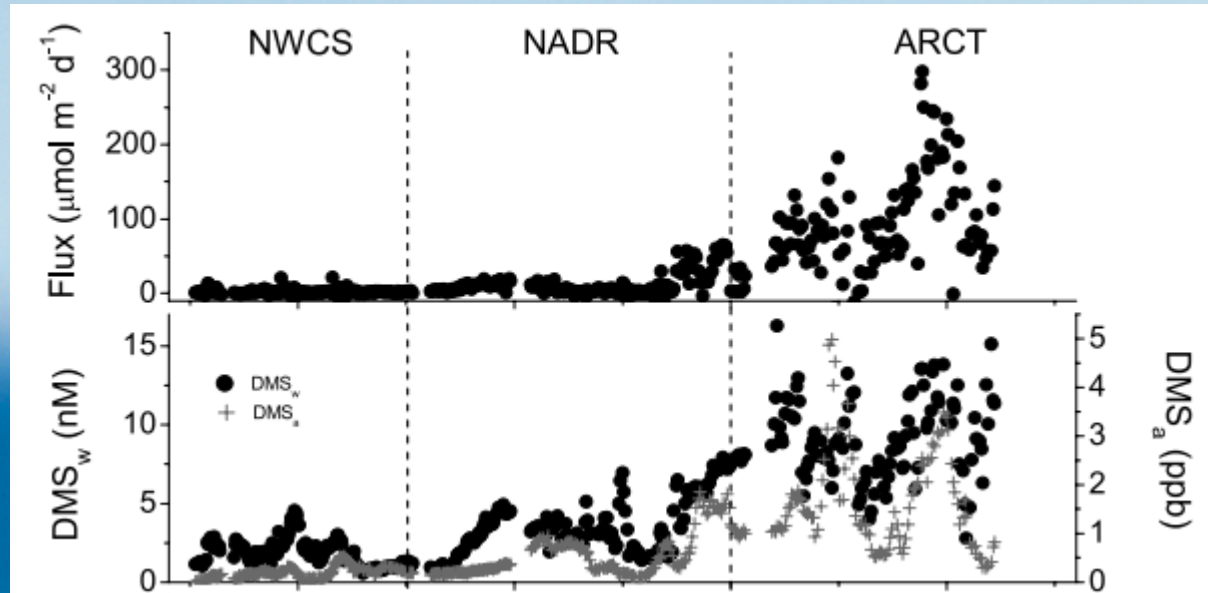
• Sam DMS jest produktem rozkładu DMSP głównie przez bakterie, które nie mają żadnego ewolucyjnego zysku z jego produkowania.

A jednak DMS silnie koreluje z oświetleniem...



Koncentracja DMS w wodach powierzchniowych koreluje bardzo silnie z dozą oświetlenia (po lewej: $r^2=0.94$ dla Morza Śródziemnego; po prawej $r^2=0.95$ dla oceanu światowego). Częściowo można to wytłumaczyć jego działaniem przeciwutleniającym w komórkach. Jednak tak wysoka korelacja przy tak skomplikowanym cyklu DMS daje do myślenia. A może jednak...

Zakwity fitoplanktonu źródłem DMS

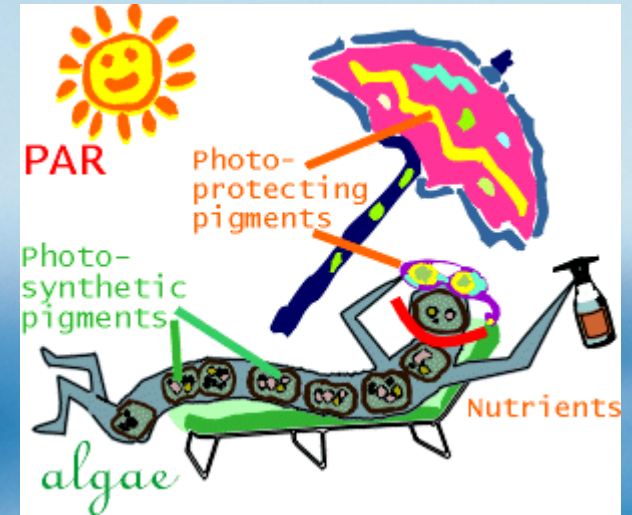


Bezpośrednie pomiary koncentracji i strumieni DMS (metodą kowariancji wirów) pokazują, że zakwit planktonu jest źródłem znacznie większego strumienia DMS niż dotychczas oceniano.

Na wykresie wartości fluorescencji, koncentracji chlorofilu oraz koncentracji DMS na długim przekroju przez Północny Atlantyk. Uwaga: na wykresie po lewej ewidentnie brakuje obiecanych węglanów (calcite). *Marandino et al. 2008 (GRL)*

Podsumowanie 3/3

- Ponad 40% siarki w atmosferze, (chłodzącej Ziemię przez rozpraszanie promieniowania słonecznego oraz zwiększanie albedo i powierzchni chmur) jest pochodzenia biologicznego, głównie siarczek dimetylowy (DMS) pochodzenia morskiego.
- W latach 1980ch stworzono hipotezę naturalnej regulacji temperatury ziemi przez fitoplankton produkujący DMS.
- Hipoteza ta krytykowana była jako naiwna ewolucyjnie (altruizm planktonu).
- DMS nie jest nawet bezpośrednim produktem planktonu a raczej bakterii rozkładających inny związek (DMSP) wydostający się do środowiska po śmierci komórek planktonu.
- Koncentracja DMS jest jednak tak wysoce skorelowana z oświetleniem, że nie sposób tego w pełni wyjaśnić nawet fotoochronną rolą DMSP, będącego przeciwutleniaczem.



*Fitoplankton w czasie produkcji DMSP, prekursora DMS ?
(rys. Mirka Ostrowska, IOPAN)*

Positive proof of global warming.



Dziękuję za uwagę

Za tydzień (17.1.2011 r.):
Globalne ocieplenie a ocean
(zmienność antropogeniczna)

18th
Century

1900

1950

1970

1980

1990

2006

Dowód na istnienie globalnego ocieplenia?